



S.R.O. - STATICKÁ KANCELÁŘ

STATICKÝ VÝPOČET

Dokumentace pro stavební povolení

Stavba:

SPORTOVNÍ HALA U ZÁKLADNÍ ŠKOLY ČERNOŠICE – DOLNÍ MOKROPSY

Investor:	Město Černošice Riegrova 1209 252 28 Černošice
Objednatel:	Grido, architektura a design, s.r.o. Vlkova 17 130 00 Praha 3
Zpracovatel:	RECOC s.r.o. Seydlerova 2451/8 158 00 Praha 13
Autoři:	Ing. Karel Košek Ing. Milan Klášterka Ing. Petr Nosek

1 Obsah

1	Obsah	2
2	Soubor použitých norem a literatury:	3
2.1	Řada norem ČSN.....	3
2.2	Zákony a vyhlášky	3
3	Použité podklady a literatura.....	4
4	Použité programy.....	4
5	Zatížení	4
5.1	Stálá zatížení	4
5.2	Nahodilá zatížení	4
6	Spodní stavba.....	4
6.1	Základové konstrukce	4
7	Konstrukční řešení	5
7.1	Funkce a tvar budovy	5
7.2	Nosná konstrukce	5
8	FEM výpočet.....	6
8.1	RENEX	6
8.1.1	Charakteristika programu	6
8.1.2	Použité prvky	7
8.1.3	Použití programu.....	7
8.1.4	Dělení na konečné prvky.....	7
8.1.5	Souřadnicové systémy	8
8.1.6	Interakce s podložím	8
8.1.7	Zatížení a jejich kombinace.....	8
8.1.8	Nelineární výpočty.....	9
8.1.9	Dynamické výpočty	9
8.2	2D Atena.....	9
8.2.1	Charakteristika programu	9
8.2.2	Použití programu.....	10
8.3	FINE – geotechnické programy GEO5.....	10
8.3.1	Charakteristika programu	10
8.3.2	Použití programu.....	10
9	Zatěžovací stavy a jejich kombinace.....	10
9.1	Kombinace podle metodiky EN 1990	10
10	Materiálové charakteristiky.....	12
10.1	Betony podle ČSN EN 1992-1-1	12
10.2	Měkká výztuž podle ČSN EN 1992-1-1	12
10.3	Konstrukční oceli podle ČSN EN 1993-1-1:2006 dle EN 10025-2; Třída oceli podle ČSN EN 10027	13
10.4	Rostlé dřevo dle ČSN EN 1995-1-1	13
11	Závěr.....	13
12	Přílohy.....	13

2 Soubor použitých norem a literatury:

2.1 Řada norem ČSN

ČSN ISO 13822:2005 Zásady navrhování konstrukcí – Hodnocení existujících konstrukcí.

ČSN EN 1990 Zásady navrhování konstrukcí

ČSN 73 0031 Spolehlivost stavebních konstrukcí a základových púd. Základní ustanovení pro výpočet

ČSN ISO 2394 Obecné zásady spolehlivosti konstrukcí.

ČSN 73 0035 Zatížení stavebních konstrukcí, změna a, 2.

ČSN EN 1991-1 Zásady navrhování a zatížení konstrukcí. Část 1: Zásady navrhování.
[Změna 1.](#)

ČSN EN 1991-1-1 Zatížení konstrukcí. Část 1-2: Obecná zatížení - Objemové tíhy, vlastní tíha a užitná zatížení pozemních staveb.

ČSN EN 1991-1-3 Zatížení konstrukcí. Část 1-3: Obecná zatížení - Zatížení sněhem.

ČSN EN 1991-2-1 Zásady navrhování a zatížení konstrukcí. Část 2-1: Zatížení konstrukcí. Objemová tíhy, vlastní tíha a užitná zatížení.

ČSN EN 1991-2-3 Zásady navrhování a zatížení konstrukcí. Část 2-3: Zatížení konstrukcí. Zatížení sněhem.

ČSN EN 1991-2-4 Zásady navrhování a zatížení konstrukcí. Část 2-4: Zatížení konstrukcí. Zatížení větrem.

ČSN EN 1991-2-5 Zásady navrhování a zatížení konstrukcí. Část 2-5: Zatížení konstrukcí. Zatížení během provádění.

ČSN 73 0037 Zemní a horninový tlak na stavební konstrukce

ČSN ISO 13822 Zásady navrhování konstrukcí – Hodnocení existujících konstrukcí

ČSN 73 1000 Zakládání stavebních objektů.

ČSN EN 1997-1 Navrhování geotechnických konstrukcí. Část 1: Obecná pravidla

ČSN 73 1001 Základová půda pod plošnými základy

ČSN 73 1201:1986 Navrhování betonových konstrukcí, [změna a, 2](#)

ČSN 73 1201:2005 Navrhování betonových konstrukcí

ČSN EN 1992-1-1 Navrhování betonových konstrukcí. Část 1-1: Obecná pravidla a pravidla pro pozemní stavby

ČSN EN 1992-3 Navrhování betonových konstrukcí - Část 3: Betonové základy

ČSN EN 13670 Provádění betonových konstrukcí

ČSN EN 206-1 Beton – Část 1: Specifikace, vlastnosti, výroba a shoda [změna Z3](#)
73 2408

ČSN 73 1401 Navrhování ocelových konstrukcí, [změna Z1, Z2](#)

ČSN EN 1993-1-1 Navrhování ocelových konstrukcí. Část 1-1: Obecná pravidla a pravidla pro pozemní stavby, [změna A1, A2, Z1](#)

ČSN EN 1995-1-1 Navrhování dřevěných konstrukcí. Část 1-1: Obecná pravidla a pravidla pro pozemní stavby

ČSN EN 338 Konstrukční dřevo. Třídy pevnosti

2.2 Zákony a vyhlášky

Zákon č. 183/2006 Sb O územním plánování a stavebním řádu v platném znění

3 Použité podklady a literatura

- [1] Architektonicko-stavební řešení - Grido, architektura a design, s.r.o. 03/2014
- [2] Podrobný inženýrsko-geologický průzkum – RNDr V. Sýkora, 02/2004
- [3] FEM, principy a praxe metody konečných prvků, Kolář, V., Němec, I., Kanický, V. a navazující manuály k programům NEXX.
- [4] Programy FINE – uživatelské manuály
- [5] Manuál k programu RENEX3D, RECOC s.r.o., 2006-2010
- [6] Manuál k programu SCIA ENGINEER, Nemetschek Scia s.r.o., 2013

4 Použité programy

Programy RENEX - © FEM consulting Brno s.r.o., RECOC s.r.o.,
Preprocesory a postprocesory RECOC-BETON - © RECOC s.r.o.,
FIN - © FINE s.r.o.
Tabulkové procesory Excel, © RECOC s.r.o.
SCIA ENGINEER, Nemetschek Scia s.r.o., 2013

5 Zatížení

5.1 Stálá zatížení

Vlastní tíha konstrukcí
Násyp zeminy – proměnná hodnota od 9,0 do 99,0 kN/m²
Skladby podlahy – 5,0 kN/m²
Skladba střešního pláště – 0,4 kN/m²
Podhledy - 0,5 kN/m²

5.2 Nahodilá zatížení

Sníh	0,7 kN/m ²
Užitné zatížení - chodník	5,0 kN/m ²
Užitné zatížení - tělocvična	5,0 kN/m ²
Užitné zatížení – balkónových konstrukcí	5,0 -7,5 kN/m ²

6 Spodní stavba

6.1 Základové konstrukce

Založení je v souladu s doporučeními Podrobného inženýrskogeologického průzkumu navrženo jako plošné. Základová půda je prakticky v celém rozsahu stavby tvořena pevnými, místy až tvrdými jemně písčitými jíly třídy F4 CS. Lokálně se mohou objevit i pevné jemně zrnité jílovité písky. Základové půdy jsou velmi citlivé na povětrnostní vlivy. Je tedy nutné strojní těžení ukončit cca 200 mm nad uvažovanou základovou spárou

a dotěžení provést drobnou technikou s hladkou lžící bez zubů. Ihned poté je nutno položit vrstvu podkladních betonů. Vytěžená zemina bude použita pro zpětné zásypy, nikde nebudou použity štěrkopískové podsypy ani drenážní systémy.

Vlastní základovou konstrukci tvoří prostorově tuhé krabice obou skladových a technologických přístavků a spodní část úhlové zdi v podélné části sportovní haly. Ta má šířku 3 m a tloušťku 0,5 m, základová deska a obvodové stěny podzemních prostor mají tloušťku 300 mm. Vnitřní žebra tvořená betonovými stěnami tloušťku 200 mm. Podélná svislá část úhlové stěny má tloušťku v patě odstupňovanou od 300 do 400 mm, v horní části 200 mm. Změna tloušťky stěny koresponduje s výškou zpětného zásypu. Strop krabic má tloušťku 200 mm. Podobně konstrukce dokončující současný koridor. Schodišťová ramena tl. 200 mm desky také tloušťky 200 mm.

Nosná část podlahy sportovní haly bude z monolitického betonu tloušťky 150 mm vyztužených rozptýlenou výztuží (drátkobeton). Hutnění pláně a nařezání horního líce desky bude řešeno v dalších stupních PD.

Samostatným objektem je opěrná stěna vedoucí k jižní fasádě podél chodníku. Opěrná stěna tvaru L dosahuje maximální výšky 5 metrů, základnu ji tvoří deska tloušťky 300 mm o šířce 1400 mm v nižší části a 2600 mm v části vyšší. Opěrka bude z betonu C30/37.

7 Konstruktivní řešení

7.1 Funkce a tvar budovy

Sportovní hala zaujímá obdélníkový půdorys o rozměrech cca 22,5 x 50 m. Jednou podélnou stěnou přiléhá prakticky v celé délce ke koridoru mezi budovou školy a novou sportovní halou. Tento koridor je z konstrukčního hlediska hotový v délce 34 m.

Na obou krátkých stranách na prostor sportovní haly navazují skladové a technologické prostory, které jsou zasypány zeminou. Podélná stěna proti škole funguje, vzhledem k plánovanému dosypání, jako úhlová opěrná zeď. Zemina dosahuje v nejvyšším místě výšky 4,8 m nad úroveň podlahy sportovní haly.

7.2 Nosná konstrukce

Vlastní základovou konstrukci tvoří prostorově tuhé krabice obou skladových a technologických přístavků a spodní část úhlové zdi v podélné části sportovní haly. Základové desky budou tloušťky 300 a 500 mm.

Nosnou konstrukci objektu tvoří železobetonový kombinovaný konstrukční systém. Svislé konstrukce v podobě stěn a sloupů přenášejí zatížení z vodorovných konstrukcí, které jsou tvořeny železobetonovými obousměrně pnutými stropními deskami. Střešní konstrukci tvoří dřevěné sbíjené vazníky v osově vzdálenosti 1150 mm. Jako opláštění bude použit trapézový plech doplněný tepelnou izolací.

Zastropení sportovní haly je navrženo pomocí dřevěných příhradových vazníků na rozpětí 22 m, jejich výška ve vrcholu je 3 m, v uložení 1 m. Osová rozteč vazníků je 1,2 m. Střešní skladba je tvořena trapézovým plechem T20/130 tl. 0,50 mm, tepelnou a vodotěsnou izolací. Vazníky jsou uloženy na straně vzdálené od školy na zhlaví obvodové stěny, na straně u školy na průvlak podpíraný již zhotovenými sloupy. Vazníky v místě předělujících závěsů budou zesíleny nebo zdvojeny.

Fasádní konstrukce osazené na severní a jižní straně objektu nesoucí stínící prvky je navržena jako ocelová prostorová příhradová konstrukce složená ze dvou vazníků navzájem propojených. Tyto konstrukce jsou zakotveny do betonové konstrukce.

Fasádní ocelová konstrukce u osy „B“ (část A) je sestavena ze dvou hlavních vazníků. Vazník v interiérové části je označen „vazník 01“. Horní i dolní pás vazníku se tvoří kruhovou trubkou 178/8,0 mm. Diagonály a stojky jsou tvořeny kruhovou trubkou 127/4,0mm. Styčníky na hlavním vazníku jsou vzdáleny osově vždy po 2772 mm. Vazník je podporovaný třemi interiérovými sloupy o průřezu z kruhové trubky 245/16,0mm. Sloupy jsou po osové vzdálenosti 5,46 m. Vnější vazník na venkovní straně má horní i dolní pás vazníku se tvořen kruhovou trubkou 178/8,0 mm. Diagonály a stojky jsou tvořeny čtvercovou trubkou (jäckel) 120/120/6,0mm. Styčníky na vazníku jsou vzdáleny osově vždy po 2772 mm. Dolní část venkovního vazníku je doplněna o vodorovnou trubku (jäckel) 120/120/6,0 mm na výškové kótě +2,770m spojenou s horním vazníkem jáckely 120/120/6,0mm. Dolní jáckel na kótě +2,770m je ztužen diagonálním jáckelem 120/120/6,0mm, který je v rovině kolmé na rovinu hlavního vazníku. Vnitřní a vnější vazník jsou dále spojeny ortogonálními trubky 120/120/6,0mm.

Fasádní ocelová konstrukce u osy „I“ (část B) je sestavena ze dvou hlavních vazníků. Vazník v interiérové části je označen „vazník 01“. Horní i dolní pás vazníku se tvoří kruhovou trubkou 178/8,0 mm. Diagonály a stojky jsou tvořeny kruhovou trubkou 127/4,0mm. Styčníky na hlavním vazníku jsou vzdáleny osově vždy po 2772 mm. Vazník je podporovaný třemi interiérovými sloupy o průřezu z kruhové trubky 245/16,0mm. Sloupy jsou po osové vzdálenosti 5,46 m. Vnější vazník na venkovní straně má horní i dolní pás vazníku se tvořen kruhovou trubkou 120/120/6,0mm. Diagonály a stojky jsou tvořeny čtvercovou trubkou (jäckel) 120/120/6,0mm. Styčníky na vazníku jsou vzdáleny osově vždy po 2772 mm. Dolní část venkovního vazníku je doplněna o vodorovnou trubku (jäckel) 120/120/6,0 mm na výškové kótě +3,750m spojenou s horním vazníkem jáckely 120/120/6,0mm. Vnitřní a vnější vazník jsou dále spojeny ortogonálními trubky 120/120/6,0mm.

Vazníky jsou na betonovou konstrukci uloženy kloubově. Z důvodu montáže budou vnitřní a vnější vazník v části A spojeny na stavbě pro jednodušší přepravu i montáž.

Konstrukce je navržena z oceli S355 J0. Protikorozní ošetření je uvažováno pozinkováním.

8 FEM výpočet

8.1 RENEX

8.1.1 Charakteristika programu

Konstrukce jako celek, její dílčí části nebo části dané postupem výstavby jsou řešeny metodou konečných prvků, konkrétně programem RENEX3D. Program RENEX3D používá řešiče a matematický aparát vyvinutý Prof. Dr. Ing. Vladimírem Kolářem DrSc., doc. Ing. Ivanem Němcem CSc. a řadou dalších statiků a matematiků v Dopravoprojektu Brno jako programy řady NEXX. Jeho vývoj v současné době pokračuje ve firmě FEM Consulting Brno. Řešiče jsou použity i v programech řady NEXIS, ESA a Dlubal Software. Vyznačují se značnou robustností a obrovskou numerickou stabilitou. Obstojí i ve srovnání s programy jako je ANSYS, DIANA a MARC, v lecčem je dokonce předčí. Metoda konečných prvků umožňuje řešení velkých a složitých konstrukcí s prakticky libovolnými okrajovými podmínkami mj. svoji stabilitou a robustností použitých řešičů. Model používá konečné prvky v deformační variantě. Obecně lze říci že MKP je zobecněná Ritz-Galerkinova variační

metoda, užívající báзовých funkcí s malým kompaktním nosičem, úzce spjatým se zvoleným rozdělením řešené oblasti na konečné prvky.

Ve výpočtu jsou použity plošné 2D prvky, které v sobě zahrnují membránový a ohybový stav namáhání. Použitý model umožňuje libovolnou kombinaci popsaných 2D prvků s prvky jednorozměrnými, ale i prostorovými. Jednorozměrné, tedy prutové prvky, mohou být připojovány excentricky k střednicové rovině plošného prvku. Dále jdou použity i prvky prostorové, tzv. bricky.

8.1.2 Použité prvky

Pro systém NEXX byl nejprve vyvinut vlastní trojúhelníkový prvek s maticí tuhosti řádu 27, mající v každém vrcholu všech 6 stupňů volnosti bodu Cosseratova 2D kontinua a ve středech stran po třech stupních volnosti. Průběhy rotací jsou podél stran linearizovány. K tomuto prvku byl vyvinut plně kompatibilní 1D prvek s maticí tuhosti řádu 15, což je přirozený důsledek 6 parametrů na obou koncích a 3 parametrů ve středu prvku. Lze je klasifikovat jako statické řešení Cosseratovského modelu plošné a prutové konstrukce. V dalším vývoji byly trojúhelníkové 2D prvky nahrazeny praktičtějšími čtyřúhelníkovými při zachování šíře báзовých funkcí. V určitých oblastech (určité okrajové podmínky, zahušťování sítě) jsou používány oba typy prvků. Systém NEXX pracuje s deformační variantou MKP a využívá výhradně kompatibilní elementy. Pro ohyb plošných i prutových prvků je možno použít jak Kirchhoffovu tak Mindlinovu teorii. Prvky byly v poslední době doplněny o analogický prostorový prvek – brick, který je s popsanými 1D a 2D prvky plně kompatibilní.

Z hlediska fyzikálních vlastností materiálů modelovaných prvků jsou úlohy řešeny jako finitní, pomocí členů matice fyzikálních konstant lze vystihnout vazby mezi napětími a deformacemi (ortotropie apod).

Pokud se týče matematického aparátu, odkazujeme zájemce na [3].

8.1.3 Použití programu

Program RENEX3D je použit pro veškeré lineární i nelineární (fyzikálně i geometricky) výpočty, dále pak pro dimenzování potřebných ploch výztuže pro 2D prvky, výpočet šířky trhliny atd. V případě použití předpínací výztuže jsou doplňkové (staticky neurčené) síly, které předpjetí na konstrukci vyvoluje, přenášeny přímo z grafických programů jako samostatné zatěžovací stavy. Byl implementován samostatný prutový prvek s excentrickým připojením, který pomocí poměrného přetvoření umožňuje řešit přesně spolupůsobení betonové konstrukce s přepínací výztuží. V případě nelineárního výpočtu i včetně ztrát přetvořením konstrukce, dotvarováním atd.

Kromě výpočtů lineárních umožňuje i lineárně a fyzikálně nelineární analýzu, dynamické a stabilitní výpočty. Do systému byl implementován modul vyvinutý v RECOC, který umožňuje řešení železobetonových skořepin s uvažováním fyzikálně nelineárního chování betonového průřezu včetně vlivu dotvarování. Dále byly implementovány prvky pro výpočet sendvičových konstrukcí včetně vzdušného bricku (modelování dvojskel apod.) a prvky pro modelování cihelného zdiva.

8.1.4 Dělení na konečné prvky

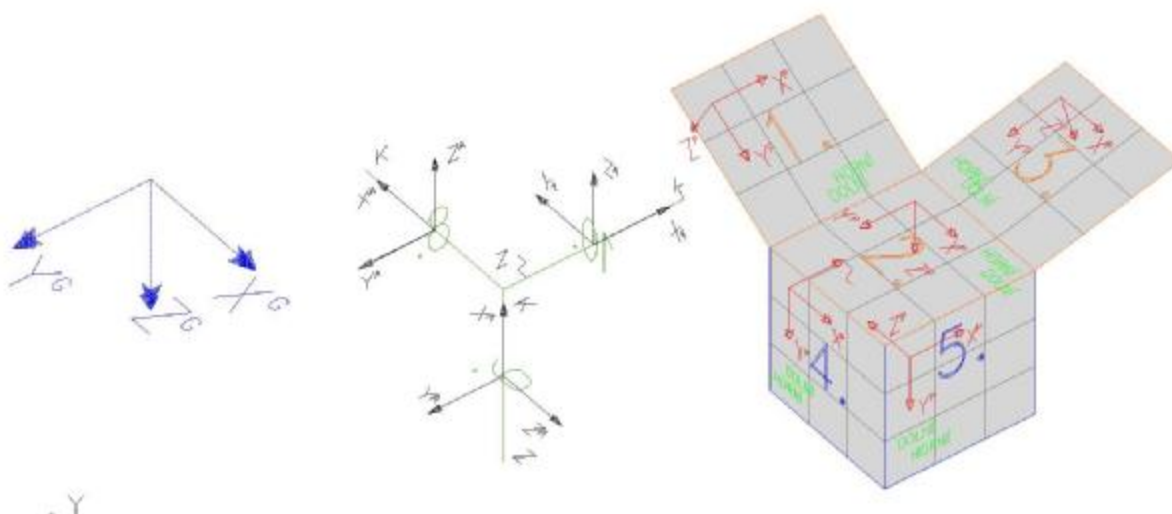
Dělení na konečné prvky se provádí automaticky generátorem. Ve výpočtech celků konstrukcí nebo jejich částí daných postupem výpočtu je základní velikost prvku jeden metr. V místech anomálií konstrukce program automaticky prvky přizpůsobuje geometrii, v místech předpokládaných lokálních zvýšení namáhání konstrukce jsou prvky zahuštěny.

Ve výpočtech subkonstrukcí a zejména konstrukcí dimenzovaných nebo řešených s ohledem na mezní stavy použitelnosti, odpovídá velikost dělení jedno až dvojnásobku tloušťky dotčených prvků. Stropní desky jsou dimenzovány na patrovém výseku. Vertikální nosné konstrukce pod i nad deskou jsou redukovány na polovinu jejich výšky a opatřeny na

koncích kloubovými podporami. Jedná se pochopitelně o určité zjednodušení, ale ve většině praktických příkladů vnáší do výpočtu minimální chybu. Konstrukce, u nichž toto zjednodušení nelze použít, jsou řešeny na celkovém modelu s patřičně zjemnělou sítí konečných prvků. U patrových výseků jsou sloupy modelovány buďto pomocí bricků nebo je do desky vložen deskový prvek půdorysných rozměrů rovných průřezu sloupu s výrazně zvýšenou tuhostí, tak aby byla potlačena teoretická konvergence vnitřních sil k nekonečnu v lomových bodech. Tyto makroprvky neprobíhají procesem dimenzování.

Pro odladění hustoty dělení byla firmou RECOC provedena celá řada kontrolních výpočtů.

8.1.5 Souřadnicové systémy



Konstrukce je modelována v globálním souřadnicovém systému – X^G , Y^G , Z^G , na obrázku vlevo. Pro každý prutový prvek je zaveden axiální systém – X^A , Y^A , Z^A , na obrázku uprostřed. Plošné prvky mají souřadnicový systém planární – X^P , Y^P , Z^P , na obrázku vpravo. Definice a konvence jsou patrné z obrázku.

8.1.6 Interakce s podloží

Pro interakci se základovou půdou používá RENEX3D dvouparametrické Pasternakovo podloží. Hodnoty c_1 a c_2 jsou generovány pomocí tabulkového procesoru Excel v souladu s postupy použitými v programu SOILIN. Bližší informace viz [3], případně manuál programu SOILIN. Pilotové základy jsou modelovány pomocí pérových konstant, daných výpočtem piloty s ohledem na její sedání. V některých případech jsou modelovány kloubovými podporami. Piloty, stejně jako další geotechnické konstrukce jsou řešeny programy FINE.

8.1.7 Zatížení a jejich kombinace

Zatížení je buďto generováno automaticky – vlastní tíha konstrukce - (v provozních hodnotách) nebo zadáváno (v provozních nebo extrémních hodnotách). Hodnoty stálých zatížení jsou počítány v tabulkovém procesoru Excel, užitná nepodkrajují příslušné normové hodnoty, jejich skutečná hodnota se řídí požadavky klienta a technologů. Zatížení je možné zadávat silové plošné konstantní velikosti nebo s lineárním nárůstem, liniové a bodové silové nebo momentové a zatížení poměrnými přetvořeními.

V patrových výsecích jsou z celoplošného užitného zatížení automaticky generovány dva systémy šachovnicového zatížení a čtyři systémy zatížení v pružích.

Kombinace (obalové plochy zatěžovacích stavů) vystihují nejneprůzračnější kombinace jednotlivých zatěžovacích stavů na konstrukci nebo její části podle účelu příslušného výpočtu.

Dimenzovací programy pracují obecně s obalovou plochou kombinací.

Program umožňuje automatické generování kombinací zatěžovacích stavů definovaných symbolickými rovnicemi v EC.

Bližší viz samostatná kapitola Zatěžovací stavy a jejich kombinace.

8.1.8 Nelineární výpočty

Systém umožňuje celou řadu nelineárních výpočtů. Je to zejména interakce vrchní stavby s podložím, který doiterovává parametry zeminy v závislosti na geologických poměrech a kontaktním napětí v základové spáře včetně vyloučení tahu v ní.

Dále jsou to fyzikálně nelineární výpočty železobetonových skořepin s uvažováním pracovních diagramů betonu i oceli a s uvažováním vlivu rozvoje a šířky trhlin (tento modul byl vyvinut a odladěn v RECOC s.r.o. ve spolupráci s FEM Consulting s.r.o. a Dlubal Software GmbH.). Systém pracuje s tzv. rozmazanými trhlami, předikuje tedy jen možnost vzniku trhliny, její případnou šířku a hloubku a výpočtovou vzdálenost. Šířka trhliny je počítána nejen podle ČSN EN 1992-1-1, ale i podle řady dalších metodik. Tímto výpočtem je možné zjistit i namáhání betonu v průřezu, napětí v tažené i tlačené výztuži atd. Do modulu je implementováno i dotvarování, opět primárně podle ČSN EN 1992-1-1, ale i podle modelu B3 Prof. Z.P.Bažanta a jeho spolupracovníků.

Zdivo jako nosný materiál je také možno řešit nelineárně, a to stanovením různých tuhostí materiálu ve směrech ortotropie. Dále je možno řešit pruty s vyloučeným tahem či tlakem a vzdušné brčky.

Konstrukce mohou být řešeny v deformovaném tvaru – tedy geometricky nelineárně.

Nelineární výpočty používají několik výpočtových metod, jejich popis přesahuje rámec zprávy. Jsou možné prakticky libovolné kombinace různých druhů nelinearit.

8.1.9 Dynamické výpočty

Dynamické výpočty jsou v software RENEX3D založeny na metodě rozvoje do vlastních tvarů (tzv. modální analýza). Základní úlohou je tedy řešení vlastního kmitání. Výpočtem se určují vlastní frekvence a vlastní tvary kmitání.

Výpočet vlastních tvarů konstrukce byl proveden pro 20 frekvencí, což se u tohoto typu konstrukce považuje za dostačující.

Při výpočtu vlastního kmitání se řeší soustava rovnic ve tvaru

$$\mathbf{M} \cdot \ddot{\mathbf{r}} + \mathbf{K} \cdot \mathbf{r} = \mathbf{0}$$

kde \mathbf{r} je vektor posunů a pootočení uzlů ($\ddot{\mathbf{r}}$ je vektor jejich zrychlení), \mathbf{K} je matice tuhosti sestavená již při statickém výpočtu a \mathbf{M} je matice hmotnosti, sestavená při výpočtu vlastního kmitání. Řešení rovnice vlastního kmitání se provádí metodou iterace podprostoru.

8.2 2D Atena

8.2.1 Charakteristika programu

Program 2D Atena byl vyvinut Ing. Vladimírem Červenkou CSc. a spol. a je určen k fyzikálně nelineární analýze betonových konstrukcí. Program respektuje nelineární pracovní diagramy materiálů. Program používá vlastní prvky vyvinuté autorem, řadu standardních pracovních diagramů betonu a oceli a podmínku porušení podle CEB FIB MC 90. Pracuje pomocí iterací (Newton-Raphsonova procedura), přičemž při vzniku trhliny

generuje novou síť konečných prvků, která trhlinu respektuje. Bližší informace viz **Chyba! Nenalezen zdroj odkazů..**

8.2.2 Použití programu

Tímto programem jsou řešeny konstrukční díly, jejichž chování, zatížení nebo geometrie se vymykají běžným konstrukcím a nebo je nutno znát podrobnější prognózu jejich chování.

8.3 FINE – geotechnické programy GEO5

8.3.1 Charakteristika programu

Programový systém GEO5 je soubor programů určených k řešení základních geotechnických úloh. Řada programů řeší problémy analyticky, část metodou konečných prvků.

Všechny programy GEO5 umožňují posuzovat konstrukci jak podle teorie mezních stavů, tak podle stupně bezpečnosti. Všechny koeficienty redukce vstupních dat, výpočtové součinitele apod. má uživatel možnost volit, takže v rámci jednoho modulu lze počítat jak podle [Eurokódů](#) (ČSN EN 1997). Dimenzování betonových konstrukcí je prováděno podle norem EC2 (ČSN EN 1992).

Lze počítat obecně vrstevnaté prostředí s použitím zabudované databáze charakteristik zemin. Modelovat lze libovolné zatížení včetně účinků spodní vody.

8.3.2 Použití programu

Systém programů GEO5 je používán pro řešení geotechnických úloh.

9 Zatěžovací stavy a jejich kombinace

9.1 Kombinace podle metodiky EN 1990

Kombinace pro ověřování mezních stavů únosnosti v trvalých a dočasných návrhových situacích dle NA ČSN EN 1990 čl. 2.4 a 2.5:

Pozn.:

Složené závorky „{}“ představují výběrovou množinu, z níž je do kombinace vybírán vždy nejvíce nepříznivý účinek požadované veličiny.

- a) EQU – ztráta statické rovnováhy konstrukce - tab. A1.2(A)(CZ)

$$1,1G_{k,j,\text{sup}} + \{1,5Q_{k,1}; 0\} + \{1,5y_{0,i}Q_{k,i}; 0\}$$

(výraz 6.10)

$$0,9G_{k,j,\text{inf}} + \{1,5Q_{k,1}; 0\} + \{1,5y_{0,i}Q_{k,i}; 0\}$$

- b) STR – porucha, o níž rozhoduje pevnost konstrukčního materiálu - tab. A1.2(B)(CZ)
-1 (bez geotechnických zatížení)

$$1,35G_{k,j,\text{sup}} + \{1,5y_{0,1}Q_{k,1};0\} + \{1,5y_{0,i}Q_{k,i};0\} \quad (\text{výraz 6.10a})$$

$$1,00G_{k,j,\text{inf}} + \{1,5y_{0,1}Q_{k,1};0\} + \{1,5y_{0,i}Q_{k,i};0\}$$

$$1,15G_{k,j,\text{sup}} + \{1,5Q_{k,1};0\} + \{1,5y_{0,i}Q_{k,i};0\} \quad (\text{výraz 6.10b})$$

$$1,00G_{k,j,\text{sup}} + \{1,5Q_{k,1};0\} + \{1,5y_{0,i}Q_{k,i};0\}$$

- c) GEO – porucha, o níž rozhoduje odolnost základové půdy - tab. A1.2(B)(CZ), A1.2(C)(CZ) (obsahuje geotechnická zatížení)

$$1,00G_{kj,\text{sup/inf}} + \{1,3Q_{k,1};0\} + \{1,3y_{0,i}Q_{k,i};0\} \quad (\text{výraz 6.10})$$

$$1,35G_{k,j,\text{sup}} + \{1,5y_{0,1}Q_{k,1};0\} + \{1,5y_{0,i}Q_{k,i};0\} \quad (\text{výraz 6.10a})$$

$$1,00G_{k,j,\text{inf}} + \{1,5y_{0,1}Q_{k,1};0\} + \{1,5y_{0,i}Q_{k,i};0\}$$

$$1,15G_{k,j,\text{sup}} + \{1,5Q_{k,1};0\} + \{1,5y_{0,i}Q_{k,i};0\} \quad (\text{výraz 6.10b})$$

$$1,00G_{k,j,\text{sup}} + \{1,5Q_{k,1};0\} + \{1,5y_{0,i}Q_{k,i};0\}$$

Kombinace pro ověřování mezních stavů únosnosti v seizmických situacích návrhových situacích dle NA ČSN EN 1990 čl. 2.6:

$$G_{k,j,\text{sup/inf}} + \{g_l A_{Ek}; A_{Ed}\} + y_{2,i} Q_{k,i} \quad (\text{výraz 6.12a/b})$$

Kombinace pro ověřování mezních stavů únosnosti v mimořádných situacích návrhových situacích dle NA ČSN EN 1990 čl. 2.6:

$$\{G_{k,j,\text{sup}}; G_{k,j,\text{inf}}\} + A_d + \{y_{1,1}; y_{2,1}\} Q_{k,1} + y_{2,i} Q_{k,i} \quad (\text{výraz 6.11a/b})$$

Kombinace pro ověřování mezních stavů použitelnosti dle ČSN EN 1990 čl. A1.4, tabulka A1.4:

- d) Charakteristická

$$\{G_{k,j,\text{sup}}; G_{k,j,\text{inf}}\} + Q_{k,1} + y_{0,i} Q_{k,i} \quad (\text{výraz 6.14})$$

- e) Častá

$$\{G_{k,j,\text{sup}}; G_{k,j,\text{inf}}\} + y_{1,1} Q_{k,1} + y_{2,i} Q_{k,i} \quad (\text{výraz 6.15})$$

- f) Kvazistálá

$$\{G_{k,j,\text{sup}}; G_{k,j,\text{inf}}\} + y_{2,1} Q_{k,1} + y_{2,i} Q_{k,i} \quad (\text{výraz 6.16})$$

Zatížení je ve smyslu ČSN EN podle proměnnosti v čase klasifikováno takto:

G – stálá zatížení, (S – geotechnická stálá, P – zatížení od předpětí (stálá))

Q – proměnná zatížení

A – mimořádná zatížení

$G_{k,j,\text{sup}}$ horní charakteristická hodnota j-tého stálého zatížení (95% kvantil)

$G_{k,j,\text{inf}}$ dolní charakteristická hodnota j-tého stálého zatížení (5% kvantil)

$Q_{k,1}$ charakteristická hodnota hlavního proměnného zatížení

$Q_{k,i}$	charakteristická hodnota i-tého proměnného zatížení
y_0	součinitel pro kombinační hodnotu proměnného zatížení
y_1	součinitel pro častou hodnotu proměnného zatížení
y_2	součinitel pro kvazistálou hodnotu proměnného zatížení

Zatížení	y_0	y_1	y_2
Kategorie A: obytné plochy	0,7	0,5	0,3
Kategorie B: kancelářské plochy	0,7	0,5	0,3
Kategorie C: shromažďovací plochy	0,7	0,7	0,6
Kategorie D: obchodní plochy	0,7	0,7	0,6
Kategorie E: skladovací plochy	1,0	0,9	0,8
Kategorie F: dopravní plochy; tíha vozidla $\leq 30\text{kN}$	0,7	0,7	0,6
Kategorie G: dopravní plochy; $30\text{kN} < \text{tíha vozidla} \leq 160\text{kN}$	0,7	0,5	0,3
Kategorie F: střechy	0,7	0,2	0
Zatížení sněhem, stavby umístění $H > 1000\text{m n.m.}$	0,7	0,5	0,2
Zatížení sněhem, stavby umístění $H \leq 1000\text{m n.m.}$	0,5	0,2	0
Zatížení větrem	0,6	0,2	0
Zatížení teplotou (ne od požáru)	0,6	0,5	0

10 Materiálové charakteristiky

Ve výpočtech jsou použity následující fyzikálně mechanické vlastnosti materiálů.

10.1 Betony podle ČSN EN 1992-1-1

Značka	EN 206	f_{cm} [MPa]	f_{ctm} [Mpa]	E_{cm} [Gpa]	γ [kg/m ³]
C16/20	C16/20	24,0	1,90	27,5	2500
C25/30	C25/30	33,0	2,60	30,5	2500
C30/37	C30/37	38,0	2,90	32,0	2600
Poissonova konstanta		0,2	Součinitel tepelné roztažnosti		$10 \cdot 10^{-6} \text{K}^{-1}$

10.2 Měkká výztuž podle ČSN EN 1992-1-1

Značka	f_{yk} [MPa]	f_{yd} [Mpa]	E_s [Gpa]
10505	490,0	426,1	200
BSt 500	490,0	426,1	200
KARI	490,0	426,1	200
BSt 550	550,0	478,3	200

10.3 Konstrukční oceli podle ČSN EN 1993-1-1:2006 dle EN 10025-2; Třída oceli podle ČSN EN 10027

Třída oceli	f_y [MPa]	f_u [MPa]	f_y [MPa]	f_u [MPa]	E_s [GPa]
Tloušťka [mm]	≤ 40		40–80		
S 355	355	490	335	470	210
Poissonova konstanta		0,3	Součinitel tepelné roztažnosti		$12 \cdot 10^{-6} \text{K}^{-1}$

10.4 Rostlé dřevo dle ČSN EN 1995-1-1

Konstrukční třída	$f_{m,k}$ [MPa]	$f_{t,0,k}$ [MPa]	$f_{c,0,k}$ [MPa]	$f_{v,k}$ [MPa]	$E_{0,mean}$ [GPa]
jehličnaté					
C 24 (S10)	24	14	21	4,0	11
$\rho = 350 \text{ kg/m}^3$					

11 Závěr

Konstrukce jsou obecně navrženy v souladu se souborem platných norem ČSN EN, zejména ČSN EN 1992-1-1:2006 Navrhování betonových konstrukcí – Část 1-1: Obecná pravidla a pravidla pro pozemní stavby a ČSN EN 206 Beton. Vlastnosti, výroba, ukládání a kritéria hodnocení. Provádění betonových konstrukcí se řídí ČSN EN 13670 Provádění betonových konstrukcí).

Statické výpočty byly prováděny na výsecích konstrukce programem RENEX 3D metodou konečných prvků. V konstrukci byly nadimenzovány a posouzeny hlavní nosné prvky dle 1. skupiny mezních stavů - mezní stav únosnosti - porovnáním únosnosti průřezů s vnitřními silami. Dále byla konstrukce posuzována dle 2. skupiny mezních stavů - mezní stav přetvoření.

V Praze dne 21.03.2014

Ing. Karel Košek
Autorizovaný inženýr
pro statiku a dynamiku
ČKAIT 0008742

Ing. Petr Nosek

12 Přílohy

Příloha 1 - Betonové nosné konstrukce

Příloha 2 - Ocelové konstrukce fasád

Příloha 3 - Dřevěná konstrukce zastřešení

Zakázka	SPORTOVNÍ HALA U ZŠ ČERNOŠICE	Datum	20.03.14
Výpočet	ZS_CERNOSICE_1.01	Příloha	1
Konstrukce	Úvodní list	Strana	1 z 43



SPORTOVNÍ HALA U ZŠ ČERNOŠICE

PŘÍLOHA 1 BETONOVÉ NOSNÉ KONSTRUKCE

Zakázka	SPORTOVNÍ HALA U ZŠ ČERNOŠICE	Datum	20.03.14
Výpočet	ZS_CERNOSICE_1.01	Příloha	1
Konstrukce	Obsah	Strana	2 z 43



Výpis zatěžovacích stavů:

G00 VLASTNÍ TÍHA
G01__NASYP
G02__PODLAHY
G03__STRECHA
G04__STALE-PODHLED
Q01C_UZITNE CHODNIK
Q01S_SNIH
Q02C_UZITNE TELOC
Q02Z_ZASYP
Q03C_C1 - UCEBNA

Výpis kombinací:

KOMBINACE: DESIGNED

Zatěžovací stav	součinitel	typ	skupina
G00 VLASTNÍ TÍHA	1.10	Stálé	
G01__NASYP	1.10	Stálé	
G02__PODLAHY	1.10	Stálé	
G03__STRECHA	1.10	Stálé	
G04__STALE-PODHLED	1.10	Stálé	
Q01C_UZITNE CHODNIK	1.50	Nahodilé	
Q01S_SNIH	1.50	Nahodilé	
Q02C_UZITNE TELOC	1.50	Nahodilé	
Q02Z_ZASYP	1.50	Nahodilé	
Q03C_C1 - UCEBNA	1.50	Nahodilé	

KOMBINACE: PROVOZNI

Zatěžovací stav	součinitel	typ	skupina
G00 VLASTNÍ TÍHA	1.00	Stálé	
G01__NASYP	1.00	Stálé	
G02__PODLAHY	1.00	Stálé	
G03__STRECHA	1.00	Stálé	
G04__STALE-PODHLED	1.00	Stálé	
Q01C_UZITNE CHODNIK	1.00	Nahodilé	
Q01S_SNIH	1.00	Nahodilé	
Q02C_UZITNE TELOC	1.00	Nahodilé	
Q02Z_ZASYP	1.00	Nahodilé	
Q03C_C1 - UCEBNA	1.00	Nahodilé	

KOMBINACE: ZEMNI TLAK

Zatěžovací stav	součinitel	typ	skupina
G00 VLASTNÍ TÍHA	1.00	Stálé	
G01__NASYP	1.00	Stálé	
G02__PODLAHY	1.00	Stálé	
Q01C_UZITNE CHODNIK	1.00	Nahodilé	
Q02C_UZITNE TELOC	1.00	Nahodilé	
Q02Z_ZASYP	1.00	Stálé	

Zakázka	SPORTOVNÍ HALA U ZŠ ČERNOŠICE	Datum	20.03.14
Výpočet	ZS_CERNOSICE_1.01	Příloha	1
Konstrukce	Vstupy - zatížení sněhem	Strana	3 z 43



podle: **ČSN EN 1991-1-3, Z1, Z2 a Z3**

sněhová oblast:

$$s_k = 0,7 \text{ kN/m}^2$$

součinitel expozice:

$$C_e = 1,0$$

Normální typ krajiny: plochy, kde nedochází na stavbách k výraznému přemístění sněhu větrem kvůli okolnímu terénu, jiným stavbám nebo stromům.

tepelný součinitel:

$$C_t = 1,0$$

sklon střechy:

$$\alpha_1 = 11,00^\circ$$

$$\alpha_2 = 11,00^\circ$$

$$\alpha_{12} = 11,00^\circ$$

$$\mu_1(\alpha_1) = 0,80$$

$$\mu_1(\alpha_2) = 0,80$$

$$\mu_2(\alpha_1) = 1,09$$

$$\mu_2(\alpha_2) = 1,09$$

$$\mu_2(\alpha_{12}) = 1,09$$

zatížení sněhem na střechu:

$$s_i = \mu_i \cdot C_e \cdot C_t \cdot s_k$$

$$\alpha_{12} = \frac{(\alpha_1 + \alpha_2)}{2}$$

$$s_1(\alpha_1) = 0,560 \text{ kN/m}^2$$

$$s_1(\alpha_2) = 0,560 \text{ kN/m}^2$$

$$s_2(\alpha_1) = 0,765 \text{ kN/m}^2$$

$$s_2(\alpha_2) = 0,765 \text{ kN/m}^2$$

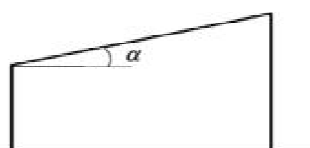
$$s_2(\alpha_{12}) = 0,765 \text{ kN/m}^2$$

uspořádání zatížení na střeše:

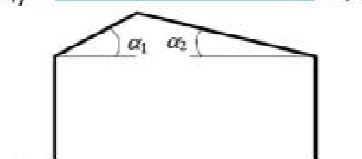
Případ (i) $\mu_1(\alpha_1)$ $\mu_1(\alpha_2)$

Případ (ii) $0,5\mu_1(\alpha_1)$ $\mu_1(\alpha_2)$

μ_1 Případ (iii) $\mu_1(\alpha_1)$ $0,5\mu_1(\alpha_2)$



Pultová střecha



Sedlová střecha

Případ (i) $\mu_1(\alpha_1)$ $\mu_1(\alpha_2)$ $\mu_1(\alpha_1)$ $\mu_1(\alpha_2)$



Případ (ii) $\mu_2(\alpha)_{12}$ $\alpha = (\alpha_1 + \alpha_2)/2$

$\mu_1(\alpha_1)$ $\mu_1(\alpha_2)$



Vielodní budovy

změna Z1

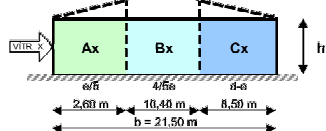
NA.2.13

NA.2.14

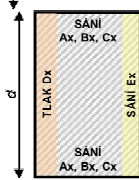
(5.1)

TLAK VĚTRU NA STĚNY - VÍTR X

POHLED NA STĚNU



----- POHLED -----



Součinitel vnějšího tlaku na stěny $c_{\text{tab.10}}$				
A_x	B_x	C_x	D_x	E_x
-1.20	-0.80	-0.50	0.71	-0.31

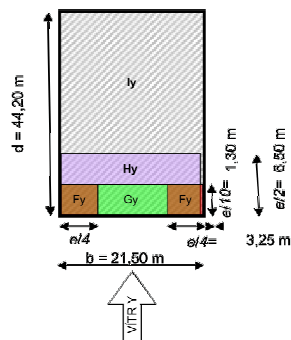
$$h/b = 0,30 \text{ m}$$
[illegible]

h = 6.5 m

PLOCHÁ STŘECHA - VÍTR Y

platí pro sklon střechy do 5°

Typ střechy s astu

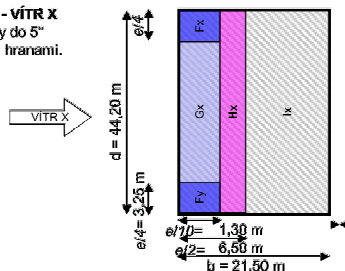


PLOCHA STŘECHA - VÍTR Y									
Výška lin. zat	Výška z pro výpočet tlaku větru	Intenzita turbulence	Součinitel drsnosti terénu	Střední rychlost větru	Maximální dynamický tlak	Tlak působící na příslušnou oblast střechy			
						H _y	G _y	H _y	L _y
Poslední podlaží	z	I _v (z)	C _s (z)	v _m (z)	q _p (z)	w _{e,0} (z)	w _{o,0} (z)	w _{e,H_y} (z)	w _{o,H_y} (z)
[m]	[m]	[-]	[-]	[km/h]	[kN/m²]	[kN/m²]	[kN/m²]	[kN/m²]	[kN/m²]
6,5	1	6,5	0,3251	0,8625	14,91	0,455	-1,023	-0,546	-0,318

PLOCHÁ STŘECHA - VÍTR X

platí pro sklon střechy do 5°

Typ střechy s ústředním



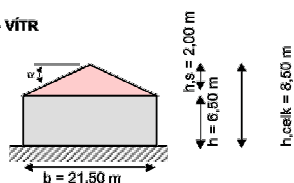
Zakázka	SPORTOVNÍ HALA U ZŠ ČERNOŠICE	Datum	20.03.14
Výpočet	ZS_CERNOSICE_1.01	Příloha	1
Konstrukce	Vstupy - zatížení větrem	Strana	6 z 43



PLOCHA STŘECHA - VÍTR X										
Výška lin. zat	Poslední podlaží	Výška z pro výpočet tlaku větru	Intenzita turbulence	Součinitel drsnosti terénu	Střední rychlost větru	Maximální dynamický tlak	Tlak působící na příslušnou oblast střechy			
							F _x	G _x	H _x	E _x
		z	I _v (z)	c _r (z)	v _m (z)	q _p (z)	W _{0,Fx} (z)	W _{0,Gx} (z)	W _{0,Hx} (z)	W _{0,Ex} (z)
[m]		[m]	[-]	[-]	[km/h]	[kN/m²]	[kN/m²]	[kN/m²]	[kN/m²]	[kN/m²]
6,5	1	6,5	0,3251	0,6625	14,91	0,455	-1,023	-0,646	-0,318	-0,081

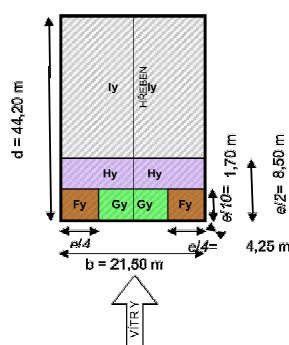
SEDLOVÁ STŘECHA - VÍTR

$h_v = 2,00$ m
 $\alpha = 10,54^\circ$
 $h_{celk} = 8,50$ m



SEDLOVÁ STŘECHA - VÍTR Y

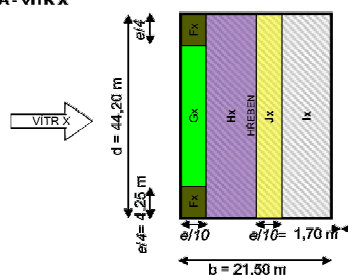
e = 17,00 m



SEDLOVÁ STŘECHA - VÍTR Y										
Výška <i>h_{celk}</i>	Poslední podlaží	Výšku z pro výpočet tlaku větru	Intenzita turbulence	Součinitel drsnosti terénu	Střední rychlost větru	Maximální dynamický tlak	Tlak působící na příslušnou oblast střechy			
							F _y	G _y	H _y	L _y
		z	I _v (z)	c _r (z)	v _m (z)	q _p (z)	W _{F,y} (z)	W _{G,y} (z)	W _{H,y} (z)	W _{L,y} (z)
[m]		[m]	[-]	[-]	[km/h]	[kN/m²]	[kN/m²]	[kN/m²]	[kN/m²]	[kN/m²]
8,5	1	8,5	0,2990	0,7203	16,21	0,508	-0,831	-0,660	-0,327	-0,027

SEDLOVÁ STŘECHA - VÍTR X

e = 17,00 m



SEDLOVÁ STŘECHA - VÍTR X											
Výška h_{celk}	Poslední podlaží	Výška z pro výpočet tlaku větru	Intenzita turbulence	Součinitel drsnosti terénu	Střední rychlost větru	Maximální dynamický tlak	Tlak působící na příslušnou oblast střechy				
							F_x	G_x	H_x	E_x	L_x
[m]		z	$I_x(z)$	$c_r(z)$	$v_m(z)$	$q_m(z)$	$W_{x,Fx}(z)$	$W_{x,Gx}(z)$	$W_{x,Hx}(z)$	$W_{x,Ex}(z)$	
		[m]	[-]	[-]	[km/h]	[kN/m ²]	[kN/m ²]	[kN/m ²]	[kN/m ²]	[kN/m ²]	
8,5	1	8,5	0,2990	0,7203	16,21	0,508	-0,786	-0,497	-0,220	-0,049	
							-0,056	-0,056	0,056	-0,056	

Zakázka	SPORTOVNÍ HALA U ZŠ ČERNOŠICE	Datum	20.03.14
Výpočet	ZS_CERNOSICE_1.01	Příloha	1
Konstrukce	Model konstrukce	Strana	7 z 43



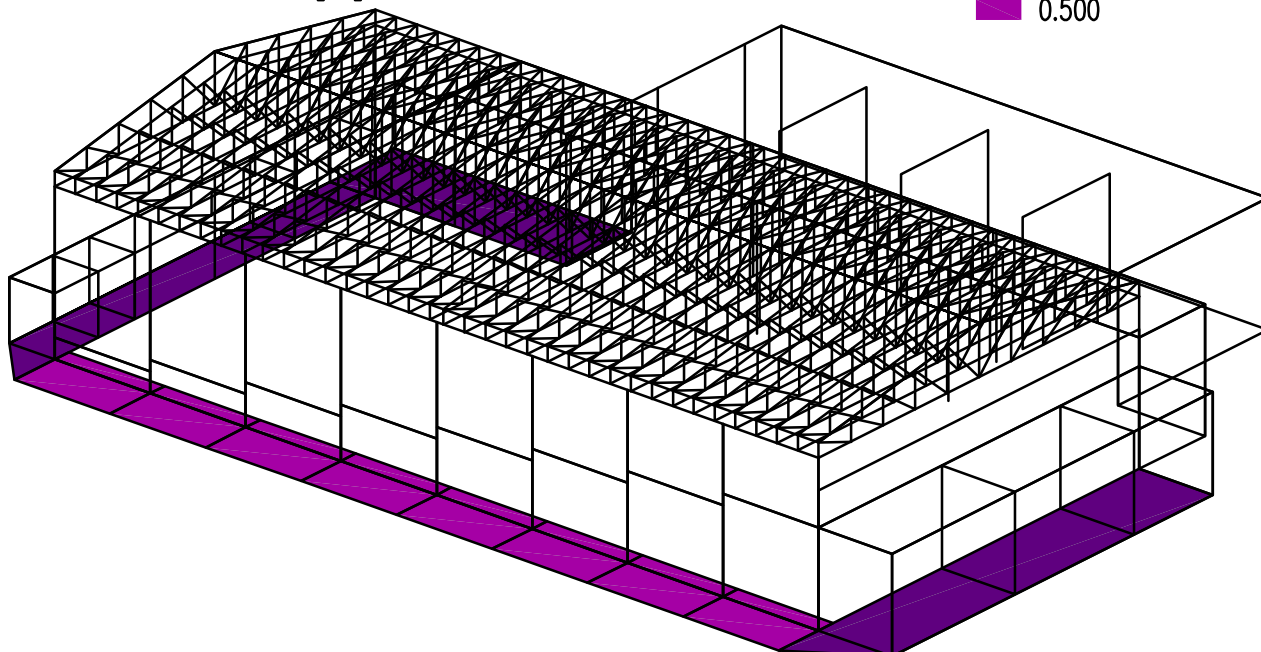
MODEL KONSTRUKCE

Zakázka	SPORTOVNÍ HALA U ZŠ ČERNOŠICE	Datum	20.03.14
Výpočet	ZS_CERNOSICE_1.01	Příloha	1
Konstrukce	Vstupy	Strana	8 z 43



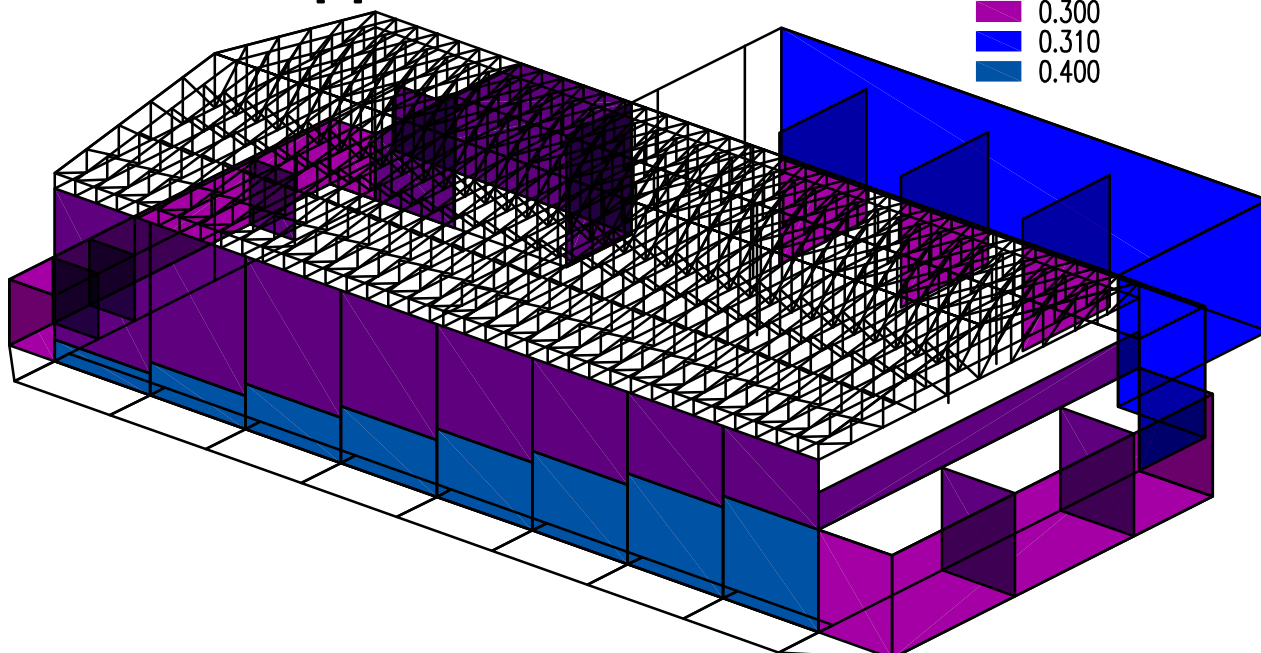
Fyzikální vlastnosti: H [m]

0.300
0.500



Fyzikální vlastnosti: H [m]

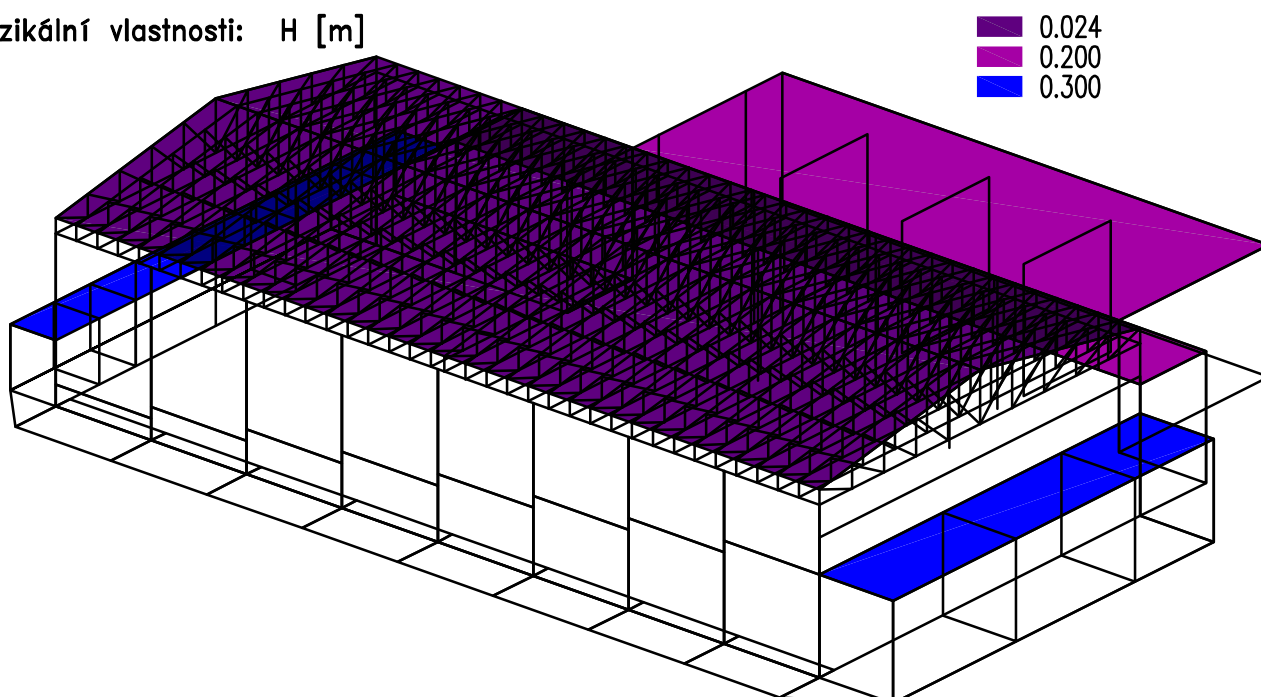
0.200
0.300
0.310
0.400



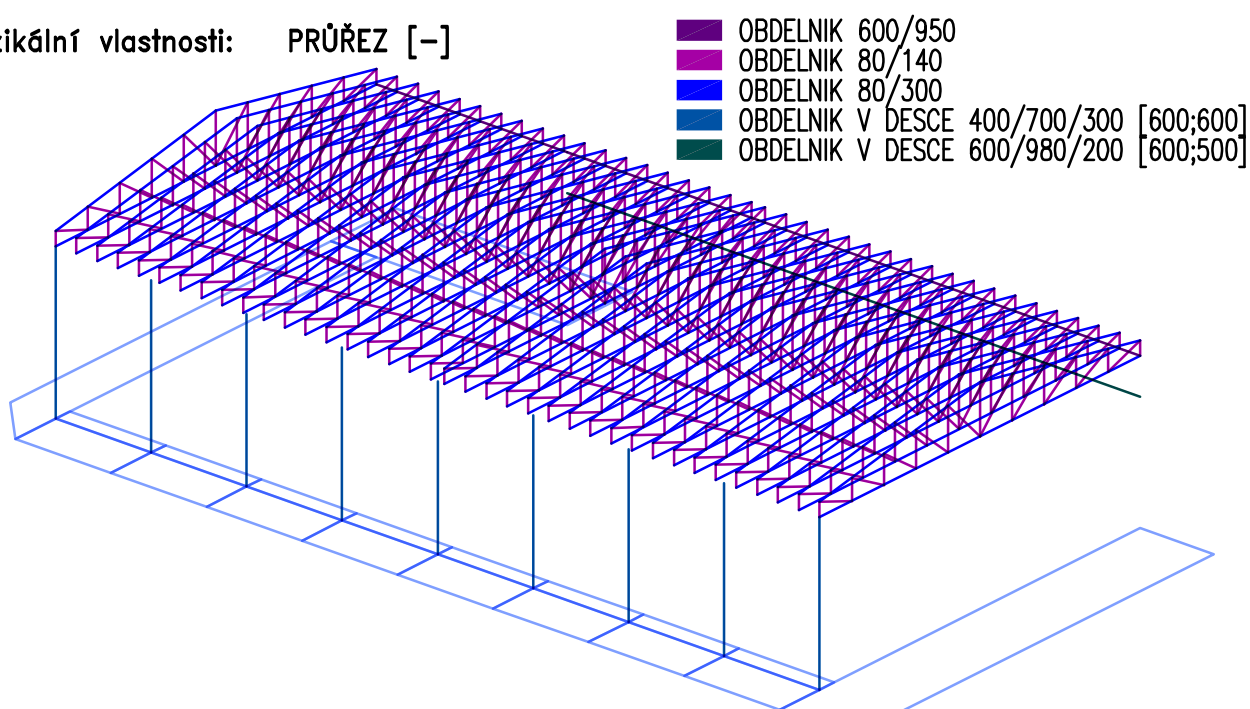
Zakázka	SPORTOVNÍ HALA U ZŠ ČERNOŠICE	Datum	20.03.14
Výpočet	ZS_CERNOSICE_1.01	Příloha	1
Konstrukce	Vstupy	Strana	9 z 43



Fyzikální vlastnosti: H [m]



Fyzikální vlastnosti: PRŮŘEZ [-]

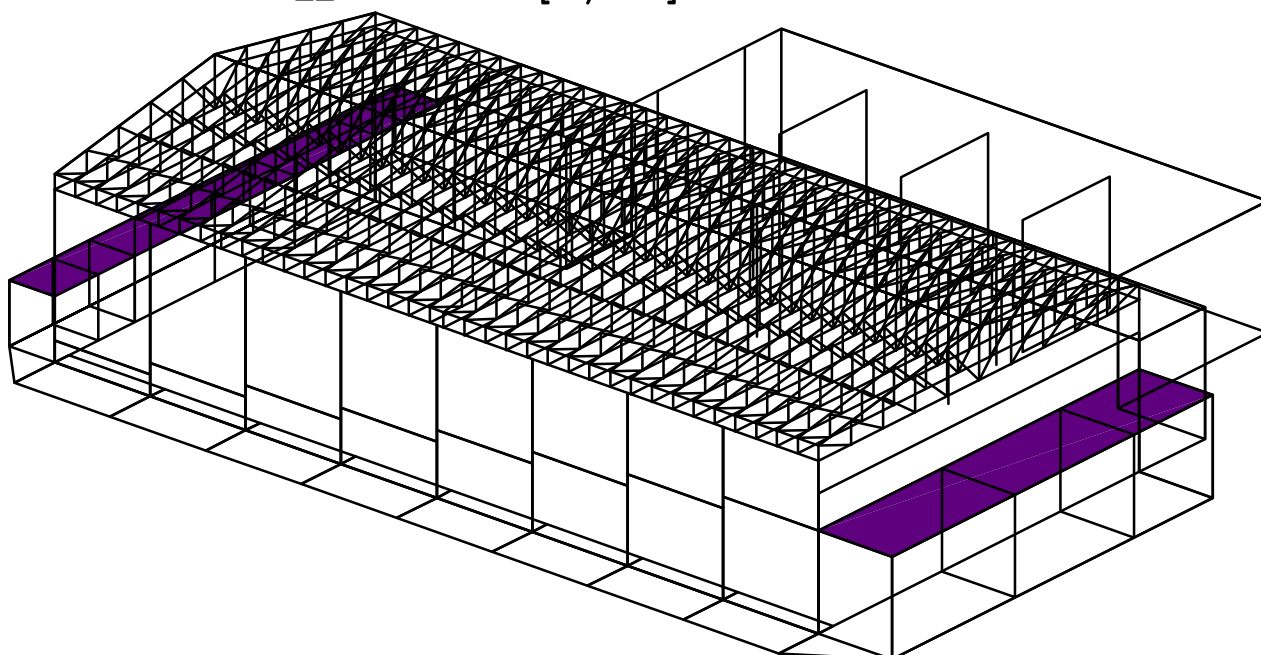


Zakázka	SPORTOVNÍ HALA U ZŠ ČERNOŠICE	Datum	20.03.14
Výpočet	ZS_CERNOSICE_1.01	Příloha	1
Konstrukce	Vstupy	Strana	10 z 43



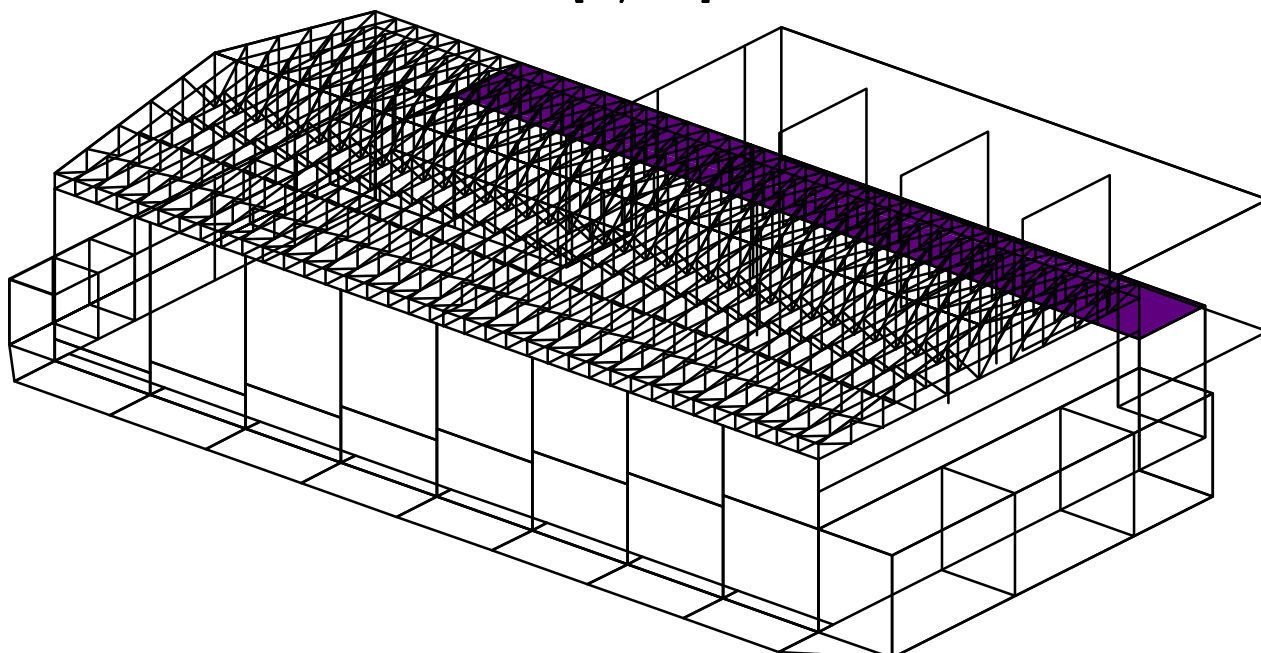
Zadané zatížení: "G01__NASYP" – F_z [kN/m²]

9.000



Zadané zatížení: "G02__PODLAHY" – F_z [kN/m²]

5.000

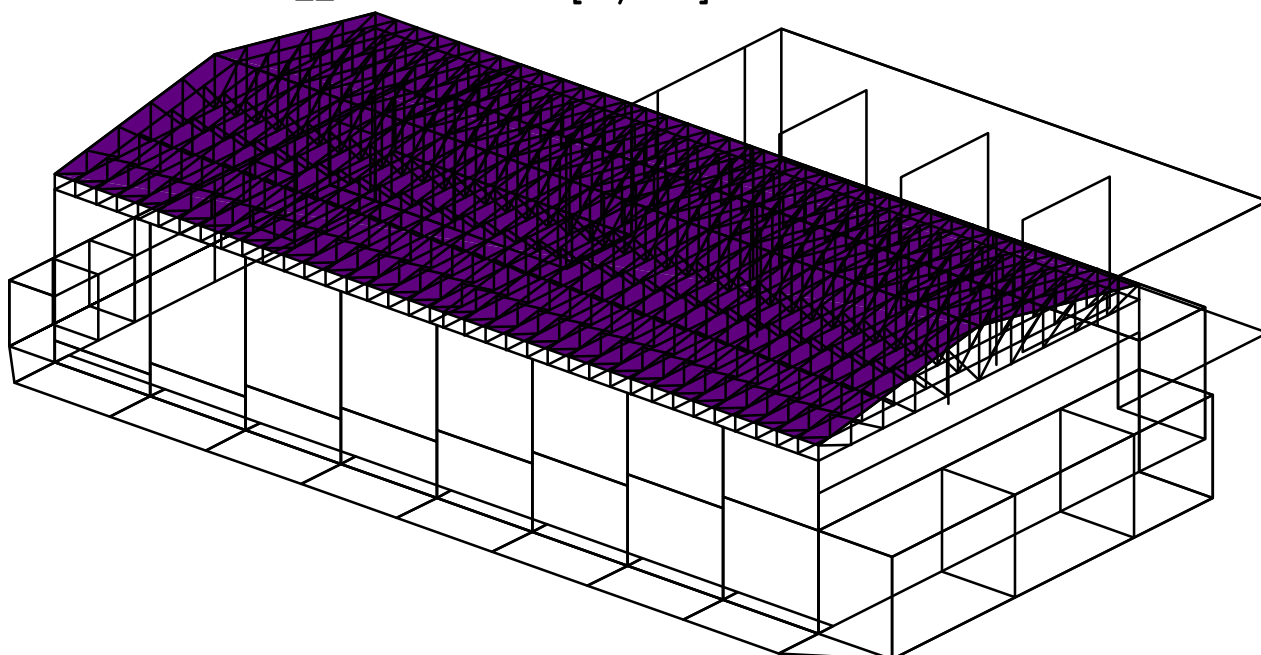


Zakázka	SPORTOVNÍ HALA U ZŠ ČERNOŠICE	Datum	20.03.14
Výpočet	ZS_CERNOSICE_1.01	Příloha	1
Konstrukce	Vstupy	Strana	11 z 43



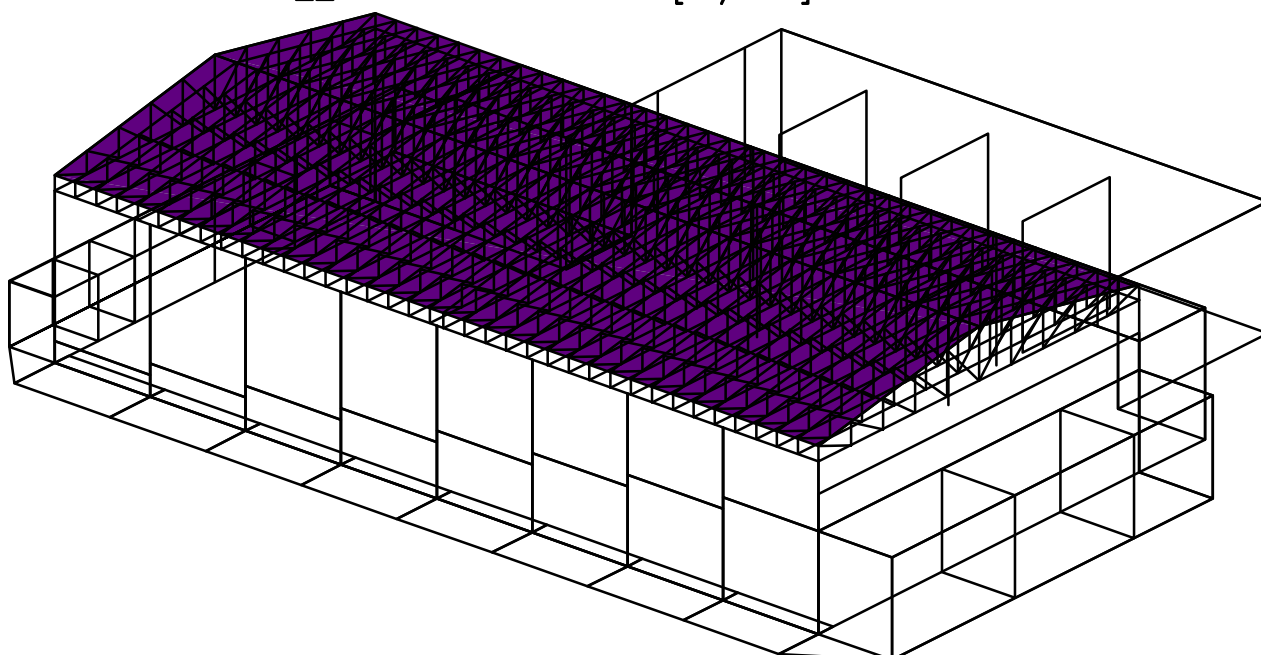
Zadané zatížení: "G03__STRECHA" – F_z [kN/m²]

0.400



Zadané zatížení: "G04__STALE-PODHLÉD" – F_z [kN/m²]

0.500

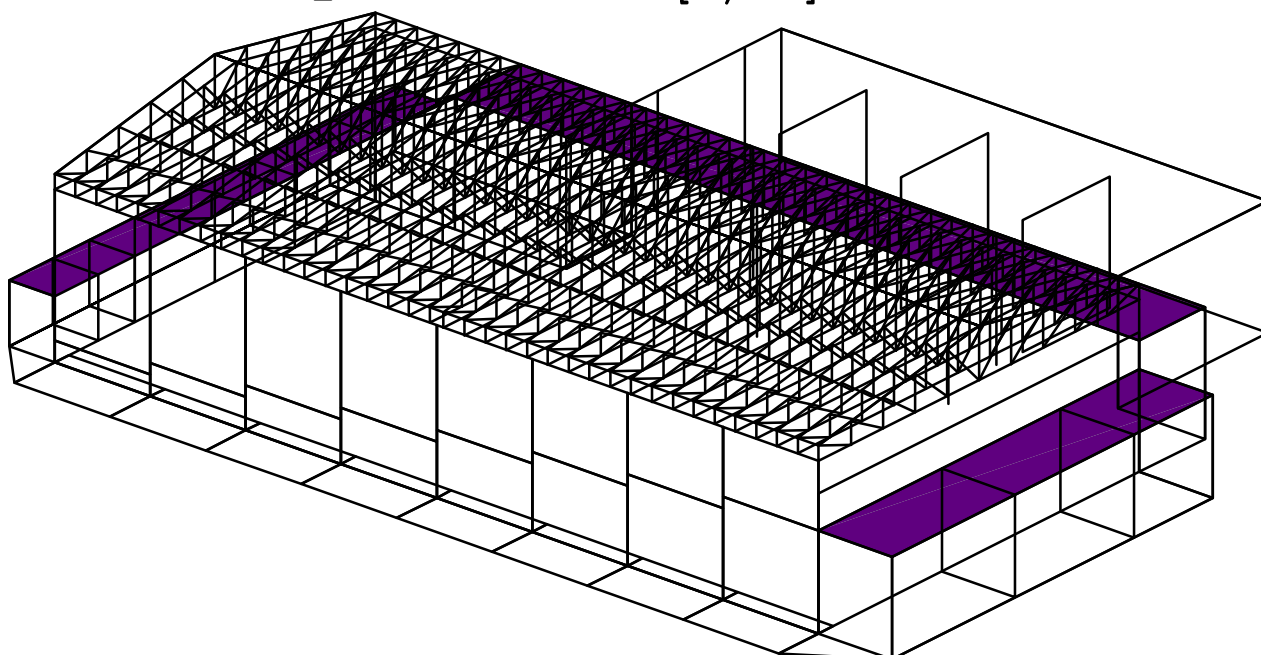


Zakázka	SPORTOVNÍ HALA U ZŠ ČERNOŠICE	Datum	20.03.14
Výpočet	ZS_CERNOSICE_1.01	Příloha	1
Konstrukce	Vstupy	Strana	12 z 43



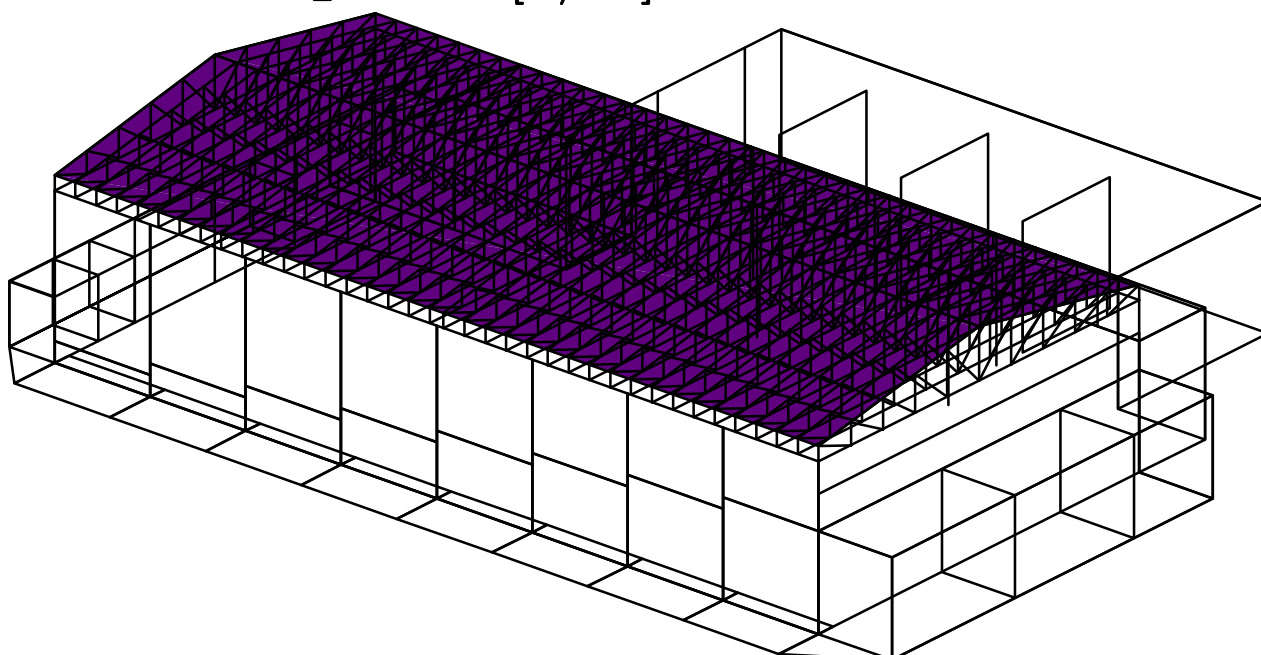
Zadané zatížení: "Q01C_UZITNE CHODNIK" – F_z [kN/m²]

5.000



Zadané zatížení: "Q01S_SNIH" – F_z [kN/m²]

0.700

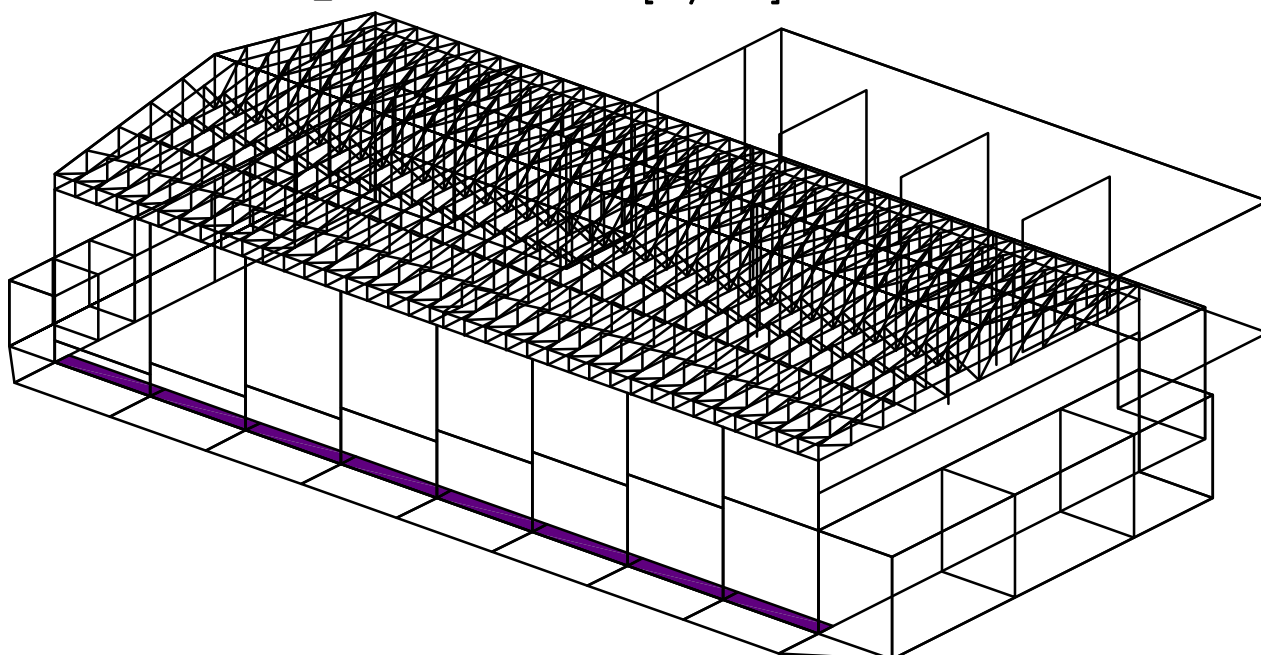


Zakázka	SPORTOVNÍ HALA U ZŠ ČERNOŠICE	Datum	20.03.14
Výpočet	ZS_CERNOSICE_1.01	Příloha	1
Konstrukce	Vstupy	Strana	13 z 43



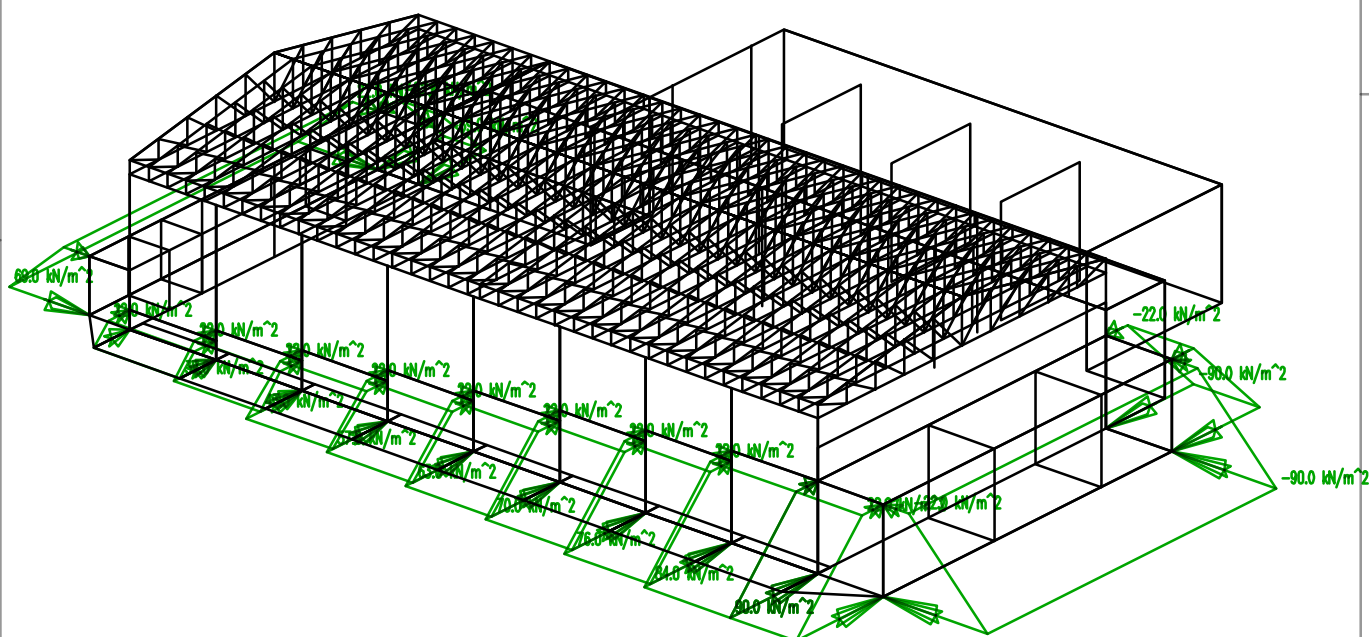
Zadané zatížení: "Q02C_UZITNE TELOC" – F_z [kN/m^2]

5.000



Zadané zatížení: "Q02Z_ZASYP" – Nerovnoměrné [kN/m^2]

Sila

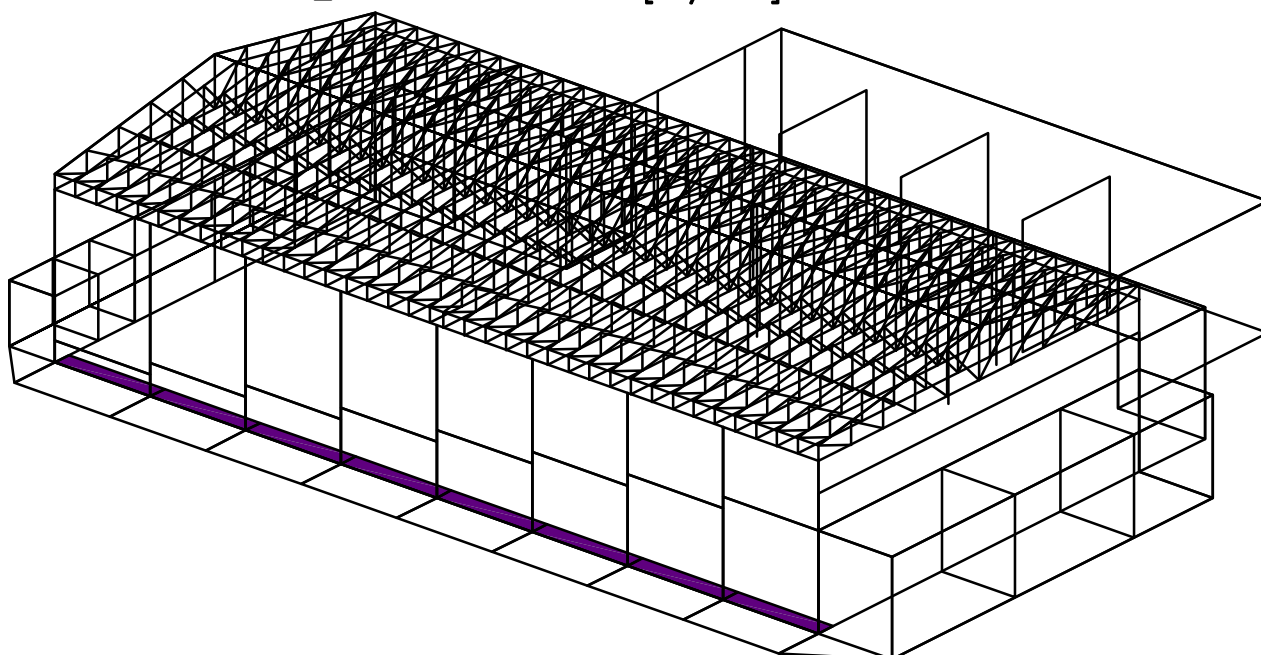


Zakázka	SPORTOVNÍ HALA U ZŠ ČERNOŠICE	Datum	20.03.14
Výpočet	ZS_CERNOSICE_1.01	Příloha	1
Konstrukce	Vstupy	Strana	14 z 43



Zadané zatížení: "Q02C_UZITNE TELOC" – F_z [kN/m²]

5.000

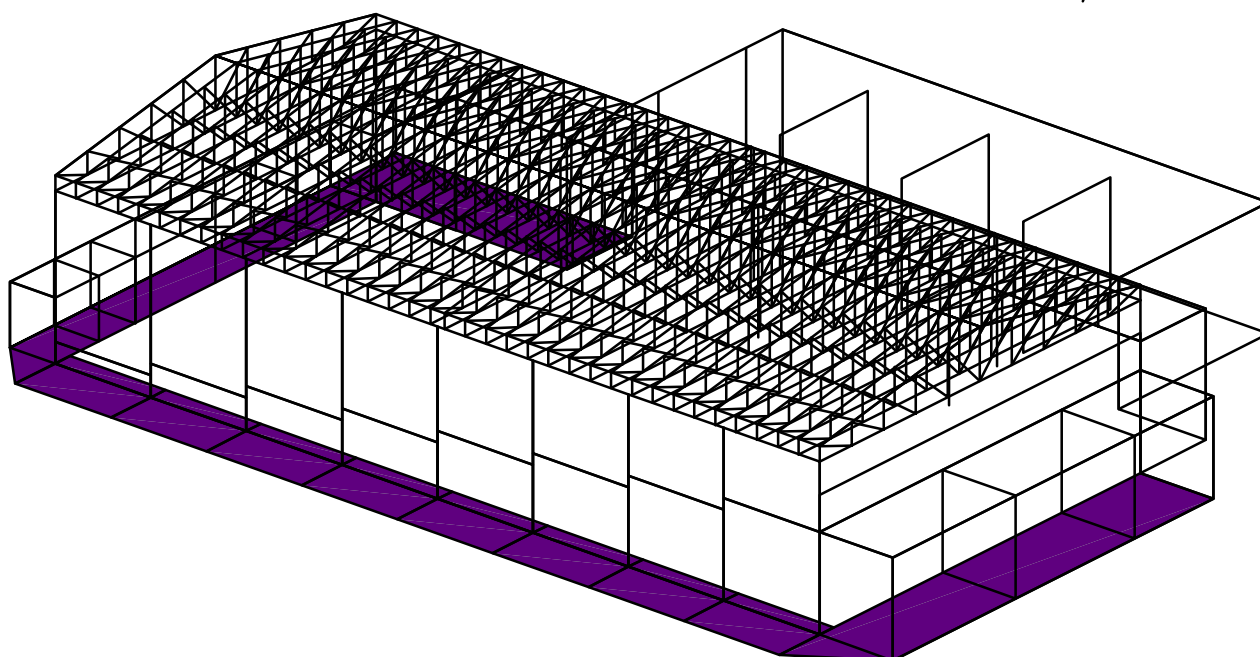


Zakázka	SPORTOVNÍ HALA U ZŠ ČERNOŠICE	Datum	20.03.14
Výpočet	ZS_CERNOSICE_1.01	Příloha	1
Konstrukce	Vstupy	Strana	15 z 43



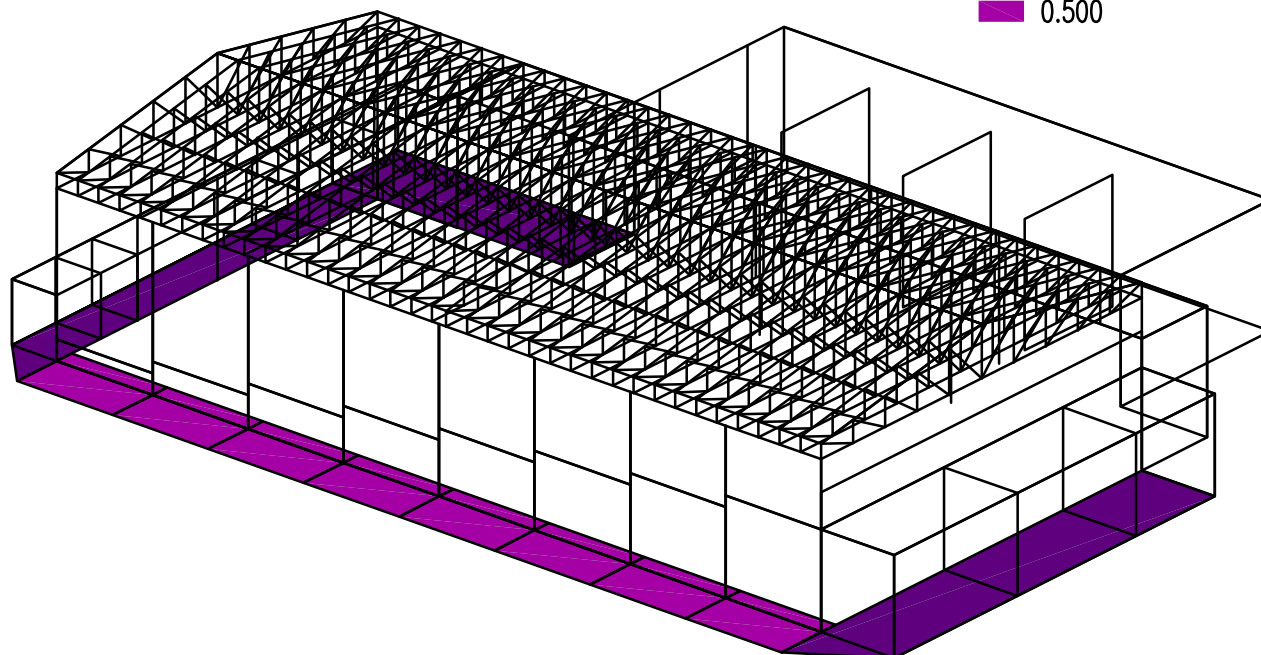
Fyzikální vlastnosti: MATERIÁL [-]

■ C25/30



Fyzikální vlastnosti: Tl [m]

■ 0.300
■ 0.500

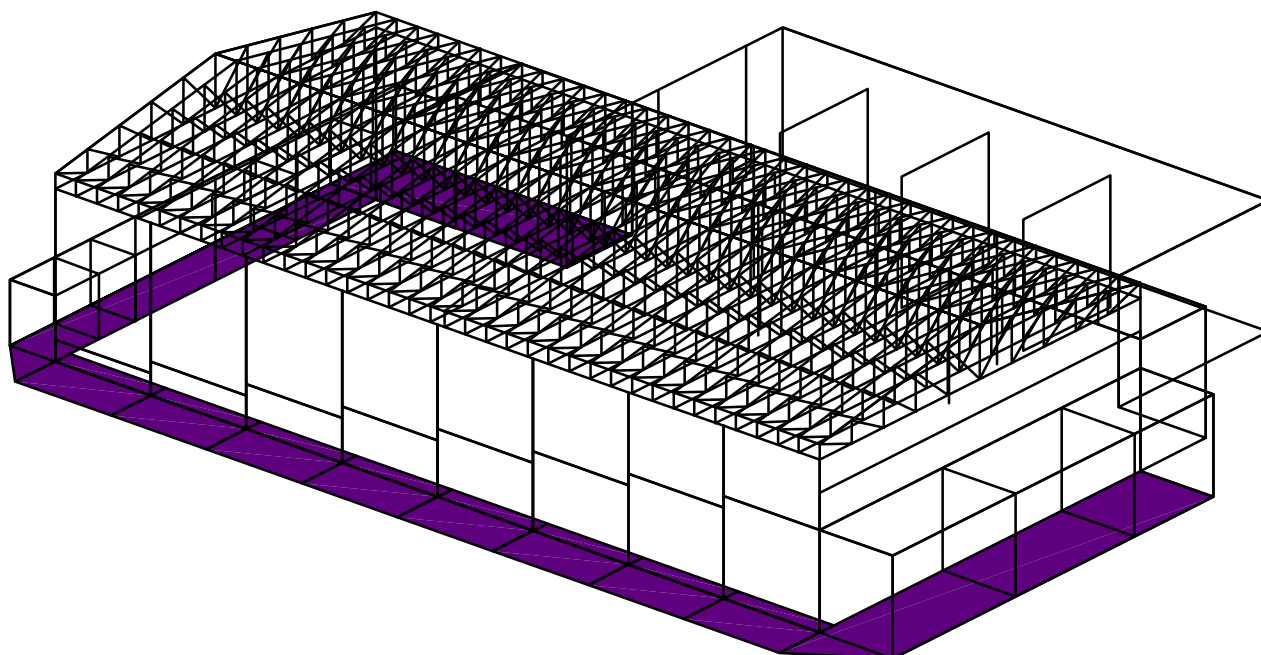


Zakázka	SPORTOVNÍ HALA U ZŠ ČERNOŠICE	Datum	20.03.14
Výpočet	ZS_CERNOSICE_1.01	Příloha	1
Konstrukce	Vstupy	Strana	16 z 43



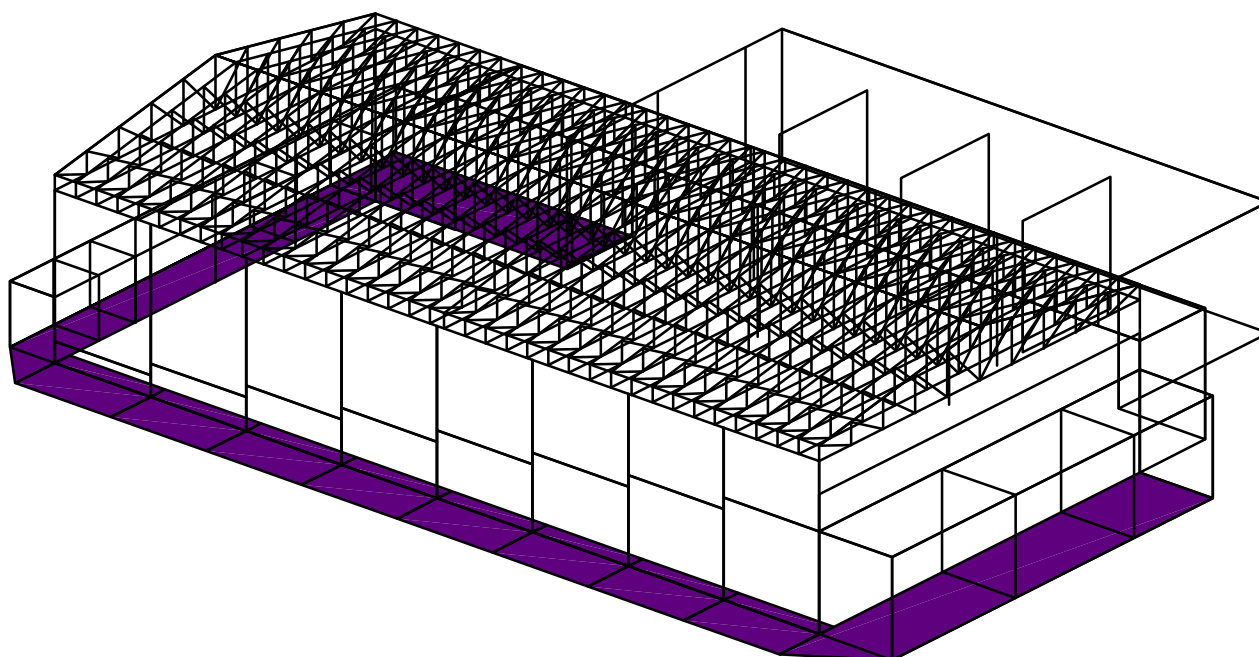
Fyzikální vlastnosti: $C1x$ [MN/m³]

8.000



Fyzikální vlastnosti: $C1y$ [MN/m³]

8.000

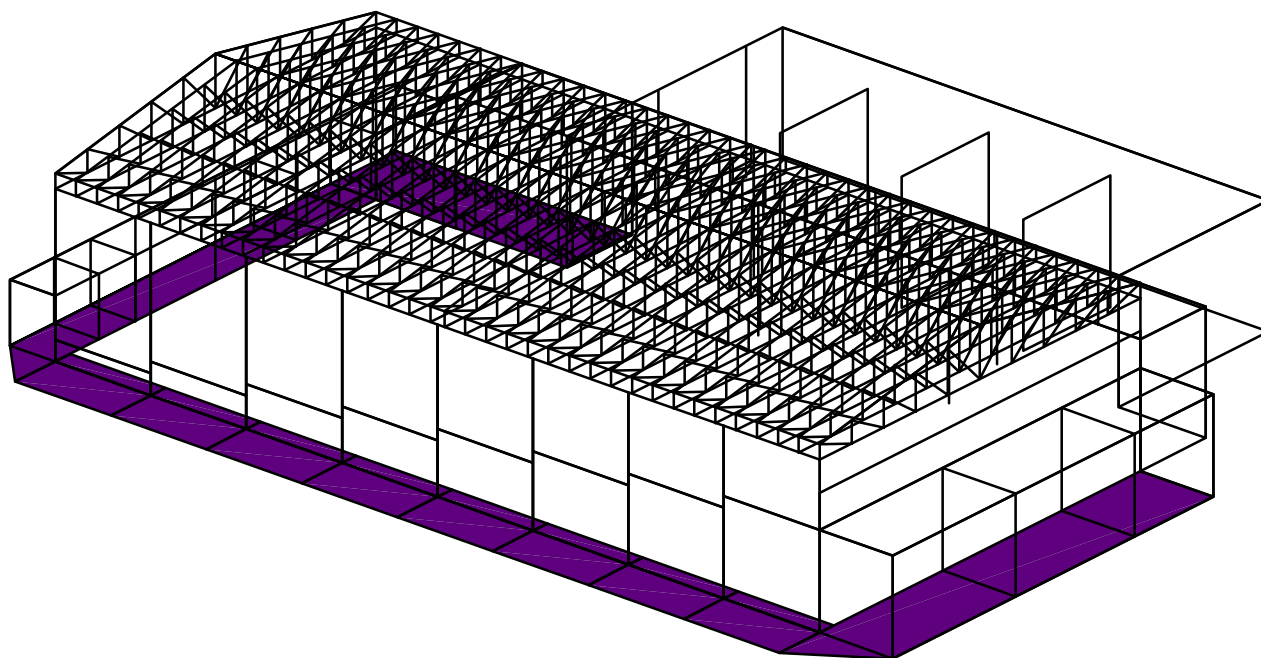


Zakázka	SPORTOVNÍ HALA U ZŠ ČERNOŠICE	Datum	20.03.14
Výpočet	ZS_CERNOSICE_1.01	Příloha	1
Konstrukce	Vstupy	Strana	17 z 43



Fyzikální vlastnosti: C1z [MN/m³]

20.000

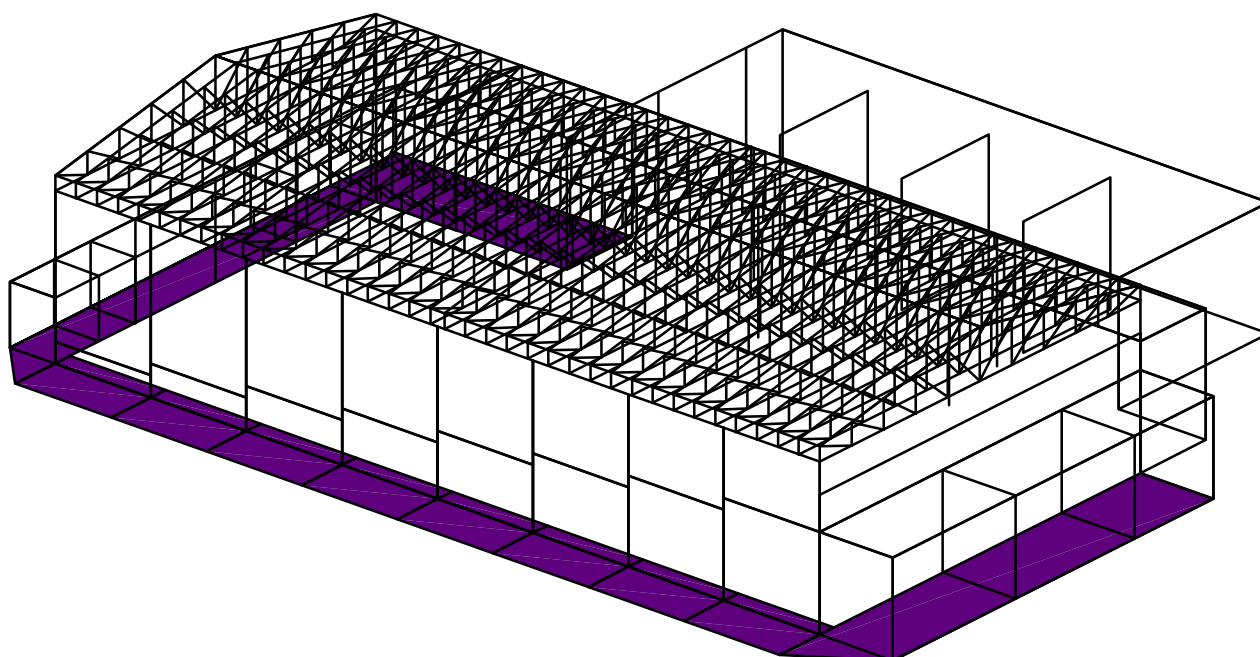


Zakázka	SPORTOVNÍ HALA U ZŠ ČERNOŠICE	Datum	20.03.14
Výpočet	ZS_CERNOSICE_1.01	Příloha	1
Konstrukce	Vstupy	Strana	18 z 43



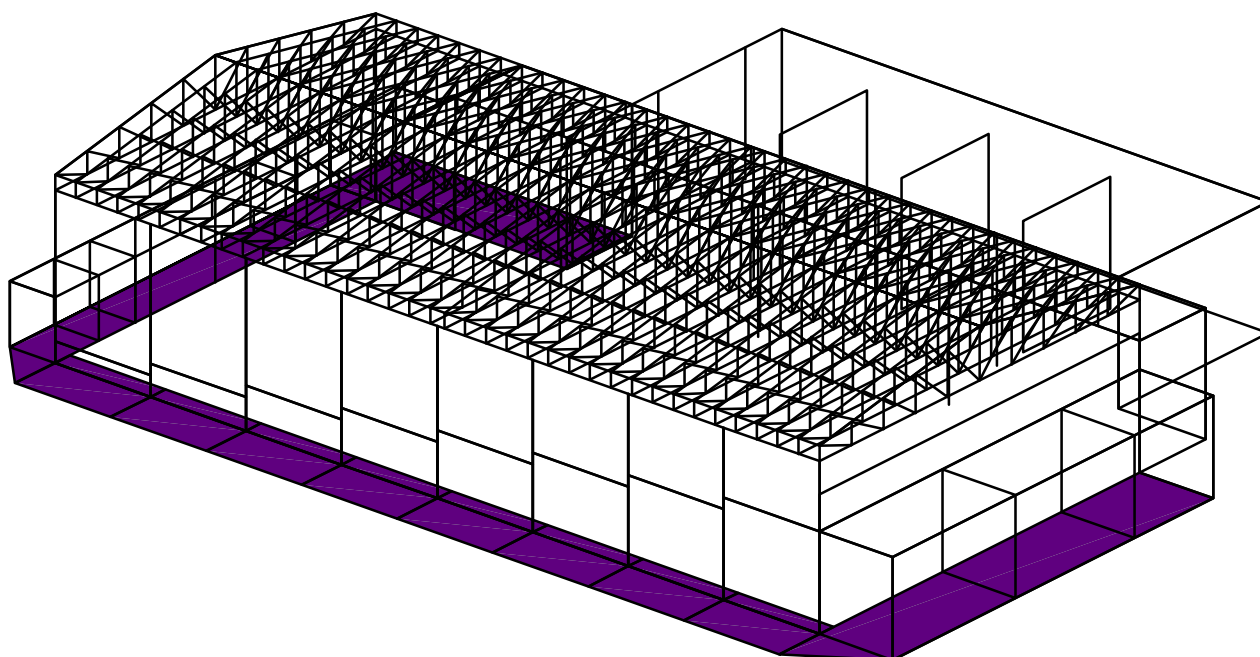
Fyzikální vlastnosti: C2x [MN/m]

8.000



Fyzikální vlastnosti: C2y [MN/m]

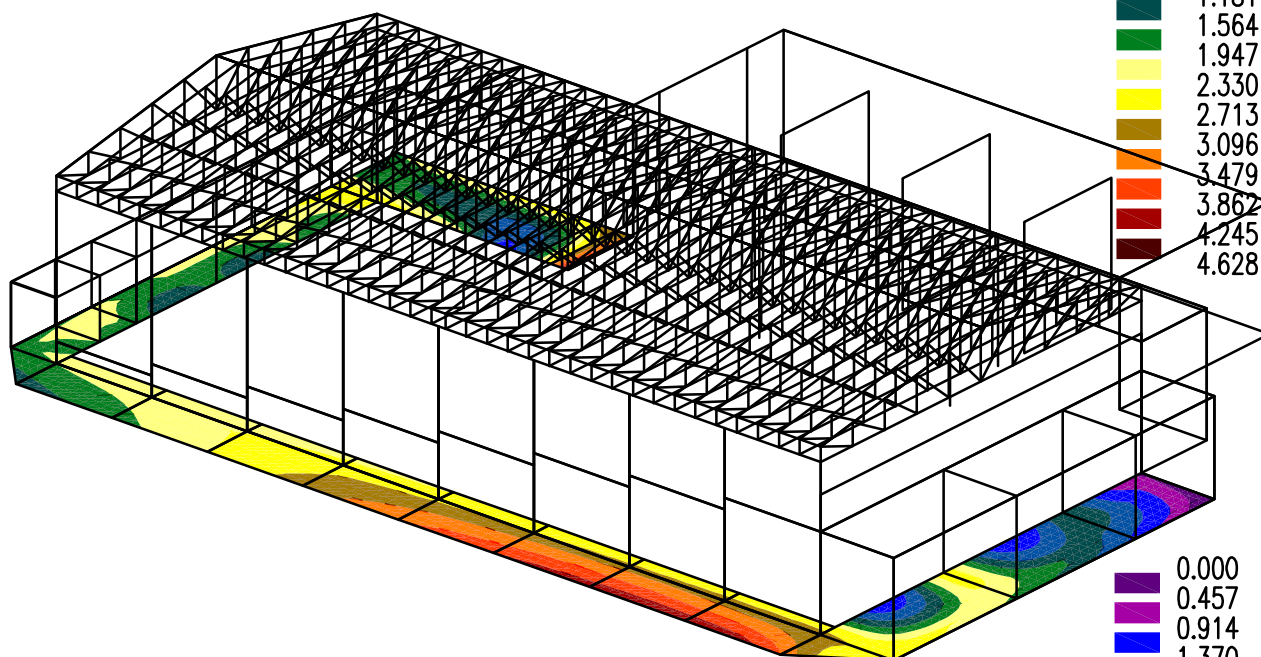
8.000



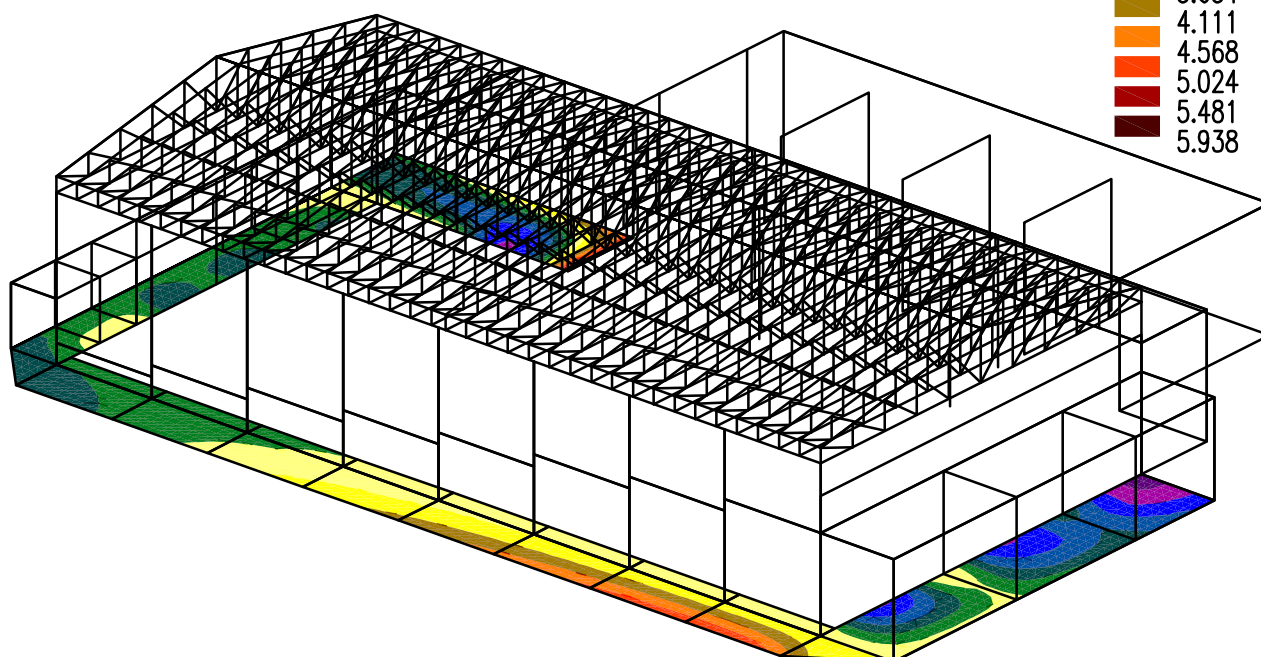
Zakázka	SPORTOVNÍ HALA U ZŠ ČERNOŠICE	Datum	20.03.14
Výpočet	ZS_CERNOSICE_1.01	Příloha	1
Konstrukce	Výstupy	Strana	19 z 43



Kombinace: "PROVOZNI" – MIN – UzG [mm]



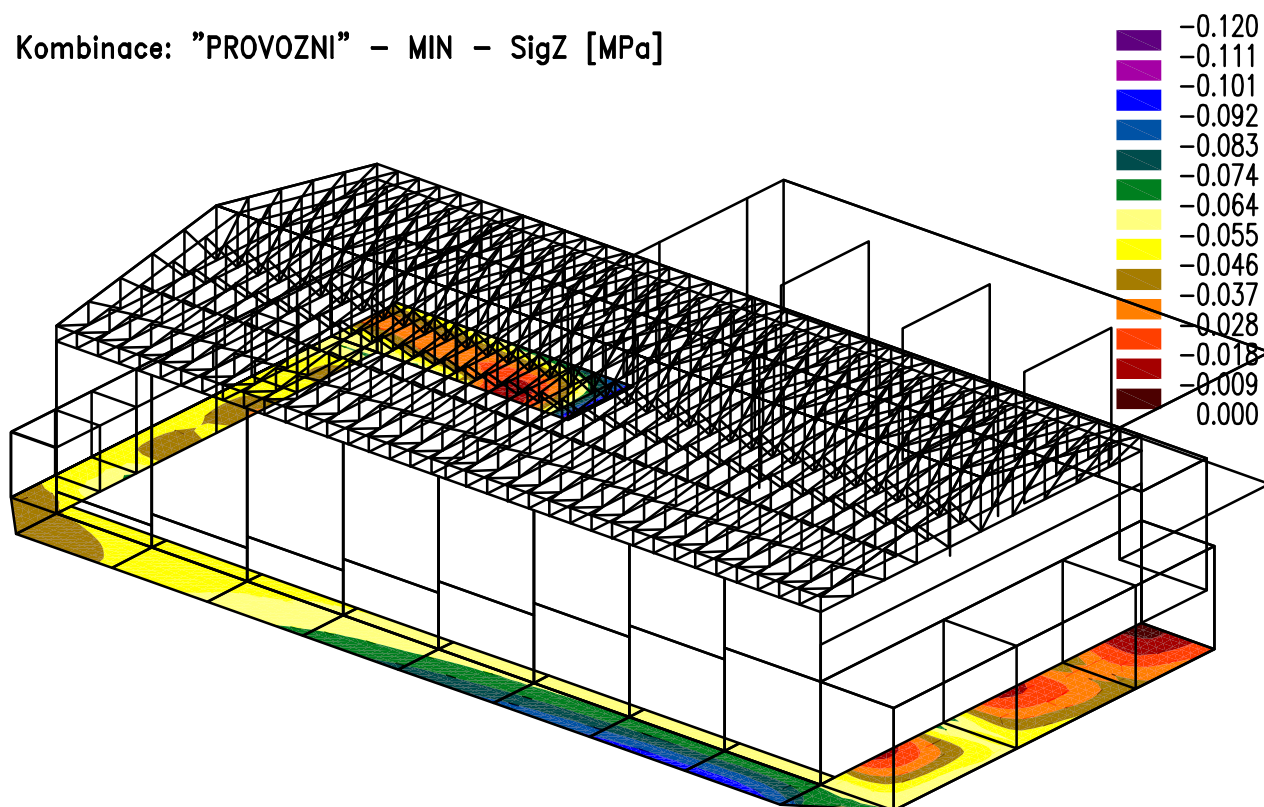
Kombinace: "PROVOZNI" – MAX – UzG [mm]



Zakázka	SPORTOVNÍ HALA U ZŠ ČERNOŠICE	Datum	20.03.14
Výpočet	ZS_CERNOSICE_1.01	Příloha	1
Konstrukce	Výstupy	Strana	20 z 43



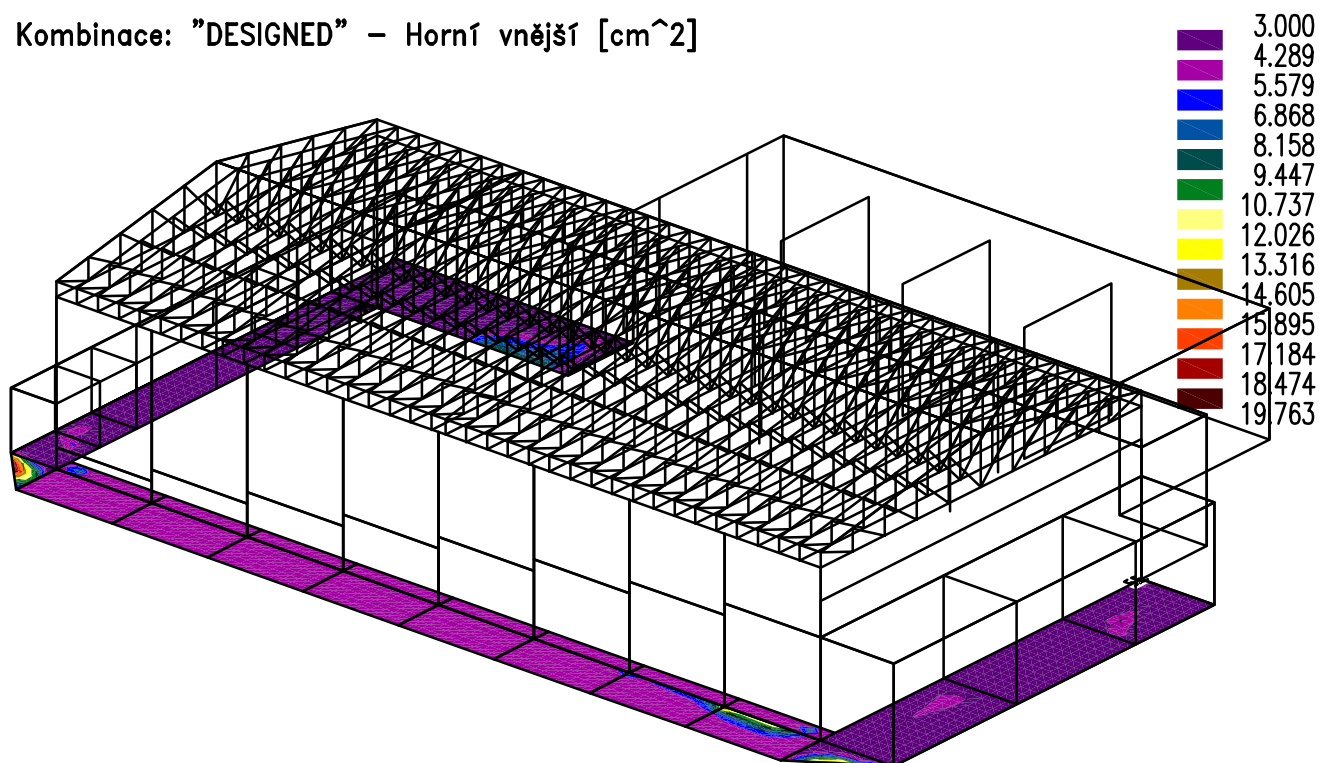
Kombinace: "PROVOZNI" – MIN – SigZ [MPa]



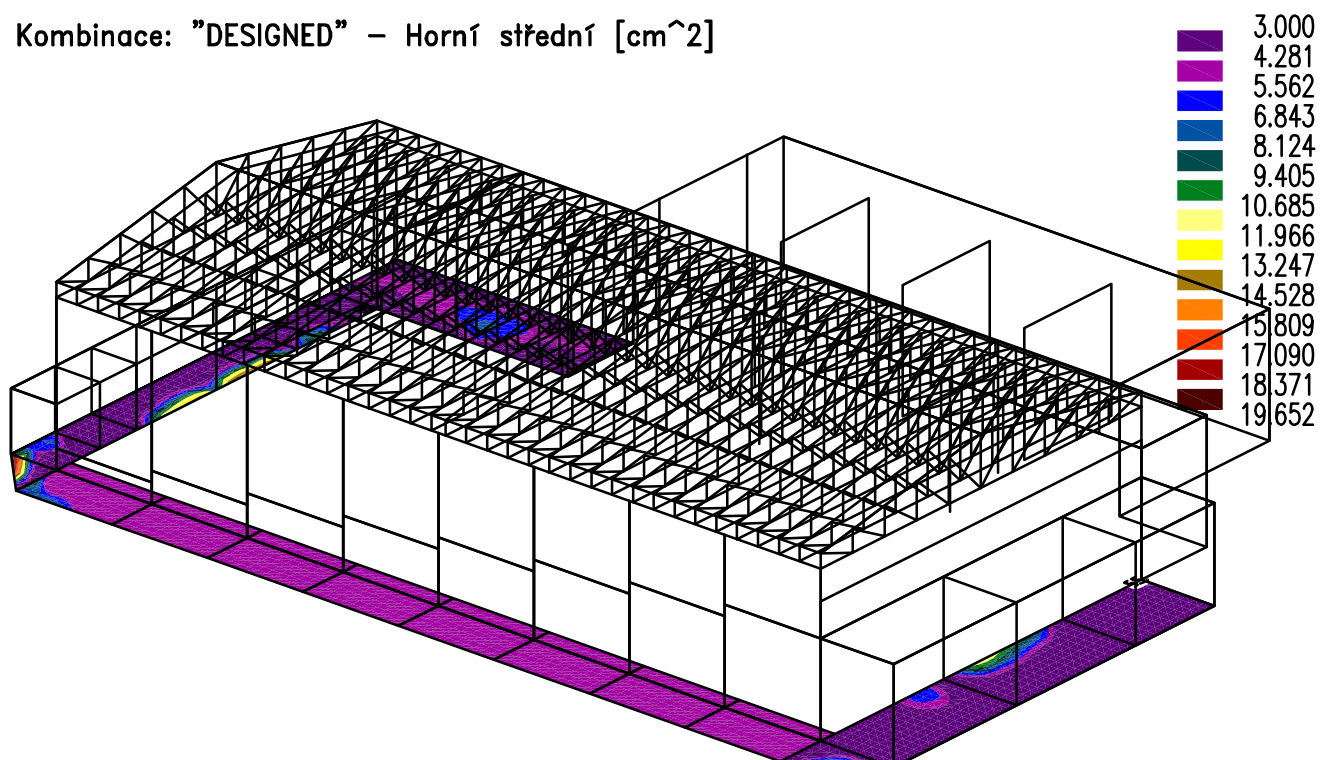
Zakázka	SPORTOVNÍ HALA U ZŠ ČERNOŠICE	Datum	20.03.14
Výpočet	ZS_CERNOSICE_1.01	Příloha	1
Konstrukce	Výstupy	Strana	21 z 43



Kombinace: "DESIGNED" – Horní vnější [cm²]



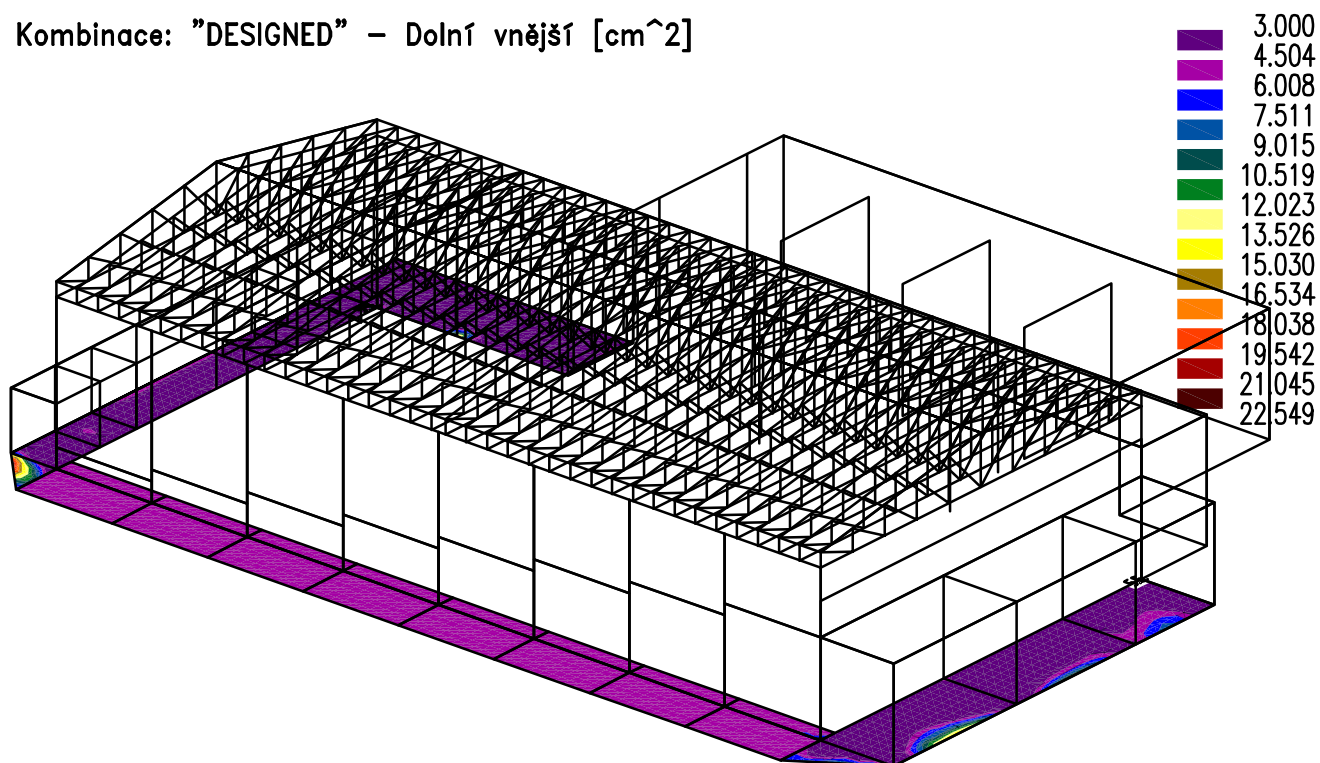
Kombinace: "DESIGNED" – Horní střední [cm²]



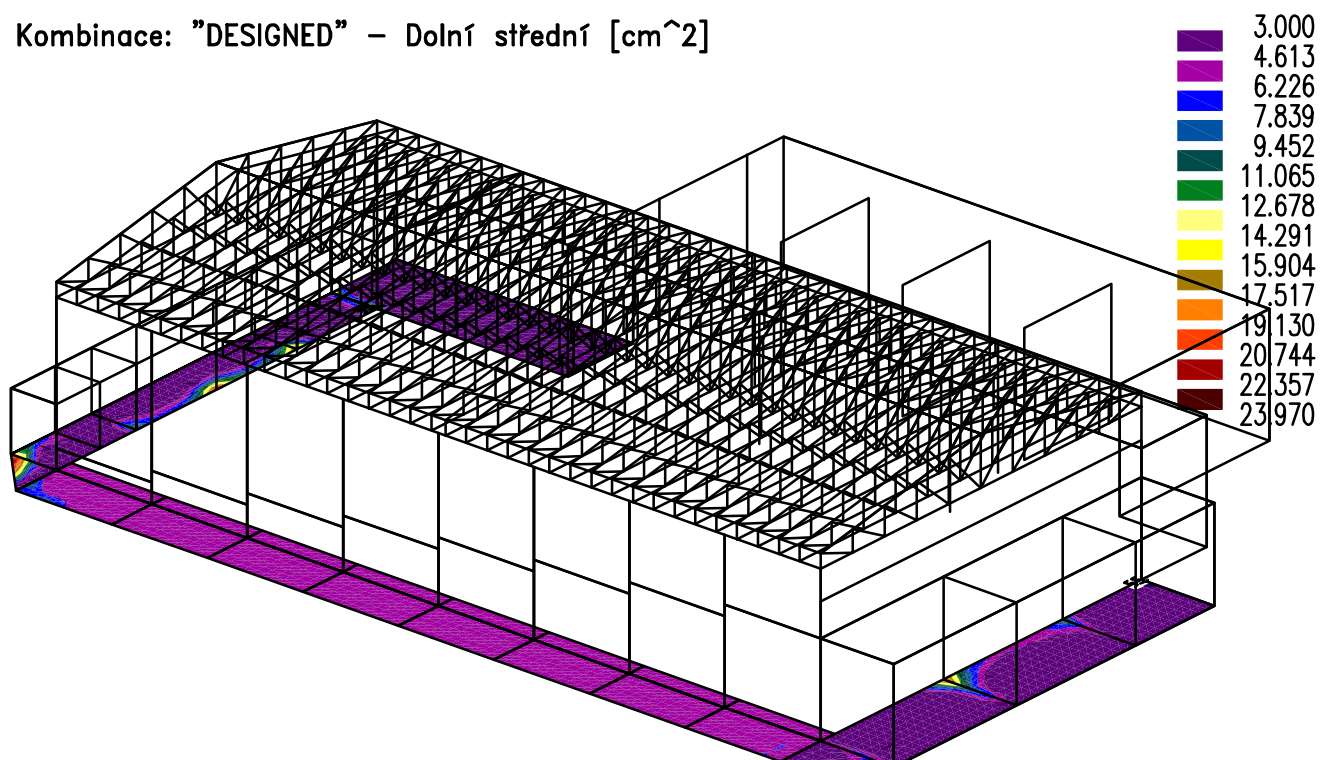
Zakázka	SPORTOVNÍ HALA U ZŠ ČERNOŠICE	Datum	20.03.14
Výpočet	ZS_CERNOSICE_1.01	Příloha	1
Konstrukce	Výstupy	Strana	22 z 43



Kombinace: "DESIGNED" – Dolní vnější [cm²]



Kombinace: "DESIGNED" – Dolní střední [cm²]

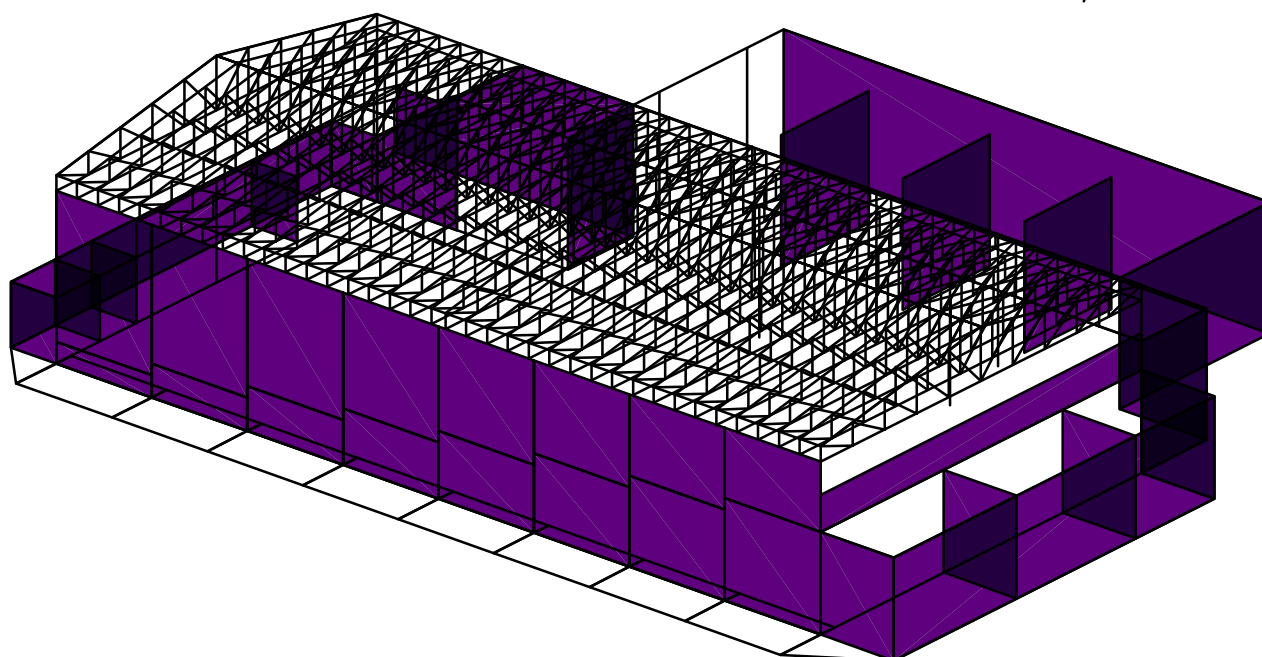


Zakázka	SPORTOVNÍ HALA U ZŠ ČERNOŠICE	Datum	20.03.14
Výpočet	ZS_CERNOSICE_1.01	Příloha	1
Konstrukce	Vstupy	Strana	23 z 43



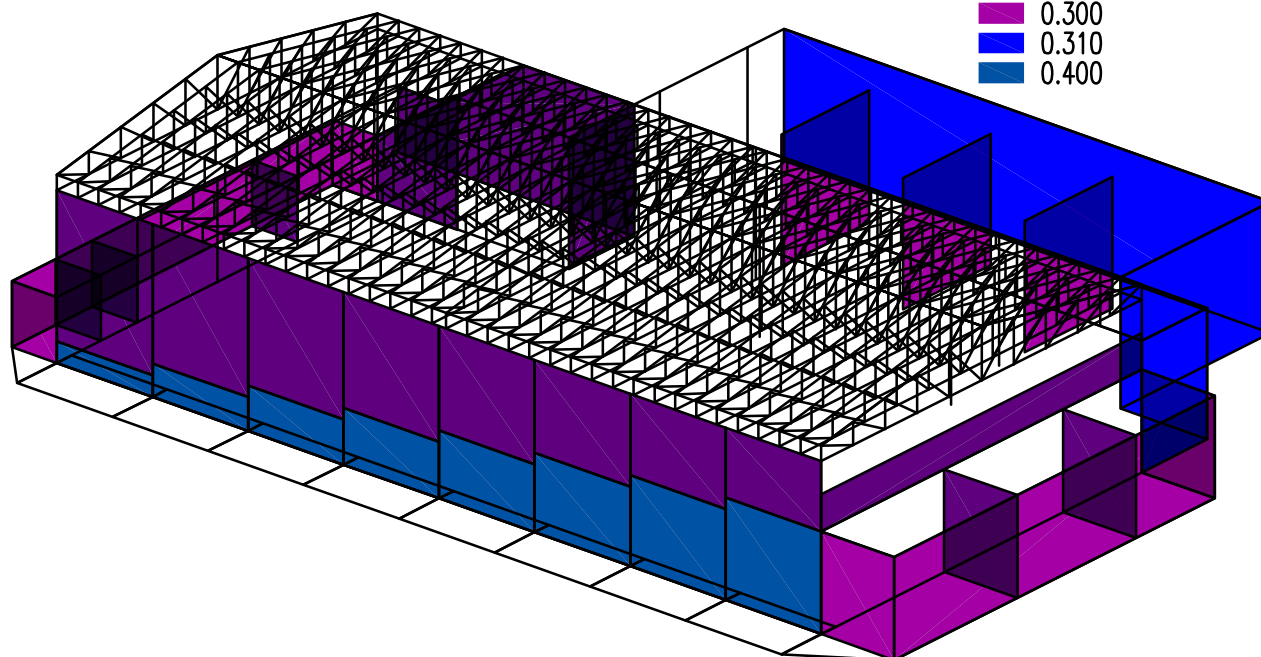
Fyzikální vlastnosti: MATERIÁL [-]

■ C25/30



Fyzikální vlastnosti: Tl [m]

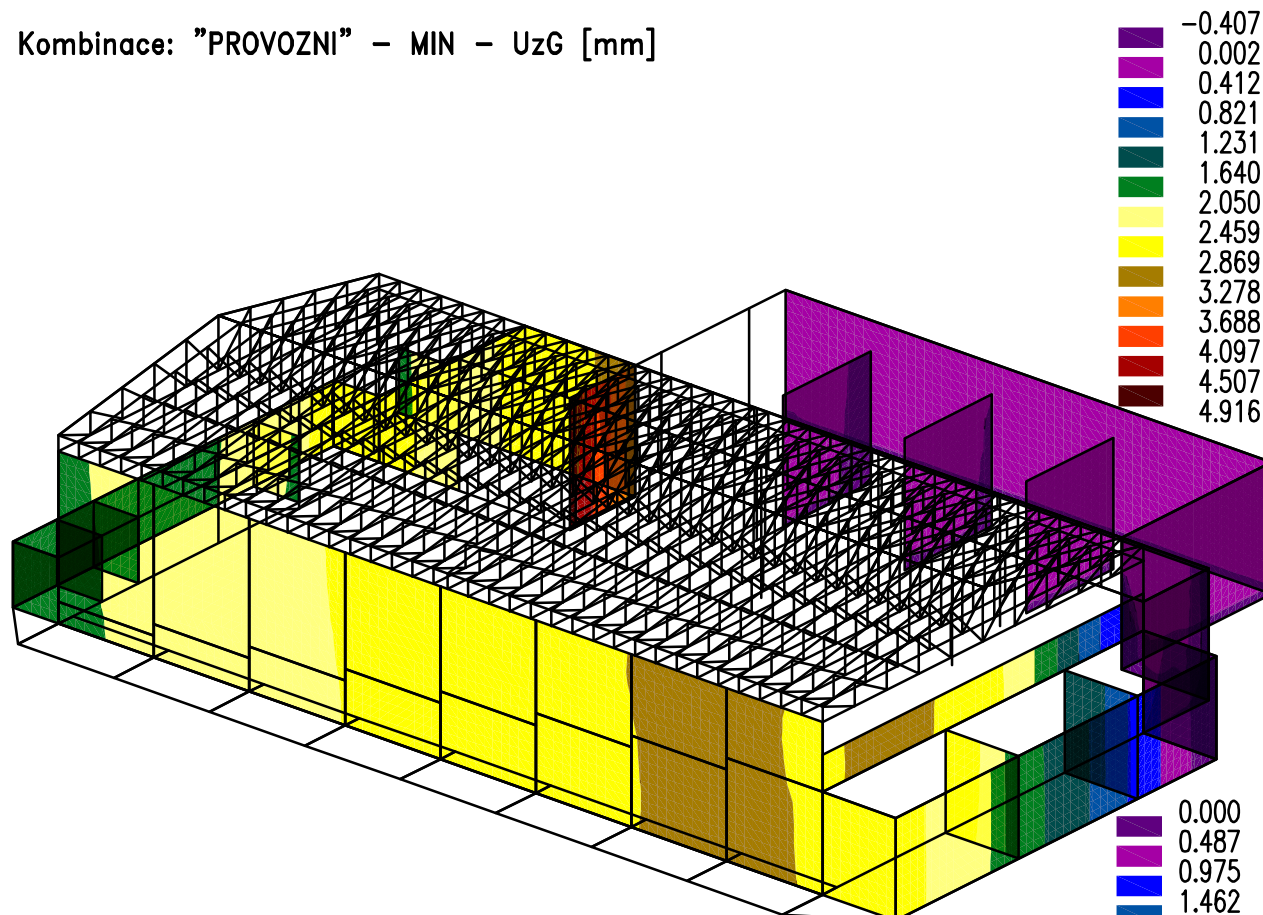
■ 0.200
■ 0.300
■ 0.310
■ 0.400



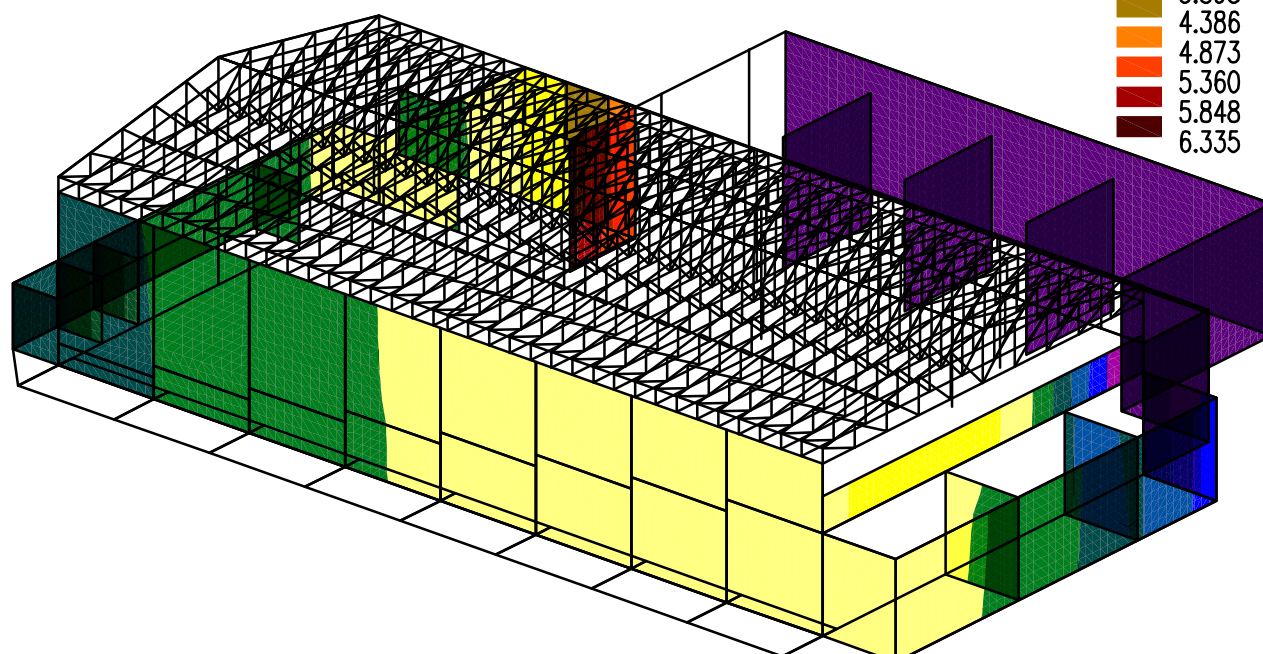
Zakázka	SPORTOVNÍ HALA U ZŠ ČERNOŠICE	Datum	20.03.14
Výpočet	ZS_CERNOSICE_1.01	Příloha	1
Konstrukce	Výstupy	Strana	24 z 43



Kombinace: "PROVOZNI" – MIN – UzG [mm]



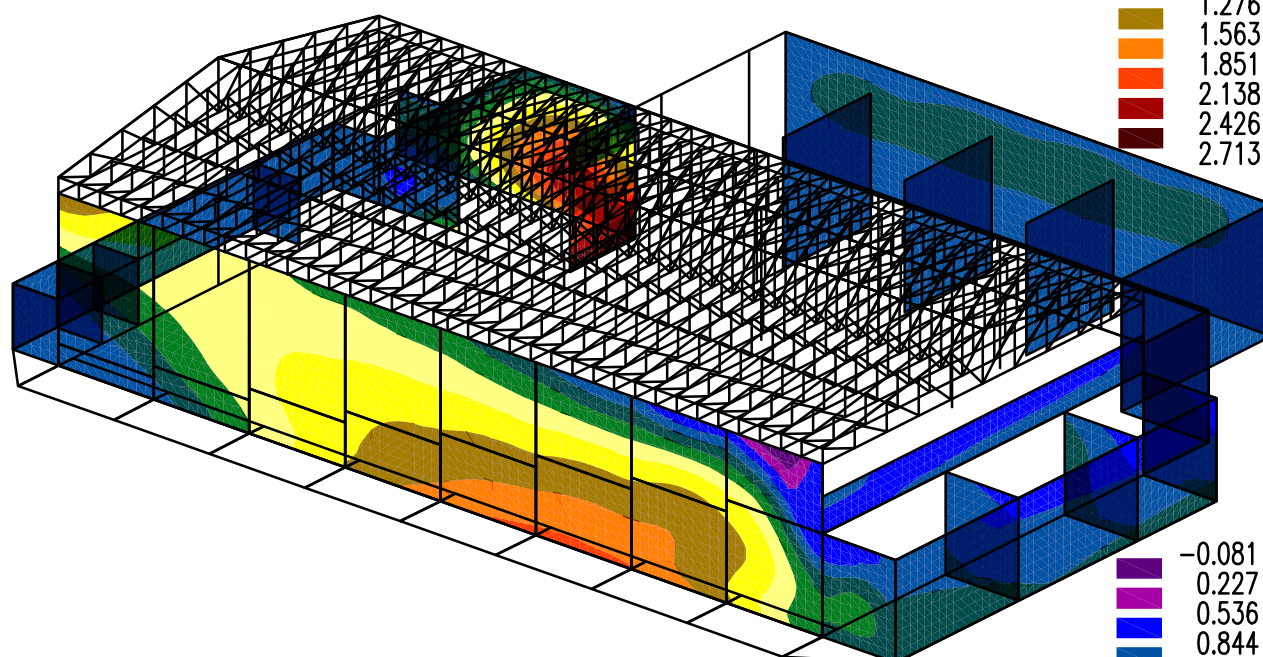
Kombinace: "PROVOZNI" – MAX – UzG [mm]



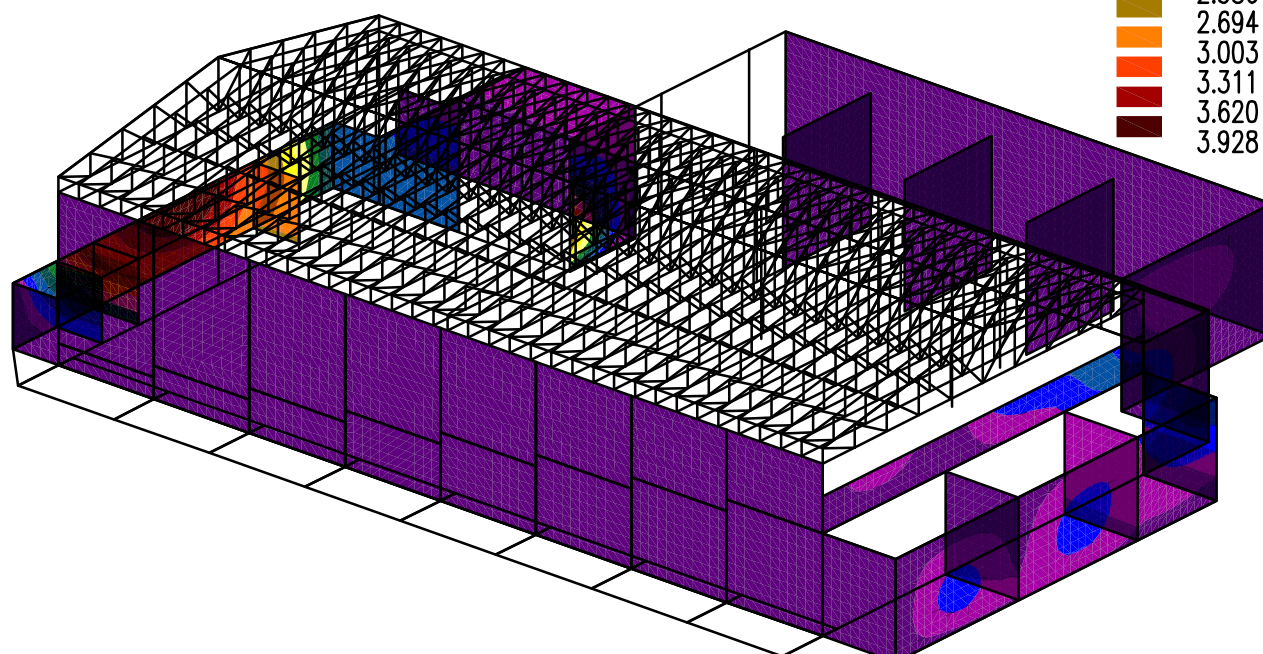
Zakázka	SPORTOVNÍ HALA U ZŠ ČERNOŠICE	Datum	20.03.14
Výpočet	ZS_CERNOSICE_1.01	Příloha	1
Konstrukce	Výstupy	Strana	25 z 43



Kombinace: "PROVOZNI" – MAX – UxG [mm]



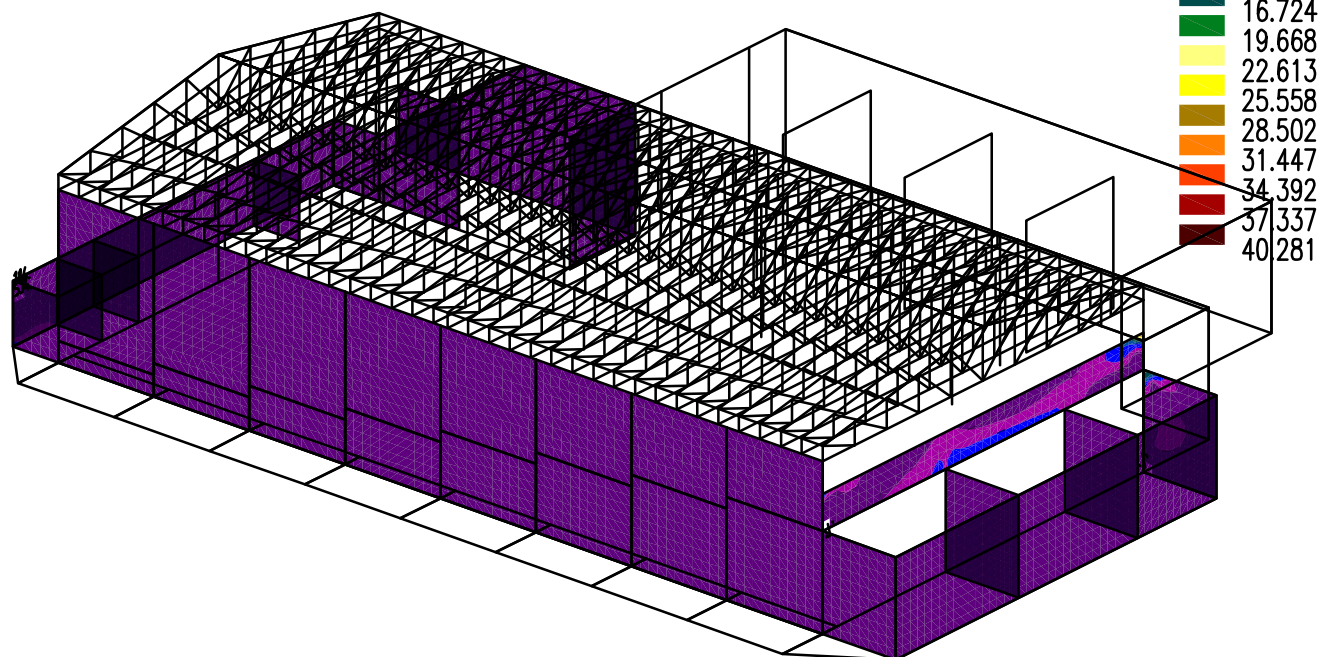
Kombinace: "PROVOZNI" – MAX – UyG [mm]



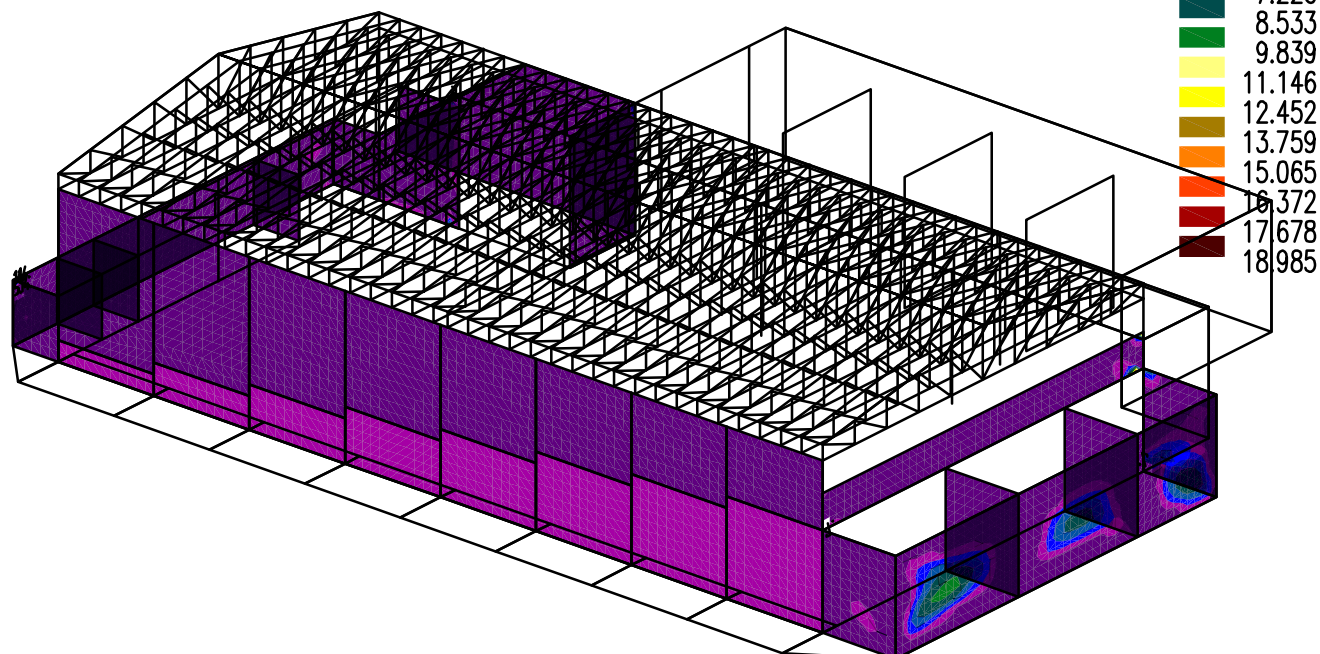
Zakázka	SPORTOVNÍ HALA U ZŠ ČERNOŠICE	Datum	20.03.14
Výpočet	ZS_CERNOSICE_1.01	Příloha	1
Konstrukce	Výstupy	Strana	26 z 43



Kombinace: "DESIGNED" – Horní vnější [cm²]



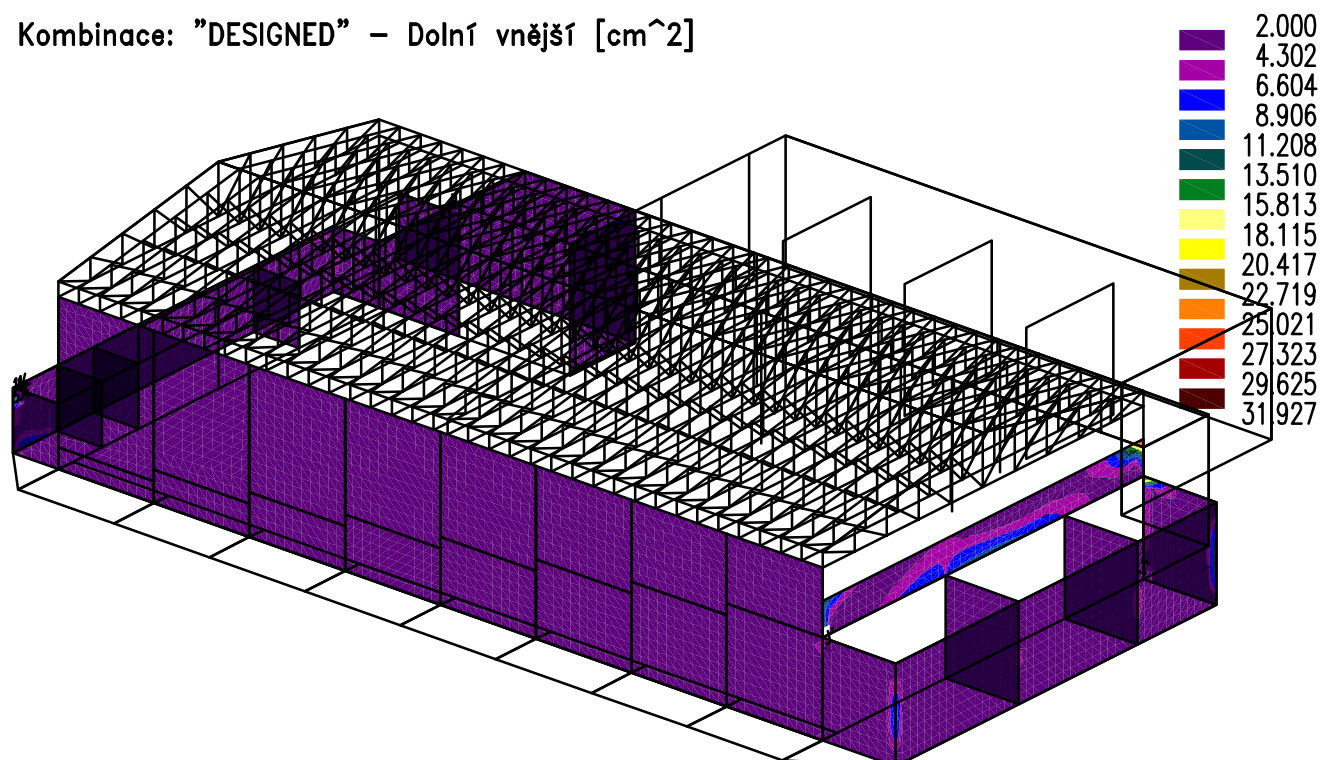
Kombinace: "DESIGNED" – Horní střední [cm²]



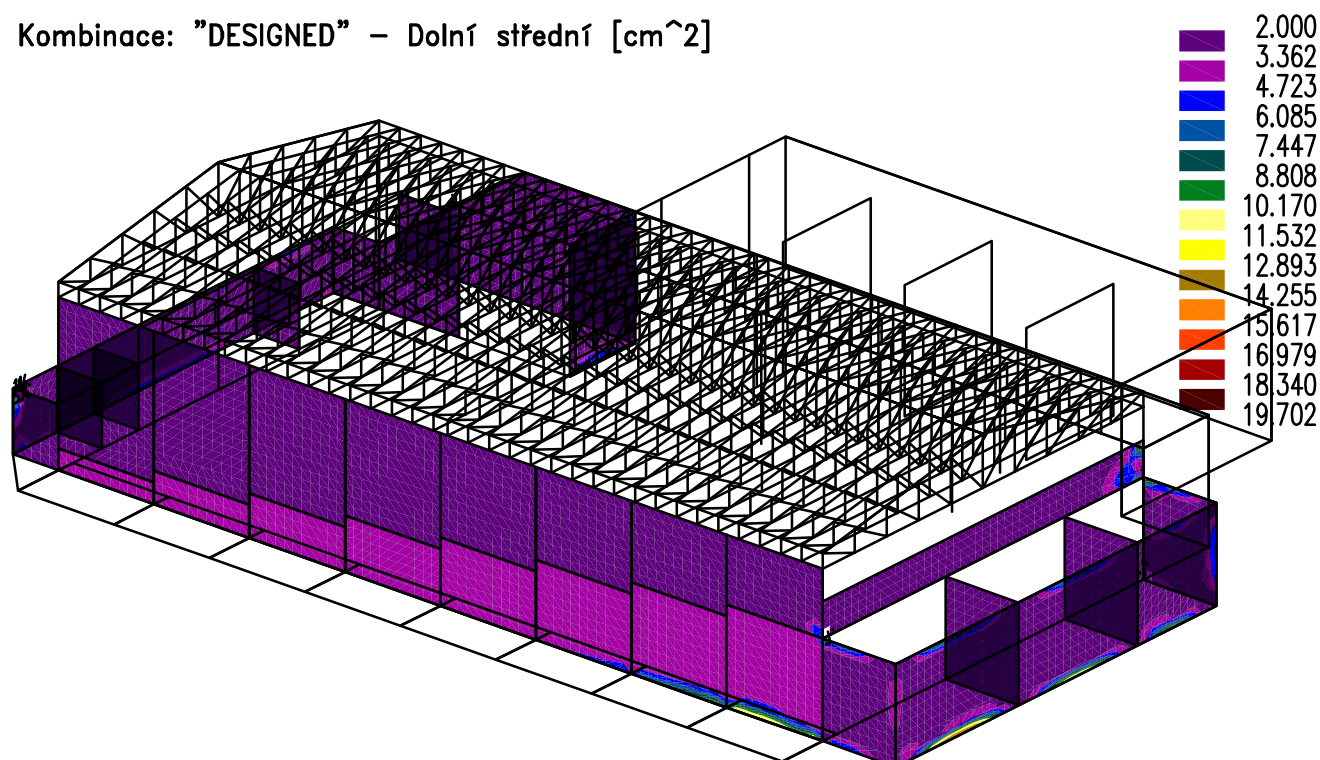
Zakázka	SPORTOVNÍ HALA U ZŠ ČERNOŠICE	Datum	20.03.14
Výpočet	ZS_CERNOSICE_1.01	Příloha	1
Konstrukce	Výstupy	Strana	27 z 43



Kombinace: "DESIGNED" – Dolní vnější [cm²]



Kombinace: "DESIGNED" – Dolní střední [cm²]

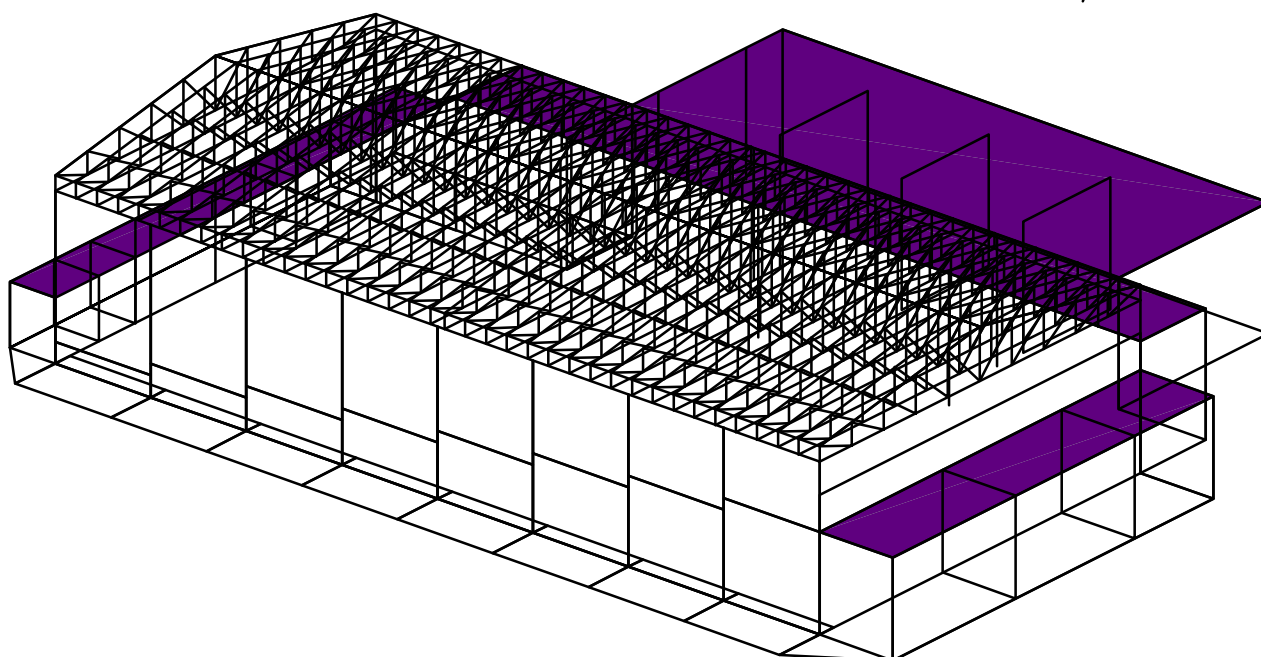


Zakázka	SPORTOVNÍ HALA U ZŠ ČERNOŠICE	Datum	20.03.14
Výpočet	ZS_CERNOSICE_1.01	Příloha	1
Konstrukce	Vstupy	Strana	28 z 43



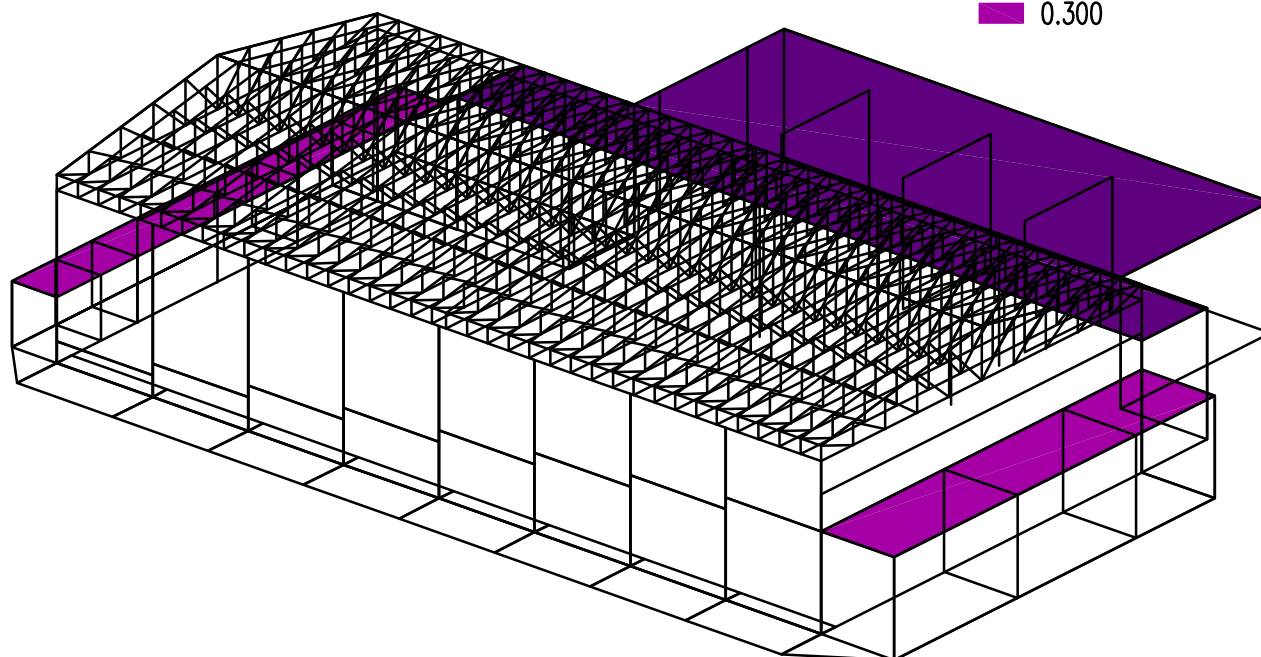
Fyzikální vlastnosti: MATERIÁL [-]

■ C25/30



Fyzikální vlastnosti: Tl [m]

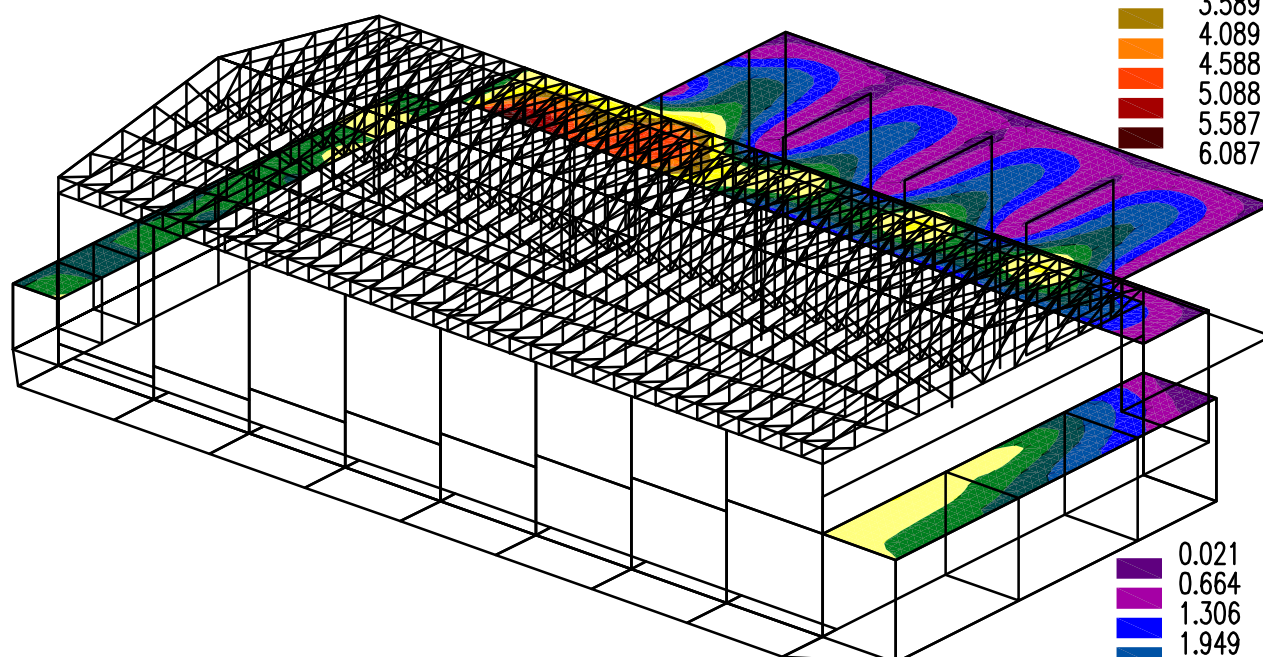
■ 0.200
■ 0.300



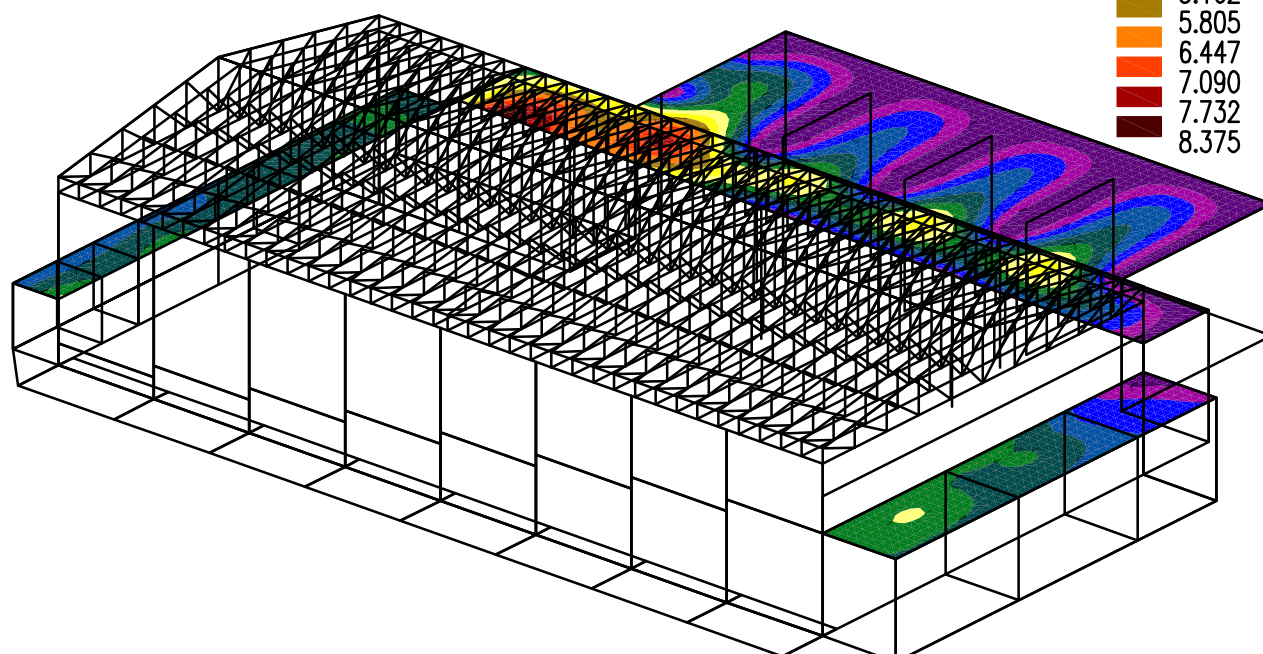
Zakázka	SPORTOVNÍ HALA U ZŠ ČERNOŠICE	Datum	20.03.14
Výpočet	ZS_CERNOSICE_1.01	Příloha	1
Konstrukce	Výstupy	Strana	29 z 43



Kombinace: "PROVOZNI" – MIN – UzG [mm]



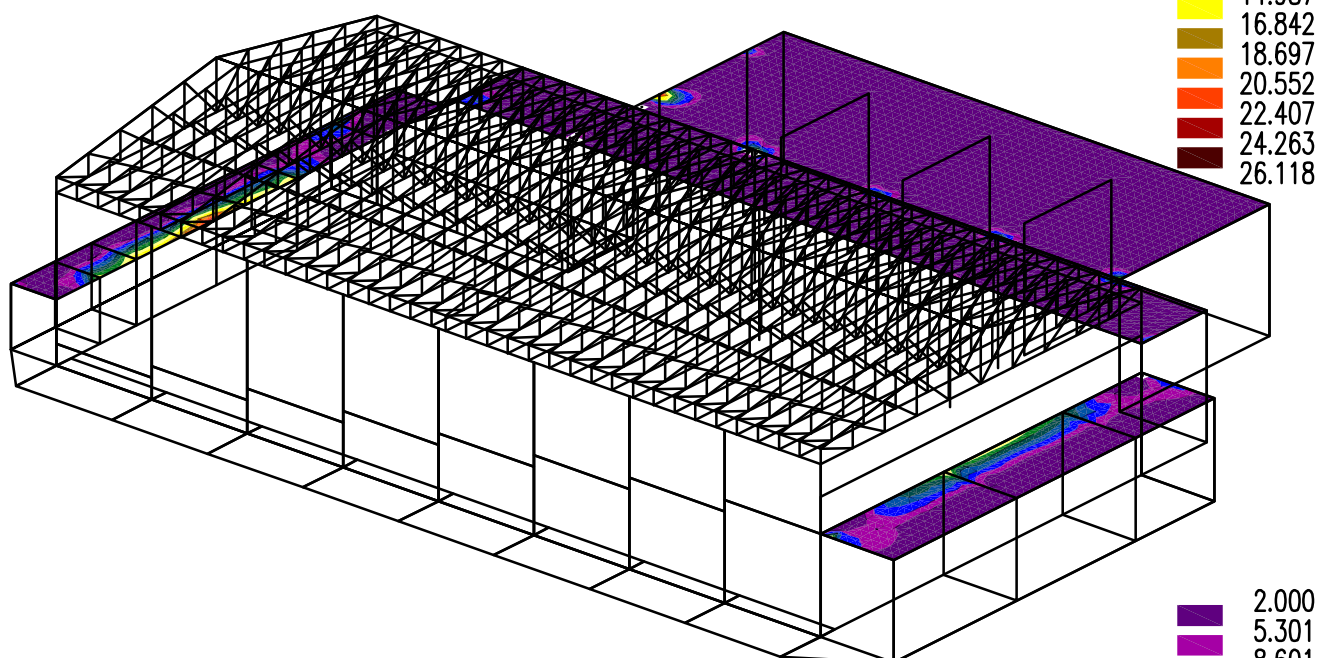
Kombinace: "PROVOZNI" – MAX – UzG [mm]



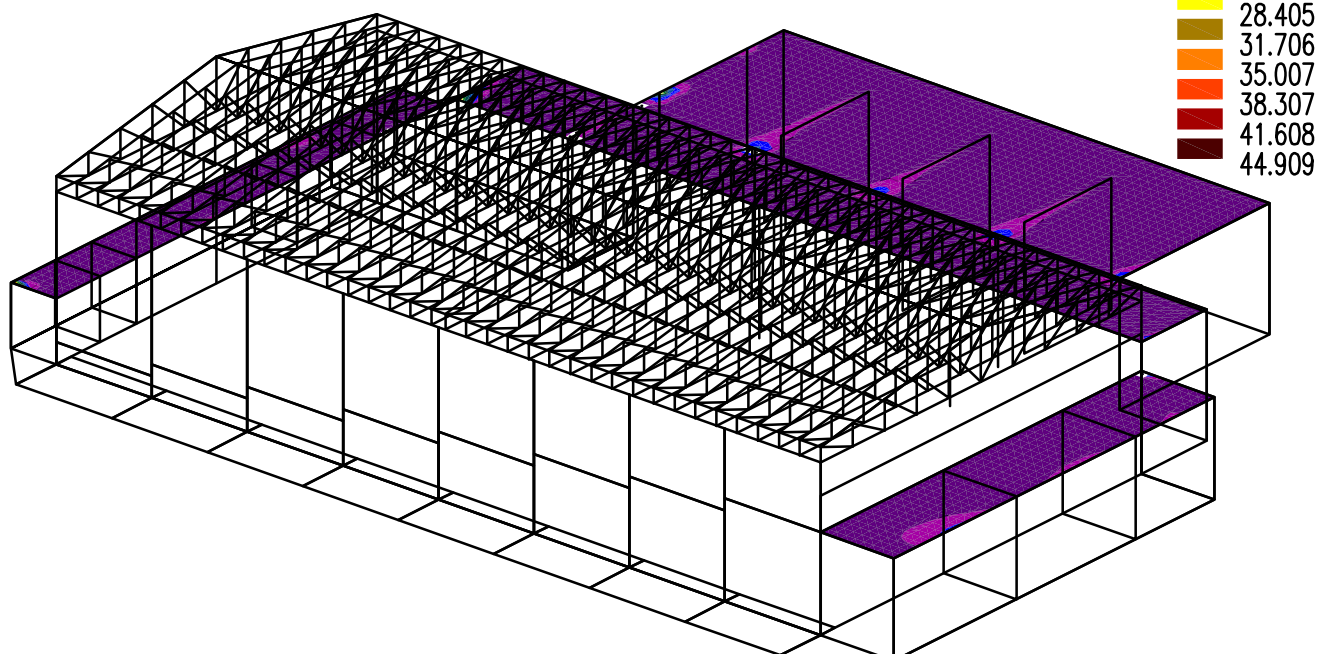
Zakázka	SPORTOVNÍ HALA U ZŠ ČERNOŠICE	Datum	20.03.14
Výpočet	ZS_CERNOSICE_1.01	Příloha	1
Konstrukce	Výstupy	Strana	30 z 43



Kombinace: "DESIGNED" – Horní vnější [cm²]



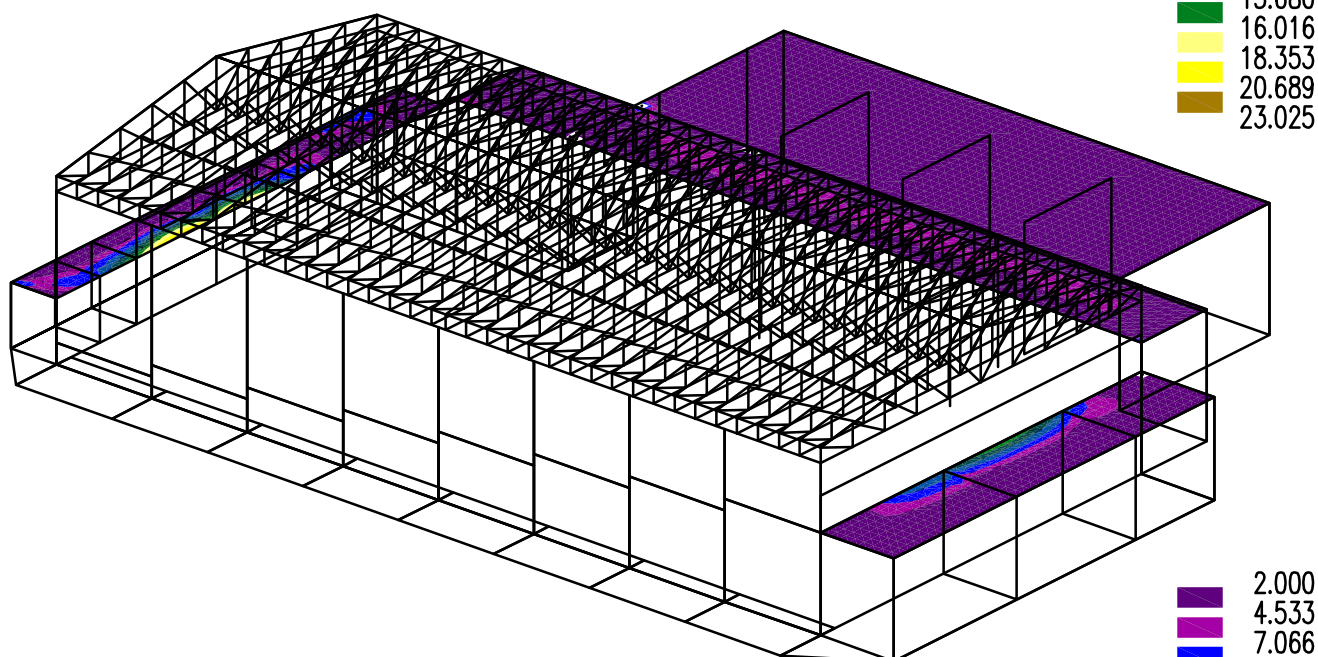
Kombinace: "DESIGNED" – Horní střední [cm²]



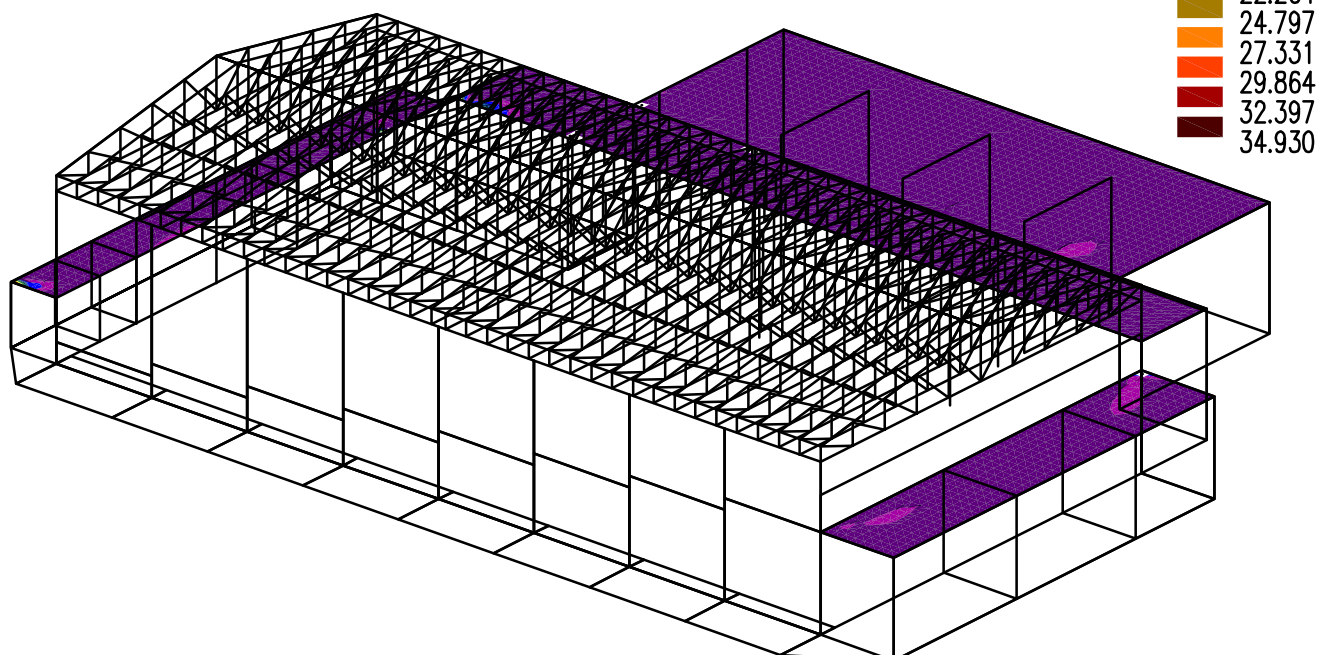
Zakázka	SPORTOVNÍ HALA U ZŠ ČERNOŠICE	Datum	20.03.14
Výpočet	ZS_CERNOSICE_1.01	Příloha	1
Konstrukce	Výstupy	Strana	31 z 43



Kombinace: "DESIGNED" – Dolní vnější [cm²]



Kombinace: "DESIGNED" – Dolní střední [cm²]

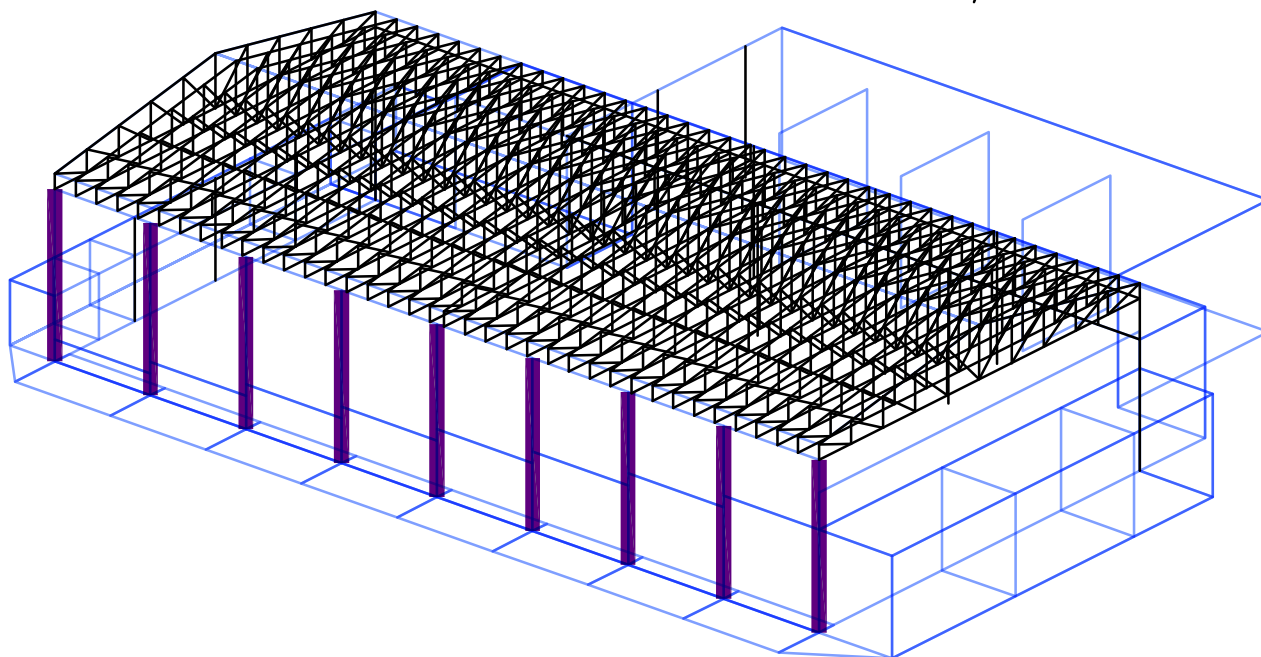


Zakázka	SPORTOVNÍ HALA U ZŠ ČERNOŠICE	Datum	20.03.14
Výpočet	ZS_CERNOSICE_1.01	Příloha	1
Konstrukce	Výstupy	Strana	32 z 43



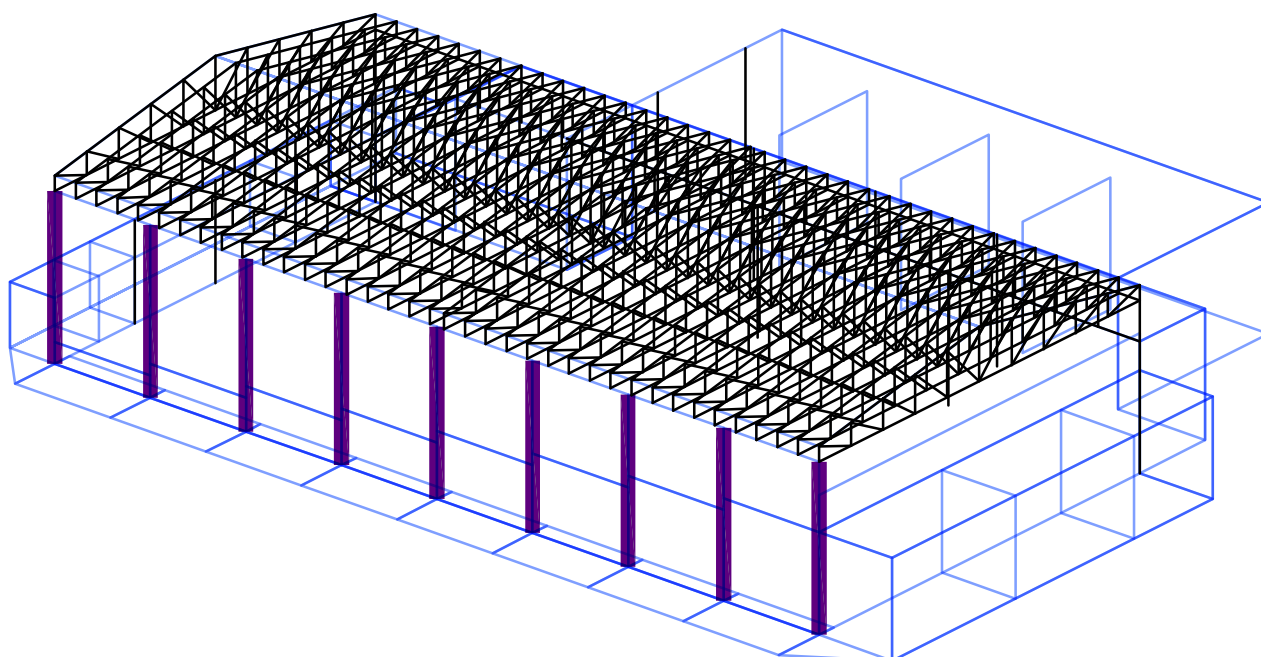
Fyzikální vlastnosti: MATERIÁL [-]

■ C30/37



Fyzikální vlastnosti: PRŮŘEZ [-]

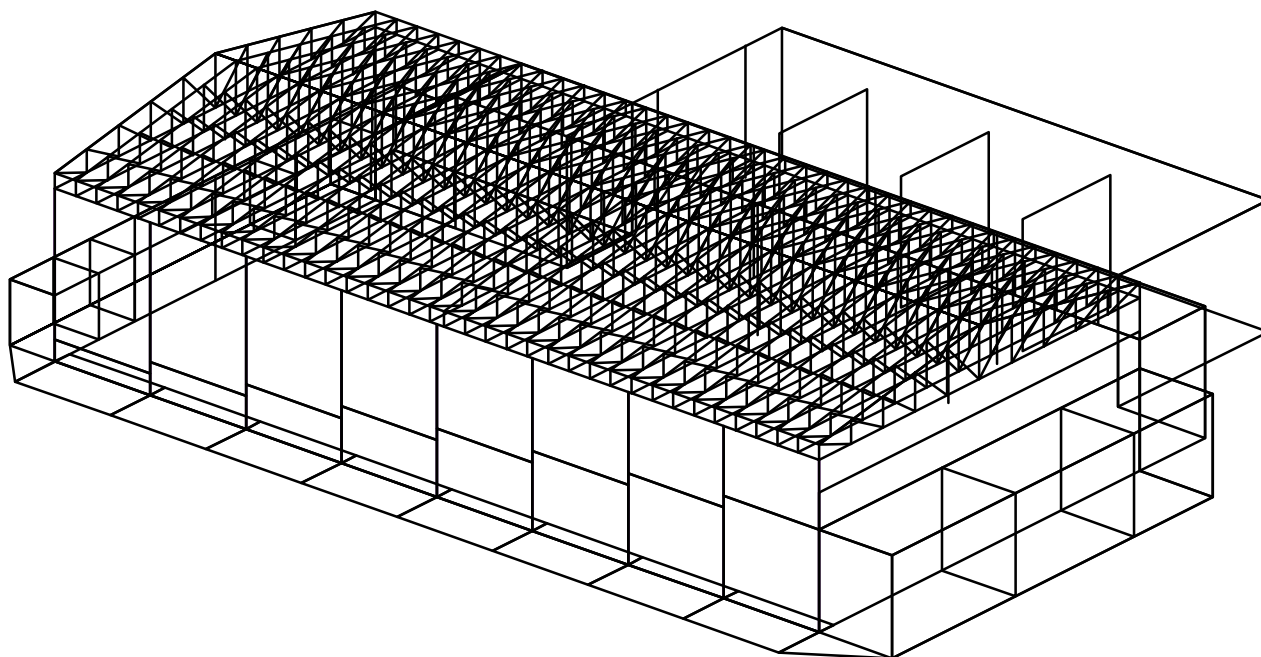
■ OBDELNIK V DESCE 400/700/300 [600;600]



Zakázka	SPORTOVNÍ HALA U ZŠ ČERNOŠICE	Datum	20.03.14
Výpočet	ZS_CERNOSICE_1.01	Příloha	1
Konstrukce	Výstupy	Strana	33 z 43



Fyzikální vlastnosti: Interakční diagram [-]

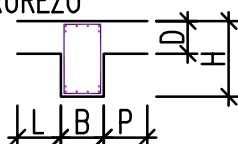


OBDELNIK V DESCE
 Rozměry: $B=0.4$, $H=0.7$, $D=0.3$, $L=0.4$, $P=0.4$ [m]
 Beton: C30/37, Norma: ČSN EN 1992-1-1:2006
 Ocel: podélná: 10_505(R), příčná: 10_505(R)
 Krytí: podélná: 0.035, příčná: 0.025 [m]
 Procento vyztužení: 0.88 [%]

SCHEMA PRŮŘEZU

ØR10

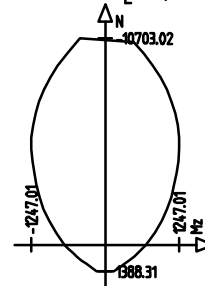
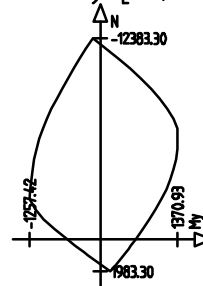
ØR22



INTERAKČNÍ DIAGRAMY

$N \times My$ [kN; kN/m]

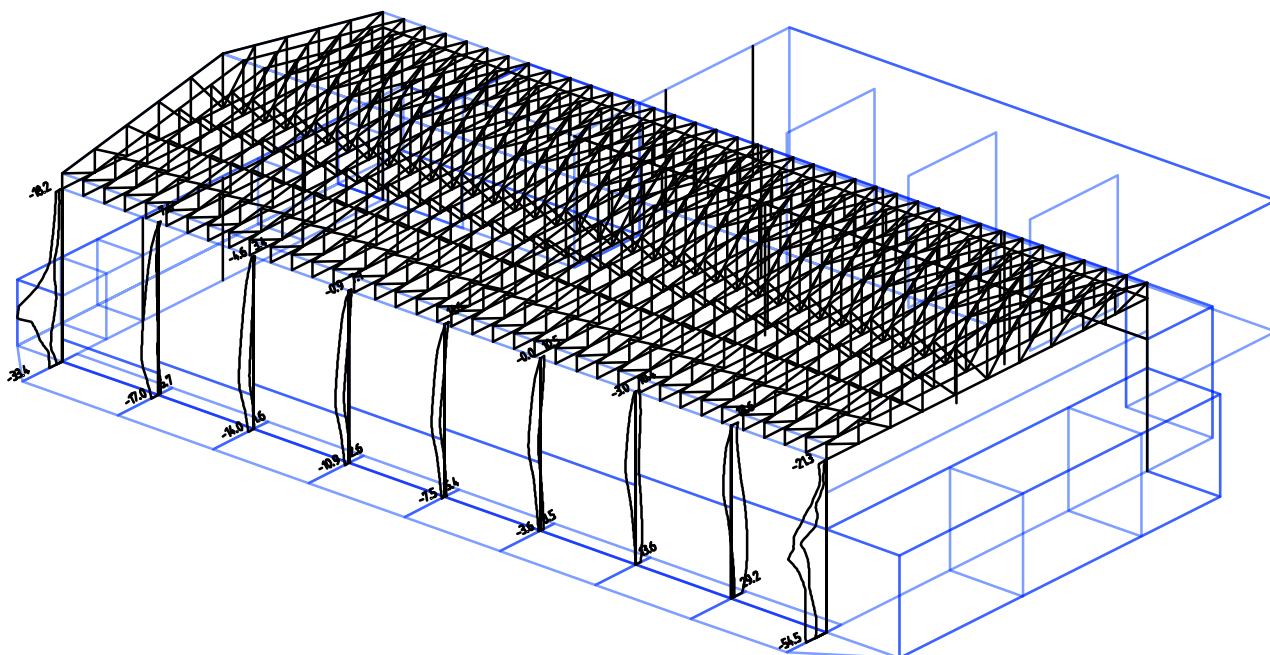
$N \times Mz$ [kN; kN/m]



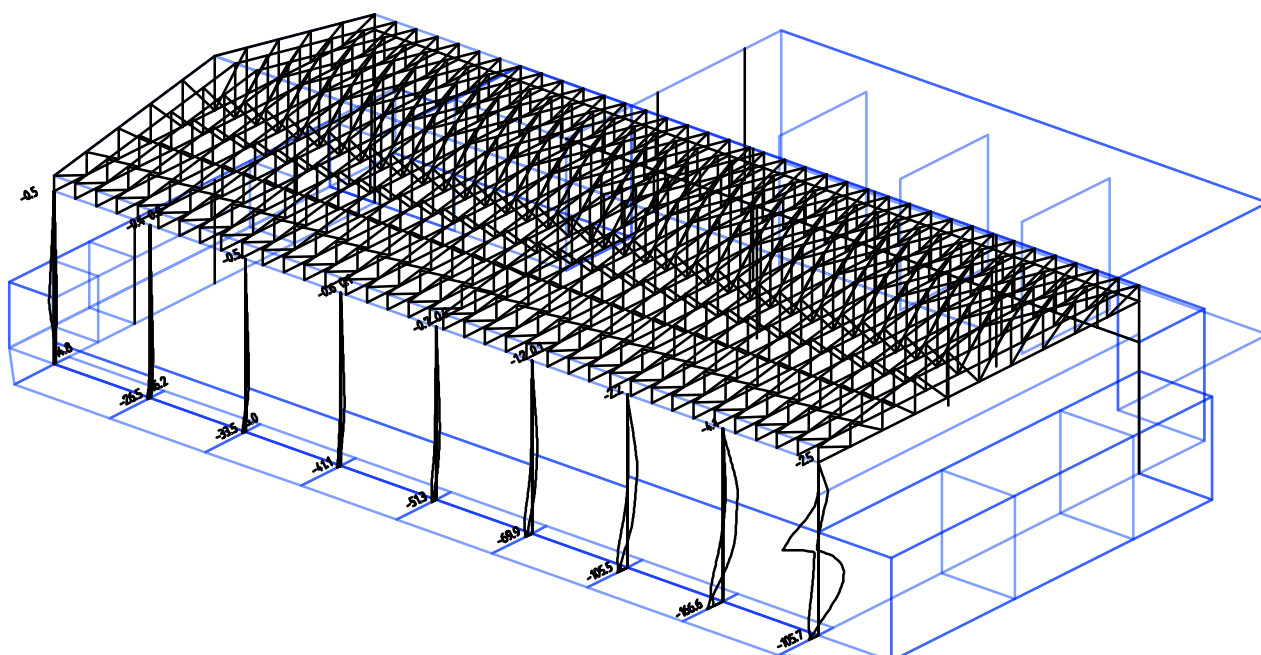
Zakázka	SPORTOVNÍ HALA U ZŠ ČERNOŠICE	Datum	20.03.14
Výpočet	ZS_CERNOSICE_1.01	Příloha	1
Konstrukce	Výstupy	Strana	34 z 43



Kombinace: "DESIGNED" – MIN & MAX N_x [kN]
 N_x Min: -118.4, Max: 41.9



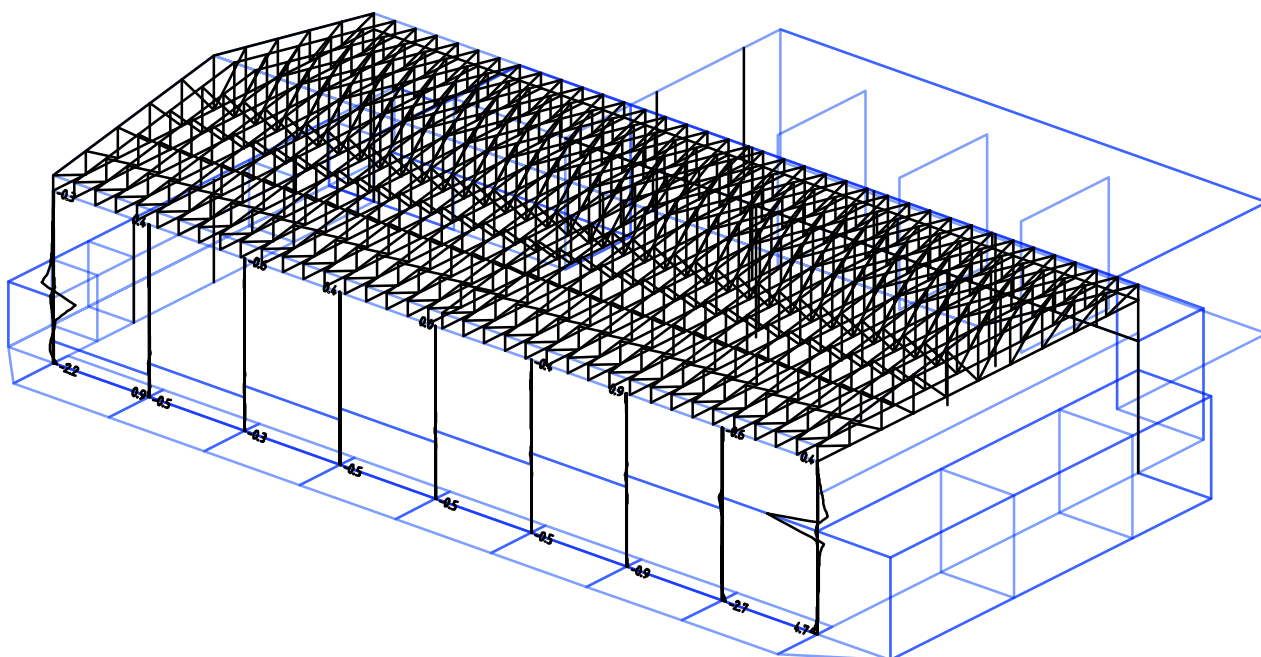
Kombinace: "DESIGNED" – MIN & MAX M_y [kNm]
 M_y Min: -377.5, Max: 266.2



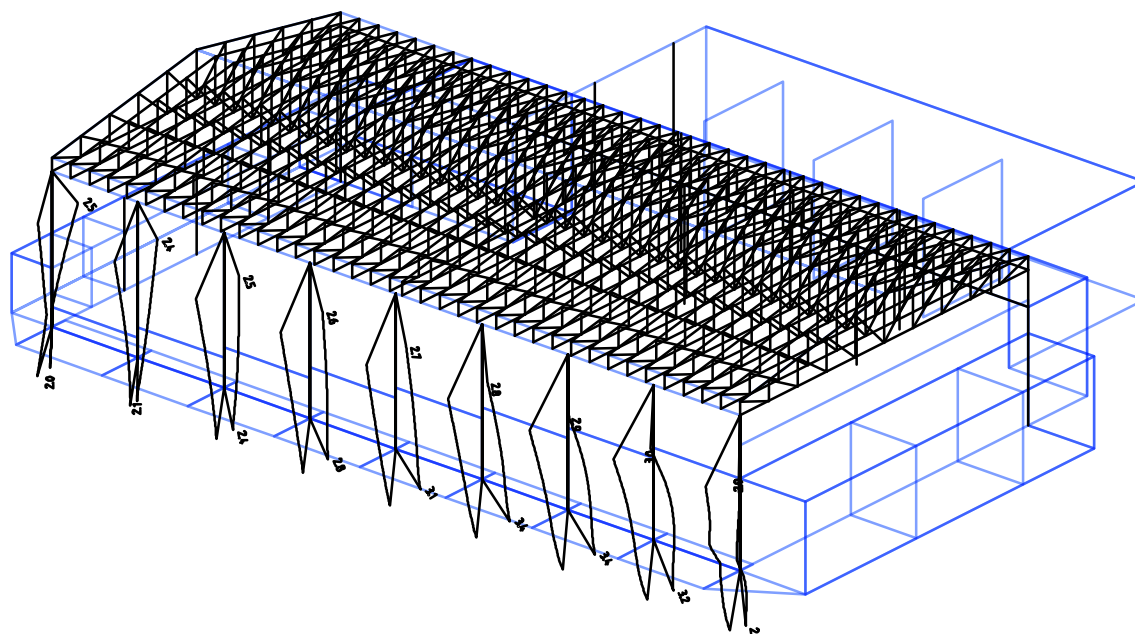
Zakázka	SPORTOVNÍ HALA U ZŠ ČERNOŠICE	Datum	20.03.14
Výpočet	ZS_CERNOSICE_1.01	Příloha	1
Konstrukce	Výstupy	Strana	35 z 43



Kombinace: "DESIGNED" – MIN & MAX M_z [kNm]
 M_z Min: -14.4, Max: 33.1



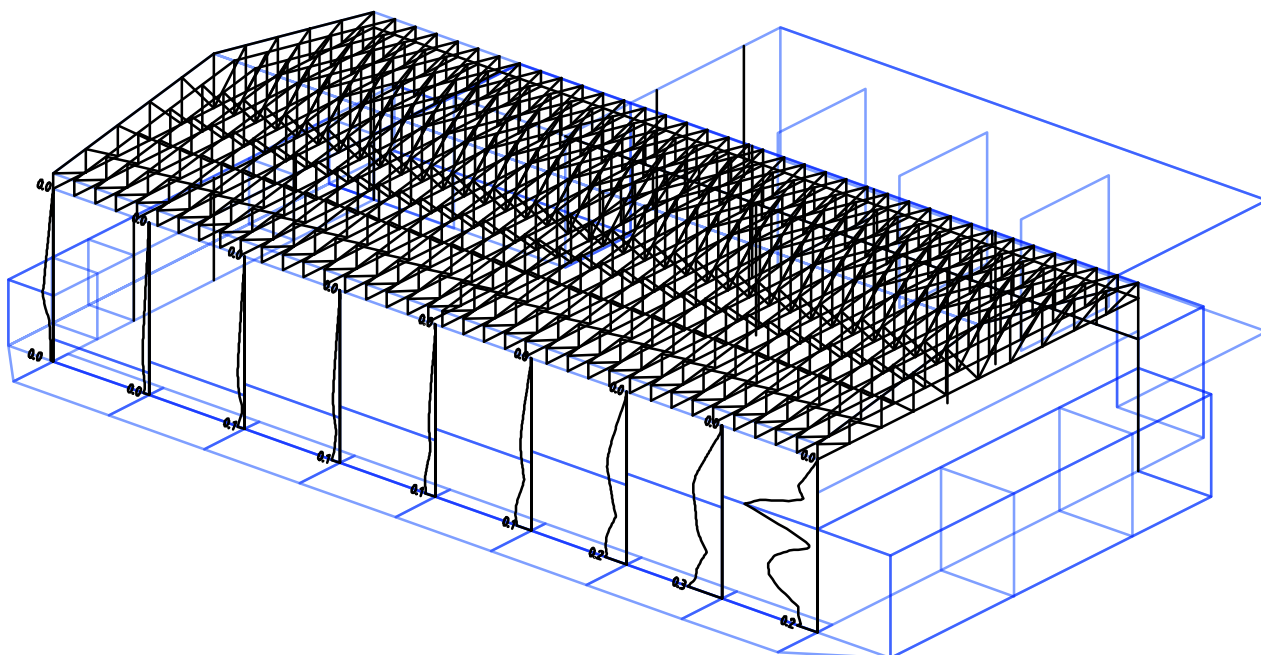
Kombinace: "PROVOZNI" – MIN & MAX U_{GlobL} [mm]
 U_{GlobL} Min: 2.0, Max: 3.8



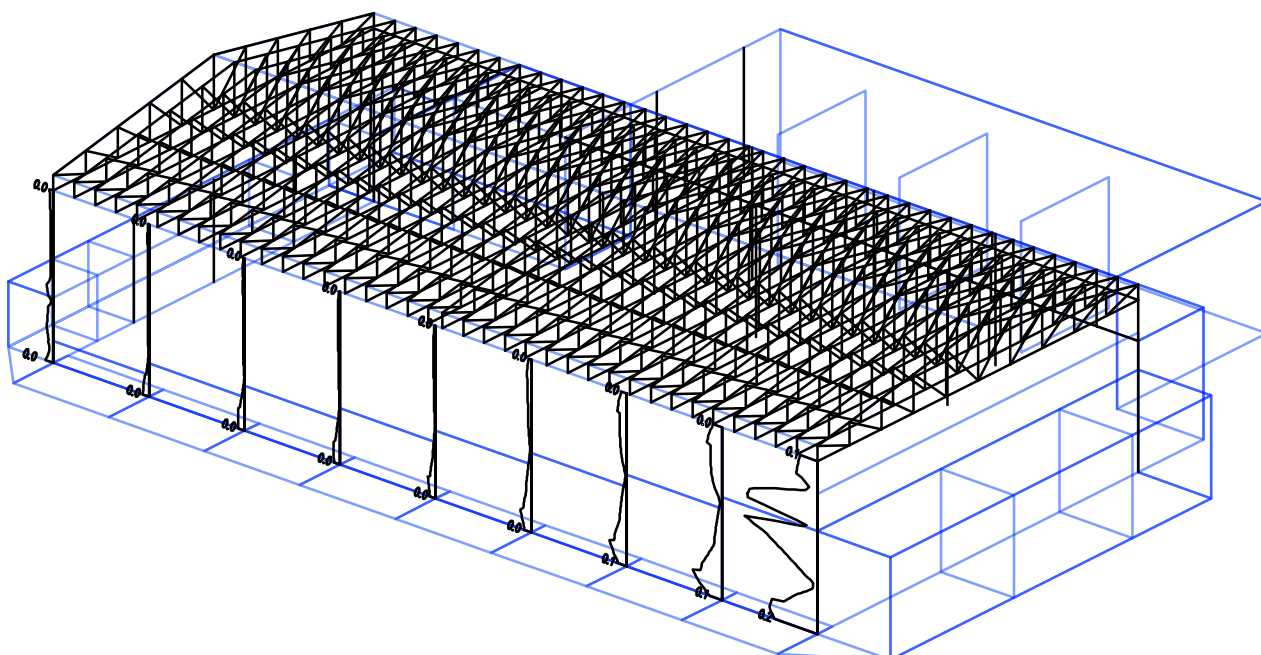
Zakázka	SPORTOVNÍ HALA U ZŠ ČERNOŠICE	Datum	20.03.14
Výpočet	ZS_CERNOSICE_1.01	Příloha	1
Konstrukce	Výstupy	Strana	36 z 43



Kombinace: "DESIGNED" – MIN & MAX Ohybový posudek [–]
Ohybový posudek Min: 0.0, Max: 0.6



Kombinace: "DESIGNED" – MIN & MAX Smykový posudek [–]
Smykový posudek Min: 0.0, Max: 0.4



Zakázka	SPORTOVNÍ HALA U ZŠ ČERNOŠICE	Datum	20.03.14
Výpočet	ZS_CERNOSICE_1.01	Příloha	1
Konstrukce	Výstupy - opěrná zeď	Strana	37 z 43



Výpočet úhlové zdi

Vstupní data

Projekt

Datum : 14.3.2014

Nastavení

Česká republika - EN 1997, předběžný návrh

Materiály a normy

Betonové konstrukce : EN 1992-1-1 (EC2)

Součinitele EC2 : standardní

Výpočet zdi

Výpočet aktivního tlaku : Coulomb (ČSN 730037)

Výpočet pasivního tlaku : Caquot-Kerisel (ČSN 730037)

Výpočet zemětřesení : Mononobe-Okabe

Tvar zemního klínu : počítat šikmý

Výstupek základu : výstupek uvažovat jako šikmou základovou spáru

Metodika posouzení : výpočet podle EN1997

Návrhový přístup : 1 - redukce zatížení a materiálu

Součinitele redukce zatížení (F)					
Trvalá návrhová situace					
		Kombinace 1		Kombinace 2	
		Nepříznivé	Příznivé	Nepříznivé	Příznivé
Stálé zatížení :	$\gamma_G =$	1,35 [-]	1,00 [-]	1,00 [-]	1,00 [-]
Proměnné zatížení :	$\gamma_Q =$	1,50 [-]	0,00 [-]	1,30 [-]	0,00 [-]
Zatížení vodou :	$\gamma_w =$	1,35 [-]		1,00 [-]	

Součinitele redukce materiálu (M)			
Trvalá návrhová situace			
		Kombinace 1	Kombinace 2
Součinitel redukce úhlu vnitřního tření :	$\gamma_\phi =$	1,00 [-]	1,25 [-]
Součinitel redukce efektivní soudržnosti :	$\gamma_c =$	1,00 [-]	1,25 [-]
Součinitel redukce neodv. smykové pevnosti :	$\gamma_{cu} =$	1,00 [-]	1,40 [-]
Součinitel redukce Poissonova čísla :	$\gamma_\nu =$	1,00 [-]	1,00 [-]

Kombinační součinitele pro proměnná zatížení			
Trvalá návrhová situace			
Součinitel kombinační hodnoty :	$\psi_0 =$	0,70 [-]	
Součinitel časté hodnoty :	$\psi_1 =$	0,50 [-]	
Součinitel kvazistálé hodnoty :	$\psi_2 =$	0,30 [-]	

Materiál konstrukce

Objemová tíha $\gamma = 23,00 \text{ kN/m}^3$

Výpočet betonových konstrukcí proveden podle normy EN 1992-1-1 (EC2).

Beton : C 20/25

Válcová pevnost v tlaku

$f_{ck} = 20,00 \text{ MPa}$

Pevnost v tahu

$f_{ctm} = 2,20 \text{ MPa}$

Ocel podélná : B500

Mez kluzu

$f_{yk} = 500,00 \text{ MPa}$

Zakázka	SPORTOVNÍ HALA U ZŠ ČERNOŠICE	Datum	20.03.14
Výpočet	ZS_CERNOSICE_1.01	Příloha	1
Konstrukce	Výstupy - opěrná zeď	Strana	38 z 43



Geometrie konstrukce

Číslo	Pořadnice X [m]	Hloubka Z [m]
1	0,00	0,00
2	0,00	4,70
3	1,50	4,70
4	1,50	5,00
5	-1,10	5,00
6	-1,10	4,70
7	-0,30	4,70
8	-0,30	0,00

Počátek [0,0] je v nejhořejším pravém bodu zdi.
Plocha řezu zdi = 2,19 m².

Základní parametry zemín

Číslo	Název	Vzorek	φ_{ef} [°]	c_{ef} [kPa]	γ [kN/m ³]	γ_{su} [kN/m ³]	δ [°]
1	F5 ML		24,50	14,00	18,50	10,00	5,00
2	F4 CS		24,50	22,00	18,50	10,00	7,00
3	S5 SC		28,00	10,00	18,50	10,00	5,00
4	F5 MI		21,00	30,00	20,00	10,00	7,00
5	Třída S3, ulehlá		31,50	0,00	17,50	10,00	15,00

Parametry zemín pro výpočet tlaku v klidu

Číslo	Název	Vzorek	Typ výpočtu	φ [°]	ν [-]	OCR [-]	K_r [-]
1	F5 ML		soudržná	-	0,35	-	-
2	F4 CS		soudržná	-	0,35	-	-
3	S5 SC		nesoudržná	28,00	-	-	-
4	F5 MI		nesoudržná	21,00	-	-	-
5	Třída S3, ulehlá		soudržná	-	0,30	-	-

Parametry zemín

F5 ML

Objemová tíha : $\gamma = 18,50 \text{ kN/m}^3$
Napjatost : **efektivní**
Úhel vnitřního tření : $\varphi_{ef} = 24,50^\circ$
Soudržnost zeminy : $c_{ef} = 14,00 \text{ kPa}$
Třecí úhel ke-zemina : $\delta = 5,00^\circ$
Zemina : **soudržná**

Zakázka	SPORTOVNÍ HALA U ZŠ ČERNOŠICE	Datum	20.03.14
Výpočet	ZS_CERNOSICE_1.01	Příloha	1
Konstrukce	Výstupy - opěrná zeď	Strana	39 z 43



Poissonovo číslo : $\nu = 0,35$
Obj.tíha sat.zeminy : $\gamma_{\text{sat}} = 20,00 \text{ kN/m}^3$

F4 CS

Objemová tíha : $\gamma = 18,50 \text{ kN/m}^3$
Napjatost : efektivní
Úhel vnitřního tření : $\varphi_{\text{ef}} = 24,50^\circ$
Soudržnost zeminy : $c_{\text{ef}} = 22,00 \text{ kPa}$
Třecí úhel kce-zemina : $\delta = 7,00^\circ$
Zemina : soudržná
Poissonovo číslo : $\nu = 0,35$
Obj.tíha sat.zeminy : $\gamma_{\text{sat}} = 20,00 \text{ kN/m}^3$

S5 SC

Objemová tíha : $\gamma = 18,50 \text{ kN/m}^3$
Napjatost : efektivní
Úhel vnitřního tření : $\varphi_{\text{ef}} = 28,00^\circ$
Soudržnost zeminy : $c_{\text{ef}} = 10,00 \text{ kPa}$
Třecí úhel kce-zemina : $\delta = 5,00^\circ$
Zemina : nesoudržná
Obj.tíha sat.zeminy : $\gamma_{\text{sat}} = 20,00 \text{ kN/m}^3$

F5 MI

Objemová tíha : $\gamma = 20,00 \text{ kN/m}^3$
Napjatost : efektivní
Úhel vnitřního tření : $\varphi_{\text{ef}} = 21,00^\circ$
Soudržnost zeminy : $c_{\text{ef}} = 30,00 \text{ kPa}$
Třecí úhel kce-zemina : $\delta = 7,00^\circ$
Zemina : nesoudržná
Obj.tíha sat.zeminy : $\gamma_{\text{sat}} = 20,00 \text{ kN/m}^3$

Třída S3, ulehlá

Objemová tíha : $\gamma = 17,50 \text{ kN/m}^3$
Napjatost : efektivní
Úhel vnitřního tření : $\varphi_{\text{ef}} = 31,50^\circ$
Soudržnost zeminy : $c_{\text{ef}} = 0,00 \text{ kPa}$
Třecí úhel kce-zemina : $\delta = 15,00^\circ$
Zemina : soudržná
Poissonovo číslo : $\nu = 0,30$
Obj.tíha sat.zeminy : $\gamma_{\text{sat}} = 20,00 \text{ kN/m}^3$

Geologický profil a přiřazení zemín

Číslo	Vrstva [m]	Přiřazená zemina	Vzorek
1	0,25	F5 ML	
2	0,30	F5 ML	
3	0,40	F4 CS	
4	0,50	S5 SC	

Zakázka	SPORTOVNÍ HALA U ZŠ ČERNOŠICE	Datum	20.03.14
Výpočet	ZS_CERNOSICE_1.01	Příloha	1
Konstrukce	Výstupy - opěrná zeď	Strana	40 z 43



Číslo	Vrstva [m]	Přiřazená zemina	Vzorek
5	0,60	F4 CS	
6	0,30	F4 CS	
7	0,70	F5 MI	
8	1,30	F4 CS	
9	1,90	F4 CS	
10	0,70	F4 CS	
11	1,00	Třída S3, ulehlá	
12	-	Třída S3, ulehlá	

Tvar terénu

Terén za konstrukcí je rovný.

Vliv vody

Hladina podzemní vody za konstrukcí je v hloubce 4,60 m
Vztlak v základové spáře od rozdílných tlaků není uvažován.

Odpor na líci konstrukce

Odpor na líci konstrukce není uvažován.

Nastavení výpočtu fáze

Návrhová situace : trvalá
Zeď se může přemístit, je počítána na zatížení aktivním tlakem.

Posouzení čís. 1

Výpočet aktivního tlaku za konstrukcí - mezivýsledky

Vrst. čís.	Mocnost [m]	α [°]	φ_d [°]	c_d [kPa]	γ [kN/m ³]	δ_d [°]	K_a	Pozn.
1	0,25	0,00	24,50	14,00	18,50	5,00	0,394	
2	0,30	0,00	24,50	14,00	18,50	5,00	0,394	
3	0,40	0,00	24,50	22,00	18,50	7,00	0,388	
4	0,50	0,00	28,00	10,00	18,50	5,00	0,345	
5	0,60	0,00	24,50	22,00	18,50	7,00	0,388	
6	0,30	0,00	24,50	22,00	18,50	7,00	0,388	
7	0,06	0,00	21,00	30,00	20,00	7,00	0,441	
8	0,64	33,28	21,00	30,00	20,00	21,00	0,809	
9	1,30	33,28	24,50	22,00	18,50	24,50	0,776	
10	0,25	33,28	24,50	22,00	18,50	24,50	0,776	
11	0,10	33,28	24,50	22,00	10,00	24,50	0,776	
12	0,30	0,00	24,50	22,00	10,00	7,00	0,388	

Zakázka	SPORTOVNÍ HALA U ZŠ ČERNOŠICE	Datum	20.03.14
Výpočet	ZS_CERNOSICE_1.01	Příloha	1
Konstrukce	Výstupy - opěrná zeď	Strana	41 z 43



Průběh aktivního tlaku za konstrukcí (bez přetížení)

Vrst. čís.	Poč. [m] Kon. [m]	σ_z [kPa]	σ_w [kPa]	Tlak [kPa]	Složka vod. [kPa]	Složka sv. [kPa]
1	0,00	0,00	0,00	0,00	0,00	0,00
	0,25	4,62	0,00	0,00	0,00	0,00
2	0,25	4,62	0,00	0,00	0,00	0,00
	0,55	10,18	0,00	0,00	0,00	0,00
3	0,55	10,18	0,00	0,00	0,00	0,00
	0,95	17,57	0,00	0,00	0,00	0,00
4	0,95	17,57	0,00	0,00	0,00	0,00
	1,45	26,82	0,00	0,00	0,00	0,00
5	1,45	26,82	0,00	0,00	0,00	0,00
	2,05	37,92	0,00	0,00	0,00	0,00
6	2,05	37,92	0,00	0,00	0,00	0,00
	2,35	43,48	0,00	0,00	0,00	0,00
7	2,35	43,48	0,00	0,00	0,00	0,00
	2,41	44,76	0,00	0,00	0,00	0,00
8	2,41	44,76	0,00	7,72	4,51	6,27
	3,05	57,48	0,00	18,00	10,51	14,62
9	3,05	57,48	0,00	24,48	13,05	20,71
	4,35	81,52	0,00	43,14	23,00	36,49
10	4,35	81,52	0,00	43,14	23,00	36,49
	4,60	86,15	0,00	46,73	24,92	39,53
11	4,60	86,15	0,00	46,73	24,92	39,53
	4,70	87,15	1,00	47,50	25,33	40,19
12	4,70	87,15	1,00	7,47	7,42	0,91
	5,00	90,15	4,00	8,64	8,57	1,05

Spočtené síly působící na konstrukci - kombinace 1

Název	F_{vod} [kN/m]	Působíště Z [m]	F_{svis} [kN/m]	Působíště X [m]	Koef. překl.	Koef. posun.	Koef. napětí
Tíh.- zeď	0,00	-1,76	50,37	1,07	1,000	1,000	1,350
Tíh.- zemní klín	0,00	-1,10	30,66	1,59	1,000	1,000	1,350
Aktivní tlak	39,11	-1,13	57,60	2,03	1,350	1,350	1,350
Tlak vody	0,80	-0,13	0,00	1,10	1,350	1,350	1,350
Vztlak vody	0,00	-5,00	0,00	1,10	1,000	1,000	1,000

Posouzení celé zdi

Posouzení na překlopení

Moment vzdorující $M_{vzd} = 260,66$ kNm/m

Moment klopící $M_{kl} = 59,62$ kNm/m

Zeď na překlopení VYHOVUJE

Posouzení na posunutí

Vodor. síla vzdorující $H_{vzd} = 128,07$ kN/m

Vodor. síla posunující $H_{pos} = 53,88$ kN/m

Zeď na posunutí VYHOVUJE

Celkové posouzení - ZEĎ VYHOVUJE

Zakázka	SPORTOVNÍ HALA U ZŠ ČERNOŠICE	Datum	20.03.14
Výpočet	ZS_CERNOSICE_1.01	Příloha	1
Konstrukce	Výstupy - opěrná zeď	Strana	42 z 43



Maximální napětí v základové spáře : 73,89 kPa

Spočtené síly působící na konstrukci - kombinace 2

Název	F_{vod} [kN/m]	Působíště Z [m]	F_{svis} [kN/m]	Působíště X [m]	Koef. překl.	Koef. posun.	Koef. napětí
Tíh.- zeď	0,00	-1,76	50,37	1,07	1,000	1,000	1,000
Tíh.- zemní klín	0,00	-1,10	30,66	1,59	1,000	1,000	1,000
Aktivní tlak	55,50	-1,14	66,68	2,00	1,000	1,000	1,000
Tlak vody	0,80	-0,13	0,00	1,10	1,000	1,000	1,000
Vztlak vody	0,00	-5,00	0,00	1,10	1,000	1,000	1,000

Posouzení celé zdi

Posouzení na překlopení

Moment vzdorující $M_{\text{vzd}} = 236,26 \text{ kNm/m}$

Moment klopící $M_{\text{kl}} = 63,12 \text{ kNm/m}$

Zeď na překlopení VYHOVUJE

Posouzení na posunutí

Vodor. síla vzdorující $H_{\text{vzd}} = 95,11 \text{ kN/m}$

Vodor. síla posunující $H_{\text{pos}} = 56,30 \text{ kN/m}$

Zeď na posunutí VYHOVUJE

Celkové posouzení - ZEĎ VYHOVUJE

Maximální napětí v základové spáře : 63,01 kPa

Únosnost základové půdy

Síly působící ve středu základové spáry

Číslo	Moment [kNm/m]	Norm. síla [kN/m]	Pos. síla [kN/m]	Excentricita [m]	Napětí [kPa]
1	6,27	187,16	53,88	0,03	62,71
2	5,39	158,80	53,88	0,03	73,89

Posouzení únosnosti základové půdy

Posouzení excentricity

Max. excentricita normálové síly $e = 33,9 \text{ mm}$

Maximální dovolená excentricita $e_{\text{dov}} = 858,0 \text{ mm}$

Excentricita normálové síly VYHOVUJE

Posouzení únosnosti základové spáry

Max. napětí v základové spáře $\sigma = 73,89 \text{ kPa}$

Únosnost základové půdy $R_d = 250,00 \text{ kPa}$

Únosnost základové půdy VYHOVUJE

Celkové posouzení - únosnost základové půdy VYHOVUJE

Zakázka	SPORTOVNÍ HALA U ZŠ ČERNOŠICE	Datum	20.03.14
Výpočet	ZS_CERNOSICE_1.01	Příloha	1
Konstrukce	Výstupy - opěrná zeď	Strana	43 z 43



Dimenzace čís. 1

Spočtené síly působící na konstrukci - kombinace 1

Název	F_{vod} [kN/m]	Působíště Z [m]	F_{svis} [kN/m]	Působíště X [m]	Koef. moment	Koef. norm.sila	Koef. pos.sila
Tíh.- zeď	0,00	-2,35	32,42	0,15	1,000	1,350	1,000
Tlak v klidu	114,63	-1,57	0,00	0,30	1,350	1,000	1,350
Tlak vody	0,05	-0,03	0,00	0,30	1,350	1,000	1,350
Vztlak vody	0,00	-4,70	0,00	0,30	1,000	1,000	1,000

Spočtené síly působící na konstrukci - kombinace 2

Název	F_{vod} [kN/m]	Působíště Z [m]	F_{svis} [kN/m]	Působíště X [m]	Koef. moment	Koef. norm.sila	Koef. pos.sila
Tíh.- zeď	0,00	-2,35	32,42	0,15	1,000	1,000	1,000
Tlak v klidu	117,79	-1,59	0,00	0,30	1,000	1,000	1,000
Tlak vody	0,05	-0,03	0,00	0,30	1,000	1,000	1,000
Vztlak vody	0,00	-4,70	0,00	0,30	1,000	1,000	1,000

Posouzení dílku zdi

Vyztužení a rozměry průřezu

Profil vložky = 20,0 mm

Počet vložek = 12

Krytí výztuže = 40,0 mm

Šířka průřezu = 1,00 m

Výška průřezu = 0,30 m

Stupeň vyztužení $\rho = 1,51 \% > 0,13 \% = \rho_{min}$

Poloha neutrálné osy $x = 0,15 \text{ m} < 0,15 \text{ m} = x_{max}$

Moment na mezi únosnosti $M_{Rd} = 309,02 \text{ kNm} > 243,40 \text{ kNm} = M_{Ed}$

Průřez VYHOVUJE.

Zakázka	SPORTOVNÍ HALA U ZŠ ČERNOŠICE	Datum	20.03.14
Výpočet	ZS_CERNOSICE_1.01	Příloha	2
Konstrukce	Úvodní list	Strana	1 z 10



SPORTOVNÍ HALA U ZŠ ČERNOŠICE

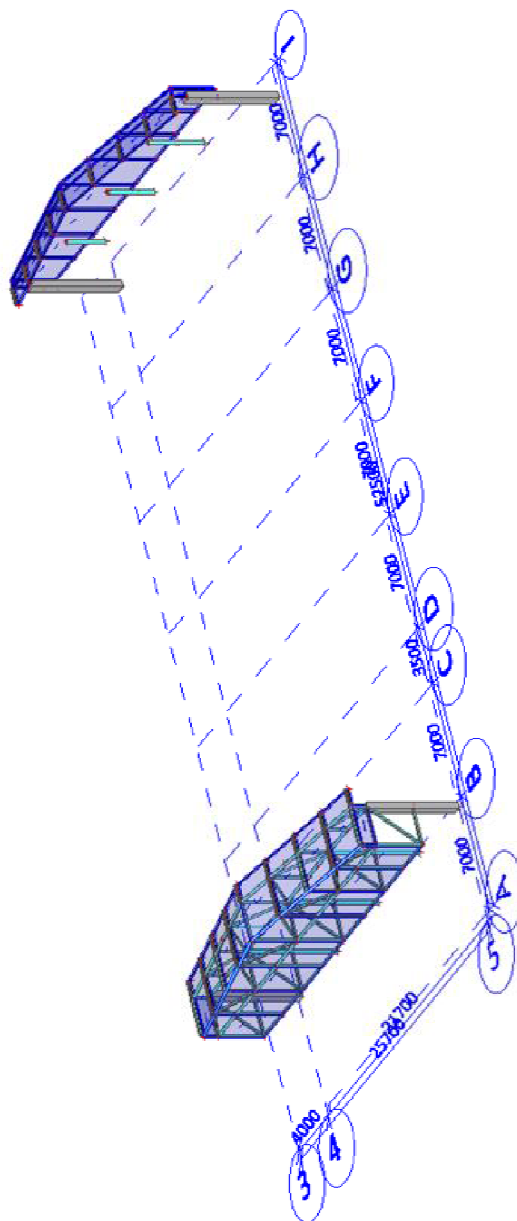
PŘÍLOHA 2 OCELOVÉ KONSTRUKCE FASÁD

Zakázka	SPORTOVNÍ HALA U ZŠ ČERNOŠICE	Datum	20.03.14
Výpočet	ZS_CERNOSICE_1.01	Příloha	2
Konstrukce	Vstupy - model konstrukce	Strana	2 z 10



Příloha 2 - Ocelové konstrukce fasád

1. Výpočtový model / Data o oceli



2. Materiály

Ocel EC3

Jméno	Jednotková hmotnost [kg/m³]	E [MPa]	Poisson - nu	Dolní mez [mm]	Horní mez [mm]	Fy (rozsah) [MPa]	Fu (rozsah) [MPa]
		G [MPa]	Tep.roztaž. [m/mK]				
S 355	7850,0	2,1000e+05	0,3	0	40	355,0	490,0
		8,0769e+04	0,00	40	80	335,0	470,0

3. Průřezy

Zakázka	SPORTOVNÍ HALA U ZŠ ČERNOŠICE	Datum	20.03.14
Výpočet	ZS_CERNOSICE_1.01	Příloha	2
Konstrukce	Vstupy - prvky	Strana	3 z 10



Ocelové konstrukce fasád - Příloha 2

CS1	
Typ	RO127X4
Kód tvaru	3 - Kruhové duté průřezy
Typ tvaru	Tenkostěnný
Materiál	S 355
Výroba	válcovaný
Posudek rovinného vzpěru y-y, Posudek rovinného vzpěru z-z	a
A [m ²]	1,5500e-03
Ay [m ²], Az [m ²]	1,0338e-03
Iy [m ⁴], Iz [m ⁴]	2,9300e-06
Welz [m ³], Wely [m ³]	4,6100e-05
Wplz [m ³], Wply [m ³]	6,0516e-05
Iw [m ⁶], It [m ⁴]	2,7523e-41
Obrázek	
CS2	
Typ	RO177.8X8
Kód tvaru	3 - Kruhové duté průřezy
Typ tvaru	Tenkostěnný
Materiál	S 355
Výroba	válcovaný
Posudek rovinného vzpěru y-y, Posudek rovinného vzpěru z-z	a
A [m ²]	4,2700e-03
Ay [m ²], Az [m ²]	2,8572e-03
Iy [m ⁴], Iz [m ⁴]	1,5410e-05
Welz [m ³], Wely [m ³]	1,7300e-04
Wplz [m ³], Wply [m ³]	2,3066e-04
Iw [m ⁶], It [m ⁴]	1,0168e-40
Obrázek	
CS3	
Typ	RRK120/120/6
Kód tvaru	2 - Obdélníkové uzavřené průřezy
Typ tvaru	Tenkostěnný
Materiál	S 355
Výroba	válcovaný
Posudek rovinného vzpěru y-y, Posudek rovinného vzpěru z-z	a
A [m ²]	2,6430e-03
Ay [m ²], Az [m ²]	1,3208e-03
Iy [m ⁴], Iz [m ⁴]	5,6200e-06
Welz [m ³], Wely [m ³]	9,3700e-05

Vysvětlivky symbolů	
Kód tvaru	d - Průměr w - Tloušťka
A	Plocha
Ay	Smyková plocha ve směru hlavní osy y
Az	Smyková plocha ve směru hlavní osy z
Iy	Moment setrvačnosti kolem hlavní osy y
Iz	Moment setrvačnosti kolem hlavní osy z

Wplz [m³], Wply [m³]	1,1200e-04	1,1200e-04
Iw [m⁶], It [m⁴]	1,2442e-08	9,1300e-06
Obrázek		

CS5		
Typ	ROR244.5/16.0	
Kód tvaru	3 - Kruhové duté průřezy	
Typ tvaru	Tenkostěnný	
Materiál	S 355	
Výroba	válcovaný	
Posudek rovinného vzpěru y-y, Posudek rovinného vzpěru z-z	a	a
A [m²]	1,1500e-02	
Ay [m²], Az [m²]	7,7273e-03	7,7273e-03
Iy [m⁴], Iz [m⁴]	7,5330e-05	7,5330e-05
Welz [m³], Wely [m³]	6,1600e-04	6,1600e-04
Wplz [m³], Wply [m³]	8,3700e-04	8,3700e-04
Iw [m⁶], It [m⁴]	1,0035e-39	1,4957e-04
Obrázek		

CS7		
Typ	RRW70/70/4	
Kód tvaru	2 - Obdélníkové uzavřené průřezy	
Typ tvaru	Tenkostěnný	
Materiál	S 355	
Výroba	válcovaný	
Posudek rovinného vzpěru y-y, Posudek rovinného vzpěru z-z	a	a
A [m²]	1,0390e-03	
Ay [m²], Az [m²]	5,1926e-04	5,1926e-04
Iy [m⁴], Iz [m⁴]	7,4700e-07	7,4700e-07
Welz [m³], Wely [m³]	2,1300e-05	2,1300e-05
Wplz [m³], Wply [m³]	2,5500e-05	2,5500e-05
Iw [m⁶], It [m⁴]	5,6023e-10	1,1800e-06
Obrázek		

Vysvětlivky symbolů	
Welz	Pružný modul průřezu k hlavní ose z
Wely	Pružný modul průřezu k hlavní ose y
Wplz	Plastický modul průřezu k hlavní ose z
Wply	Plastický modul průřezu k hlavní ose y
Iw	Výšečový moment setrvačnosti
It	Moment setrvačnosti v prostém kroucení

Zakázka	SPORTOVNÍ HALA U ZŠ ČERNOŠICE	Datum	20.03.14
Výpočet	ZS_CERNOSICE_1.01	Příloha	2
Konstrukce	Vstupy - prvky	Strana	4 z 10



Ocelové konstrukce fasád - Příloha 2

4. Zatěžovací stavy

Jméno	Popis	Typ působení	Skupina zatížení	Typ zatížení	Spec	Směr	Působení	Řídící zat. stav
LC1		Stálé	LG1	Vlastní tíha		-Z		
LC2	stále	Stálé	LG1	Standard				
LC3	uzitné	Nahodilé	LG2	Statické	Standard		Krátkodobé	Žádný
LC4	sníh	Nahodilé	LG3	Statické	Standard		Krátkodobé	Žádný
LC5	vitr - x	Nahodilé	LG4	Statické	Standard		Krátkodobé	Žádný
LC6	vitr - y	Nahodilé	LG4	Statické	Standard		Krátkodobé	Žádný
LC9	leto	Nahodilé	LG5	Statické	Standard		Krátkodobé	Žádný
LC8	zima	Nahodilé	LG5	Statické	Standard		Krátkodobé	Žádný
LC7	vitr + x	Nahodilé	LG4	Statické	Standard		Krátkodobé	Žádný

5. Skupiny zatížení

Jméno	Zatížení	Vztah	Typ
LG1	Stálé		
LG2	Nahodilé	Standard	Kat A : obytné
LG3	Nahodilé	Standard	Sníh
LG4	Nahodilé	Výběrová	Vitr
LG5	Nahodilé	Výběrová	Teplota

6. Posudek oceli

Lineární výpočet, Extrém : Průřez

Výběr : Vše

Třída : Třída MSU

Prvek B130 5,550 m ROR244.5/16.0 S 355 CO1/1 0,38 -

Dílčí souč. spolehlivosti		
Gamma M0 pro únosnost průřezu		1,00
Gamma M1 pro únosnost na nestabilitu		1,00
Gamma M2 pro únosnost čistého průřezu		1,25
Materiál		
Mez kluzu fy	355,0	MPa
Mezní pevnost fu	490,0	MPa
Výroba	Válcovaný	

....:POSUDEK PRŮŘEZU:....

Klasifikace pro návrh průřezu

Podle EN 1993-1-3 článku 5.5.2

Klasifikace pro trubkovité průřezy

Podle EN 1993-1-1 tabulka 5.3 list 2

Maximální poměr šířky a tloušťky	15,28
Třída 1 limit	33,10
Třída 2 limit	46,34
Třída 3 limit	59,58

=> průřez klasifikován jako třída 1 pro návrh průřezu

Kritický posudek v místě 0,000 m

Vnitřní síly	Vypočtené	Jednotka
N,Ed	-126,51	kN
Vy,Ed	0,00	kN
Vz,Ed	37,46	kN
T,Ed	0,00	kNm
My,Ed	0,00	kNm
Mz,Ed	0,00	kNm

Posudek na tlak

Podle EN 1993-1-1 článku 6.2.4 a rovnice (6.9)

A	1,1500e-02	m²
Nc,Rd	4082,50	kN
Jedn. posudek	0,03	-

Posudek smyku pro Vy

Podle EN 1993-1-1 článku 6.2.6 a rovnice (6.17)

Eta	1,20	
Av	7,3211e-03	m²
Vpl,y,Rd	1500,53	kN
Jedn. posudek	0,00	-

Posudek smyku pro Vz

Podle EN 1993-1-1 článku 6.2.6 a rovnice (6.17)

Eta	1,20	
Av	7,3211e-03	m²
Vpl,z,Rd	1500,53	kN
Jedn. posudek	0,02	-

Posudek kroucení

Podle EN 1993-1-1 článku 6.2.7 a rovnice (6.23)

Tau,t,Ed	0,0	MPa
----------	-----	-----

Zakázka	SPORTOVNÍ HALA U ZŠ ČERNOŠICE	Datum	20.03.14
Výpočet	ZS_CERNOSICE_1.01	Příloha	2
Konstrukce	Vstupy - posouzení prvků	Strana	5 z 10



Ocelové konstrukce fasád - Příloha 2

Tau,Rd	205,0	MPa
Jedn. posudek	0,00	-

Poznámka: Jednotkový posudek pro kroucení je menší než limitní hodnota 0,05. Kroucení se proto považuje za nevýznamné a je v kombinovaných posudcích zanedbáno.

Prvek splňuje podmínky posudku průřezu.

....**POSUDEK STABILITY**....

Klasifikace pro návrh dílce na vzpěr

Rozhodující poloha pro klasifikaci stability: 0,000 m

Klasifikace pro trubkovité průřezy

Podle EN 1993-1-1 tabulka 5.3 list 2

Maximální poměr šířky a tloušťky	15,28
Třída 1 limit	33,10
Třída 2 limit	46,34
Třída 3 limit	59,58

⇒ průřez klasifikován jako třída 1 pro návrh dílce na vzpěr

Posudek pevnosti v prostorovém vzpěru

Podle článku EN 1993-1-1 : 6.3.1.1. a vzorce (6.46)

Parametry vzpěru	yy	zz	
Typ posuvných styčníků	posuvné	neposuvné	
Systémová délka L	2.756	5.550	m
Součinitel vzpěru k	2.01	1.00	
Vzpěrná délka Lcr	5.539	5.550	m
Kritické Eulerovo zatížení Ncr	5088.37	5069.01	kN
Štíhlost	68.44	68.57	
Relativní štíhlost Lambda	0.90	0.90	
Mezní štíhlost Lambda,0	0.20	0.20	

Štíhlost nebo velikost tlakové síly umožňují ignorovat účinky prostorového vzpěru podle EN 1993-1-1 článek 6.3.1.2(4)

Posudek na tlak s ohybem

Podle článku EN 1993-1-1 : 6.3.3. a vzorce (6.61), (6.62)

Interakční metoda 1

Tabulka hodnot		
kyy	1.016	
kyz	0.615	
kzy	0.612	
kzz	1.021	
Delta My	0.00	kNm
Delta Mz	0.00	kNm
A	1.1500e-02	m ²
Wy	8.3700e-04	m ³
Wz	8.3700e-04	m ³
NRk	4082.50	kN
My,Rk	297.13	kNm
Mz,Rk	297.13	kNm
My,Ed	103.25	kNm
Mz,Ed	0.01	kNm
Interakční metoda 1		
Mcr0	7825.32	kNm
redukována štíhlost 0	0.19	
Psi y	0.000	
Psi z	1.000	
Cmy,0	0.991	
Cmz,0	0.996	
Cmy	0.991	
Cmz	0.996	
CmLT	1.000	
muy	1.000	
muz	1.000	
wy	1.359	
wz	1.359	
npl	0.031	
aLT	0.000	
bLT	0.000	
cLT	0.000	
dLT	0.000	
eLT	0.000	
Cyy	1.000	
Cyz	0.995	
Czy	0.996	
Czz	1.000	

Jedn. posudek (6.61) = 0.03 + 0.35 + 0.00 = 0.38

Jedn. posudek (6.62) = 0.03 + 0.21 + 0.00 = 0.24

Prvek splňuje podmínky stabilitního posudku.

Prvek B132	21,422 m	RO177.8X8	S 355	CO1/2	0,31 -
Dílčí souč. spolehlivosti					

Zakázka	SPORTOVNÍ HALA U ZŠ ČERNOŠICE	Datum	20.03.14
Výpočet	ZS_CERNOSICE_1.01	Příloha	2
Konstrukce	Vstupy - posouzení prvků	Strana	6 z 10



Ocelové konstrukce fasád - Příloha 2

Prvek B132	21,422 m	RO177.8X8	S 355	CO1/2	0,31 -
------------	----------	-----------	-------	-------	--------

Dílčí souč. spolehlivosti		
Gamma M0 pro únosnost průřezu		1,00
Gamma M1 pro únosnost na nestabilitu		1,00
Gamma M2 pro únosnost čistého průřezu		1,25

Materiál		
Mez kluzu fy	355,0	MPa
Mezní pevnost fu	490,0	MPa
Výroba	Válcovaný	

....:POSUDEK PRŮŘEZU:....

Klasifikace pro návrh průřezu

Podle EN 1993-1-3 článku 5.5.2

Klasifikace pro trubkovité průřezy

Podle EN 1993-1-1 tabulka 5.3 list 2

Maximální poměr šířky a tloušťky	22,23
Třída 1 limit	33,10
Třída 2 limit	46,34
Třída 3 limit	59,58

=> průřez klasifikován jako třída 1 pro návrh průřezu

Kritický posudek v místě 14.874 m

Vnitřní síly	Vypočtené	Jednotka
N,Ed	6,28	kN
Vy,Ed	8,96	kN
Vz,Ed	-0,48	kN
T,Ed	0,39	kNm
My,Ed	0,03	kNm
Mz,Ed	25,07	kNm

Posudek na tah

Podle EN 1993-1-1 článku 6.2.3 a rovnice (6.5)

A	4,2700e-03	m²
Npl,Rd	1515,85	kN
Nu,Rd	1506,46	kN
Nt,Rd	1506,46	kN
Jedn. posudek	0,00	-

Posudek ohybového momentu for My

Podle EN 1993-1-1 článku 6.2.5 a rovnice (6.12), (6.13)

Wpl,y	2,3066e-04	m³
Mpl,y,Rd	81,88	kNm
Jedn. posudek	0,00	-

Posudek ohybového momentu for Mz

Podle EN 1993-1-1 článku 6.2.5 a rovnice (6.12), (6.13)

Wpl,z	2,3066e-04	m³
Mpl,z,Rd	81,88	kNm
Jedn. posudek	0,31	-

Posudek smyku pro Vy

Podle EN 1993-1-1 článku 6.2.6 a rovnice (6.17)

Eta	1,20	
Av	2,7184e-03	m²
Vpl,y,Rd	557,15	kN
Jedn. posudek	0,02	-

Posudek smyku pro Vz

Podle EN 1993-1-1 článku 6.2.6 a rovnice (6.17)

Eta	1,20	
Av	2,7184e-03	m²
Vpl,z,Rd	557,15	kN
Jedn. posudek	0,00	-

Posudek kroucení

Podle EN 1993-1-1 článku 6.2.7 a rovnice (6.23)

Tau,t,Ed	1,2	MPa
Tau,Rd	205,0	MPa
Jedn. posudek	0,01	-

Poznámka: Jednotkový posudek pro kroucení je menší než limitní hodnota 0,05. Kroucení se proto považuje za nevýznamné a je v kombinovaných posudcích zanedbáváno.

Posudek na kombinaci ohybu, osové a smykové síly

Podle EN 1993-1-1 článku 9.1.2.6 a rovnice (6.31)

M,výslednice	25,07	kNm
V,výslednice	8,97	kN
MIN,Rd	81,88	kNm
Jedn. posudek	0,31	-

Poznámka: Výsledné vnitřní síly se použijí pro trubkové průřezy

Poznámka: Protože smykové síly jsou menší než polovina plastické momentové únosnosti, jejich vliv na momentovou únosnost se zanedbává.

Prvek splňuje podmínky posudku průřezu.

....:POSUDEK STABILITY:....

Zakázka	SPORTOVNÍ HALA U ZŠ ČERNOŠICE	Datum	20.03.14
Výpočet	ZS_CERNOSICE_1.01	Příloha	2
Konstrukce	Vstupy - posouzení prvků	Strana	7 z 10



Ocelové konstrukce fasád - Příloha 2

Klasifikace pro návrh dílce na vzpěr

Rozhodující poloha pro klasifikaci stability: 10,711 m

Klasifikace pro trubkovité průřezy

Podle EN 1993-1-1 tabulka 5.3 list 2

Maximální poměr šířky a tloušťky	22,23
Třída 1 limit	33,10
Třída 2 limit	46,34
Třída 3 limit	59,58

=> průřez klasifikován jako třída 1 pro návrh dílce na vzpěr

Posudek klopení

Pozn: Průřez se týká kruhové trubky, která není náchylná ke klopení.

Prvek splňuje podmínky stabilního posudku.

Prvek B191	2,395 m	RRK120/120/6	S 355	CO1/3	1,00 -
------------	---------	--------------	-------	-------	--------

Dílčí souč. spolehlivosti	
Gamma M0 pro únosnost průřezu	1,00
Gamma M1 pro únosnost na nestabilitu	1,00
Gamma M2 pro únosnost čistého průřezu	1,25

Materiál		
Mez kluzu fy	355,0	MPa
Mezní pevnost fu	490,0	MPa
Výroba	Válcovaný	

....:POSUDEK PRŮŘEZU:....

Klasifikace pro návrh průřezu

Podle EN 1993-1-3 článku 5.5.2

Klasifikace pro vnitřní tlačené části

Podle EN 1993-1-1 tabulka 5.2 list 1

Maximální poměr šířky a tloušťky	17,00
Třída 1 limit	26,85
Třída 2 limit	30,92
Třída 3 limit	35,82

=> průřez klasifikován jako třída 1 pro návrh průřezu

Kritický posudek v místě 0.000 m

Vnitřní síly	Vypočtené	Jednotka
N,Ed	-51,93	kN
Vy,Ed	-2,03	kN
Vz,Ed	0,08	kN
T,Ed	0,02	kNm
My,Ed	0,59	kNm
Mz,Ed	4,85	kNm

Posudek na tlak

Podle EN 1993-1-1 článku 6.2.4 a rovnice (6.9)

A	2,6430e-03	m ²
Nc,Rd	938,26	kN
Jedn. posudek	0,06	-

Posudek ohybového momentu for My

Podle EN 1993-1-1 článku 6.2.5 a rovnice (6.12), (6.13)

Wpl,y	1,1200e-04	m ³
Mpl,y,Rd	39,76	kNm
Jedn. posudek	0,01	-

Posudek ohybového momentu for Mz

Podle EN 1993-1-1 článku 6.2.5 a rovnice (6.12), (6.13)

Wpl,z	1,1200e-04	m ³
Mpl,z,Rd	39,76	kNm
Jedn. posudek	0,12	-

Posudek smyku pro Vy

Podle EN 1993-1-1 článku 6.2.6 a rovnice (6.17)

Eta	1,20	
Av	1,3215e-03	m ²
Vpl,y,Rd	270,85	kN
Jedn. posudek	0,01	-

Posudek smyku pro Vz

Podle EN 1993-1-1 článku 6.2.6 a rovnice (6.17)

Eta	1,20	
Av	1,3215e-03	m ²
Vpl,z,Rd	270,85	kN
Jedn. posudek	0,00	-

Posudek kroucení

Podle EN 1993-1-1 článku 6.2.7 a rovnice (6.23)

Tau,t,Ed	0,1	MPa
Tau,Rd	205,0	MPa
Jedn. posudek	0,00	-

Poznámka: Jednotkový posudek pro kroucení je menší než limitní hodnota 0,05. Kroucení se proto považuje za nevýznamné a je v kombinovaných posudcích zanedbáno.

Posudek na kombinaci ohybu, osové a smykové síly

Zakázka	SPORTOVNÍ HALA U ZŠ ČERNOŠICE	Datum	20.03.14
Výpočet	ZS_CERNOSICE_1.01	Příloha	2
Konstrukce	Vstupy - posouzení prvků	Strana	8 z 10



Ocelové konstrukce fasád - Příloha 2

Podle EN 1993-1-1 článku 9.1.2.6 a rovnice (6.41)

MN _y , Rd	39,76	kNm
Alfa	1,67	
MN _z , Rd	39,76	kNm
Beta	1,67	

Jednotkový posudek (6.41) = 0,00 + 0,03 = 0,03 -

Poznámka: Protože smykové síly jsou menší než polovina plastické momentové únosnosti, jejich vliv na momentovou únosnost se zanedbává.

Prvek splňuje podmínky posudku průřezu.

.....**POSUDEK STABILITY:...**

Klasifikace pro návrh dílce na vzpěr

Rozhodující poloha pro klasifikaci stability: 0,000 m

Klasifikace pro vnitřní tlačené části

Podle EN 1993-1-1 tabulka 5.2 list 1

Maximální poměr šířky a tloušťky	17,00
Třída 1 limit	26,85
Třída 2 limit	30,92
Třída 3 limit	35,82

=> průřez klasifikován jako třída 1 pro návrh dílce na vzpěr

Posudek pevnosti v prostorovém vzpěru

Podle článku EN 1993-1-1 : 6.3.1.1. a vzorce (6.46)

Parametry vzpěru	yy	zz	
Typ posuvných styčníků	posuvné	neposuvné	
Systémová délka L	2.395	2.395	m
Součinitel vzpěru k	6.02	0.77	
Vzpěrná délka L _{cr}	14.413	1.847	m
Kritické Eulerovo zatížení N _{cr}	56.07	3413.79	kN
Štíhlost	312.55	40.06	
Relativní štíhlost Lambda	4.09	0.52	
Mezní štíhlost Lambda ₀	0.20	0.20	
Vzpěr. křivka	a	a	
Imperfekce Alfa	0.21	0.21	
Redukční součinitel Chi	0.06	0.92	
Únosnost na vzpěr N _b , Rd	53.31	859.99	kN

Upozornění : štíhlost 312.55 je větší než 200.00 !

Tabulka hodnot		
A	2.6430e-03	m ²
Únosnost na vzpěr N _b , Rd	53.31	kN
Jedn. posudek	0.97	-

Posudek klopení

Pozn: Průřez se týká obdélníkové trubky 'h / b < 10 / Lambda_{red,z}'.

Tento průřez není náchylný ke klopení.

Posudek na tlak s ohybem

Podle článku EN 1993-1-1 : 6.3.3. a vzorce (6.61), (6.62)

Interakční metoda 1

Tabulka hodnot		
k _{yy}	1.202	
k _{yz}	0.094	
k _{zy}	15.385	
k _{zz}	1.205	
Delta M _y	0.00	kNm
Delta M _z	0.00	kNm
A	2.6430e-03	m ²
W _y	1.1200e-04	m ³
W _z	1.1200e-04	m ³
NR _k	938.26	kN
M _y , R _k	39.76	kNm
M _z , R _k	39.76	kNm
M _y , E _d	0.60	kNm
M _z , E _d	4.85	kNm
Interakční metoda 1		
M _{cr0}	1227.44	kNm
redukovaná štíhlost 0	0.18	
Psi y	0.000	
Psi z	0.000	
C _{my} , 0	0.953	
C _{mz} , 0	0.994	
C _{my}	0.953	
C _{mz}	0.994	
C _{mLT}	1.000	
mu _y	0.078	
mu _z	0.999	
w _y	1.195	
w _z	1.195	

Zakázka	SPORTOVNÍ HALA U ZŠ ČERNOŠICE	Datum	20.03.14
Výpočet	ZS_CERNOSICE_1.01	Příloha	2
Konstrukce	Vstupy - posouzení prvků	Strana	9 z 10



Ocelové konstrukce fasád - Příloha 2

Tabulka hodnot	
npl	0.055
aLT	0.000
bLT	0.000
cLT	0.000
dLT	0.000
eLT	0.000
Cyy	0.837
Cyz	0.502
Czy	0.502
Czz	0.837

Jedn. posudek (6.61) = $0.97 + 0.02 + 0.01 = 1.00$

Jedn. posudek (6.62) = $0.06 + 0.23 + 0.15 = 0.44$

Prvek nesplňuje podmínky stabilního posudku!

Prvek B141 1,783 m RO127X4 S 355 CO1/2 0,12 -

Dílčí souč. spolehlivosti	
Gamma M0 pro únosnost průřezu	1,00
Gamma M1 pro únosnost na nestabilitu	1,00
Gamma M2 pro únosnost čistého průřezu	1,25

Materiál	
Mez kluzu fy	355,0 MPa
Mezní pevnost fu	490,0 MPa
Výroba	Válcovaný

....:POSUDEK PRŮŘEZU:....

Klasifikace pro návrh průřezu

Podle EN 1993-1-3 článku 5.5.2

Klasifikace pro trubkovité průřezy

Podle EN 1993-1-1 tabulka 5.3 list 2

Maximální poměr šířky a tloušťky	31,75
Třída 1 limit	33,10
Třída 2 limit	46,34
Třída 3 limit	59,58

⇒ > průřez klasifikován jako třída 1 pro návrh průřezu

Kritický posudek v místě 0.892 m

Vnitřní síly	Vypočtené	Jednotka
N,Ed	-12,00	kN
Vy,Ed	0,00	kN
Vz,Ed	0,00	kN
T,Ed	2,12	kNm
My,Ed	0,00	kNm
Mz,Ed	0,00	kNm

Posudek na tlak

Podle EN 1993-1-1 článku 6.2.4 a rovnice (6.9)

A	1,5500e-03	m ²
Nc,Rd	550,25	kN
Jedn. posudek	0,02	-

Posudek kroucení

Podle EN 1993-1-1 článku 6.2.7 a rovnice (6.23)

Tau,t,Ed	23,8	MPa
Tau,Rd	205,0	MPa
Jedn. posudek	0,12	-

Posudek na kombinaci ohybu, osově a smykové síly

Podle EN 1993-1-1 článku 6.2.1(5) a rovnice (6.1)

Elastický posudek	
Vlákn	16
Sigma,N,Ed	7,7 MPa
Sigma,My,Ed	0,0 MPa
Sigma,Mz,Ed	0,0 MPa
Sigma,tot,Ed	7,7 MPa
Tau,Vy,Ed	0,0 MPa
Tau,Vz,Ed	0,0 MPa
Tau,t,Ed	23,8 MPa
Tau,tot,Ed	23,8 MPa
Sigma,von Mises,Ed	41,9 MPa
Jedn. posudek	0,12 -

Poznámka: Protože neexistuje žádná smyková síla, vliv krouticího momentu nelze pro plastickou

interakci zohlednit. Proto se posuzuje podmínka pružné meze kluzu podle EN 1993-1-1 článku 6.2.1(5).

Prvek splňuje podmínky posudku průřezu.

....:POSUDEK STABILITY:....

Klasifikace pro návrh dílce na vzpěr

Rozhodující poloha pro klasifikaci stability: 0,000 m

Klasifikace pro trubkovité průřezy

Podle EN 1993-1-1 tabulka 5.3 list 2

Maximální poměr šířky a tloušťky	31,75
----------------------------------	-------

Zakázka	SPORTOVNÍ HALA U ZŠ ČERNOŠICE	Datum	20.03.14
Výpočet	ZS_CERNOSICE_1.01	Příloha	2
Konstrukce	Vstupy - posouzení prvků	Strana	10 z 10



Ocelové konstrukce fasád - Příloha 2

Třída 1 limit	33,10
Třída 2 limit	46,34
Třída 3 limit	59,58

=> průřez klasifikován jako třída 1 pro návrh dílce na vzpěr

Posudek pevnosti v prostorovém vzpěru

Podle článku EN 1993-1-1 : 6.3.1.1. a vzorce (6.46)

Parametry vzpěru	yy	zz	
Typ posuvných styčníků	posuvné	neposuvné	
Systémová délka L	1.783	1.783	m
Součinitel vzpěru k	1.00	1.00	
Vzpěrná délka Lcr	1.783	1.783	m
Kritické Eulerovo zatížení Ncr	1910.17	1910.27	kN
Štíhlost	41.01	41.01	
Relativní štíhlost Lambda	0.54	0.54	
Mezní štíhlost Lambda,0	0.20	0.20	

Štíhlost nebo velikost tlakové síly umožňují ignorovat účinky prostorového vzpěru podle EN 1993-1-1 článek 6.3.1.2(4)

Prvek splňuje podmínky stabilitního posudku.

Prvek B322 0,987 m RRW70/70/4 S 355 CO1/4 0,11 -

Dílčí souč. spolehlivosti	
Gamma M0 pro únosnost průřezu	1,00
Gamma M1 pro únosnost na nestabilitu	1,00
Gamma M2 pro únosnost čistého průřezu	1,25

Materiál	
Mez kluzu fy	355,0 MPa
Mezní pevnost fu	490,0 MPa
Výroba	Válcovaný

....:POSUDEK PRŮŘEZU:....

Kritický posudek v místě 0,000 m

Vnitřní síly	Vypočtené	Jednotka
N,Ed	11,15	kN
Vy,Ed	0,00	kN
Vz,Ed	0,02	kN
T,Ed	-0,82	kNm
My,Ed	0,00	kNm
Mz,Ed	0,00	kNm

Posudek na tah

Podle EN 1993-1-1 článku 6.2.3 a rovnice (6.5)

A	1,0390e-03	m²
Npl,Rd	368,85	kN
Nu,Rd	366,56	kN
Nt,Rd	366,56	kN
Jedn. posudek	0,03	-

Posudek smyku pro Vz

Podle EN 1993-1-1 článku 6.2.6 a rovnice (6.17)

Eta	1,20	
Av	5,1950e-04	m²
Vpl,z,Rd	106,48	kN
Jedn. posudek	0,00	-

Posudek kroucení

Podle EN 1993-1-1 článku 6.2.7 a rovnice (6.23)

Tau,t,Ed	23,5	MPa
Tau,Rd	205,0	MPa
Jedn. posudek	0,11	-

Kombinovaný posudek smyku a kroucení pro Vz a Tau,t,Rd

Podle EN 1993-1-1 článku 6.2.6 & 6.2.7 a rovnice (6.25), (6.28)

Vpl,T,z,Rd	94,25	kN
Jedn. posudek	0,00	-

Prvek splňuje podmínky posudku průřezu.

....:POSUDEK STABILITY:....

Prvek splňuje podmínky stabilitního posudku.

7. Posudek oceli

Lineární výpočet, Extrém : Průřez

Výběr : Vše

Třída : Třída MSU

Prvek	css	mat	Stav	dx [mm]	jed.posudek [-]	pevnost [-]	stab. posudek [-]
B130	CS5 - ROR244.5/16.0	S 355	CO1/1	0,000	0,38	0,03	0,38
B132	CS2 - RO177.8X8	S 355	CO1/2	14873,600	0,31	0,31	0,00
B191	CS3 - RRK120/120/6	S 355	CO1/3	0,000	1,00	0,12	1,00
B141	CS1 - RO127X4	S 355	CO1/2	891,502	0,12	0,12	0,00
B322	CS7 - RRW70/70/4	S 355	CO1/4	0,000	0,11	0,11	0,00

Zakázka	SPORTOVNÍ HALA U ZŠ ČERNOŠICE	Datum	20.03.14
Výpočet	ZS_CERNOSICE_1.01	Příloha	3
Konstrukce	Úvodní list	Strana	1 z 13



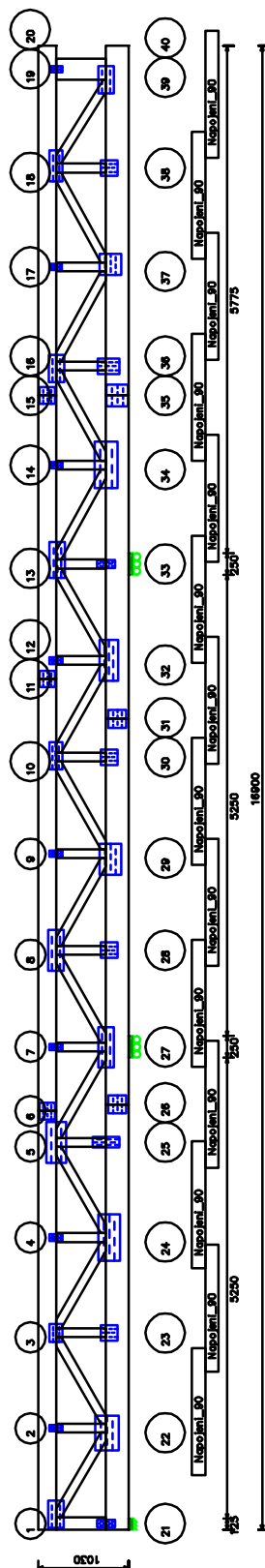
SPORTOVNÍ HALA U ZŠ ČERNOŠICE

PŘÍLOHA 3 DŘEVĚNÁ KONSTRUKCE ZASTŘEŠENÍ

Zakázka	SPORTOVNÍ HALA U ZŠ ČERNOŠICE	Datum	20.03.14
Výpočet	ZS_CERNOSICE_1.01	Příloha	3
Konstrukce	Dřevěné sbíjené prvky	Strana	2 z 13



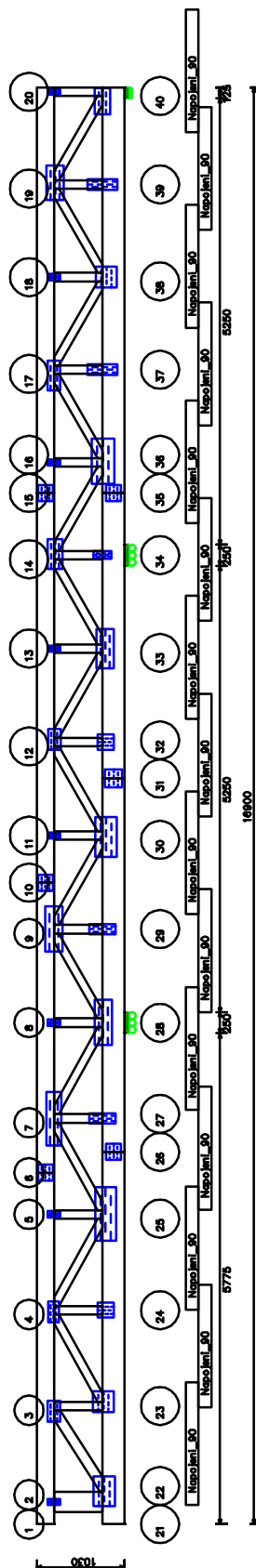
VAZNÍK F5



Zakázka	SPORTOVNÍ HALA U ZŠ ČERNOŠICE	Datum	20.03.14
Výpočet	ZS_CERNOSICE_1.01	Příloha	3
Konstrukce	Dřevěné sbíjené prvky	Strana	3 z 13



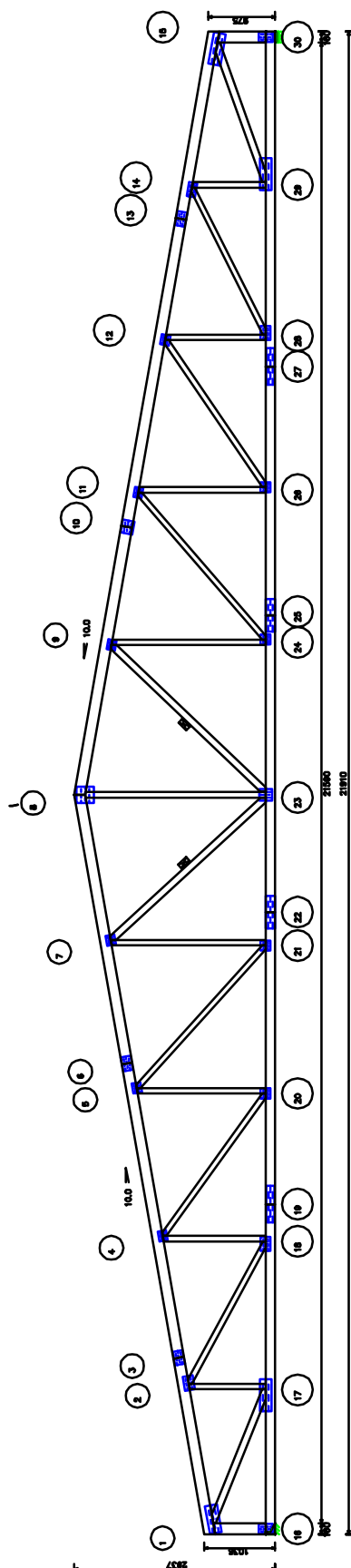
VAZNÍK F6



Zakázka	SPORTOVNÍ HALA U ZŠ ČERNOŠICE	Datum	20.03.14
Výpočet	ZS_CERNOSICE_1.01	Příloha	3
Konstrukce	Dřevěné sbíjené prvky	Strana	4 z 13



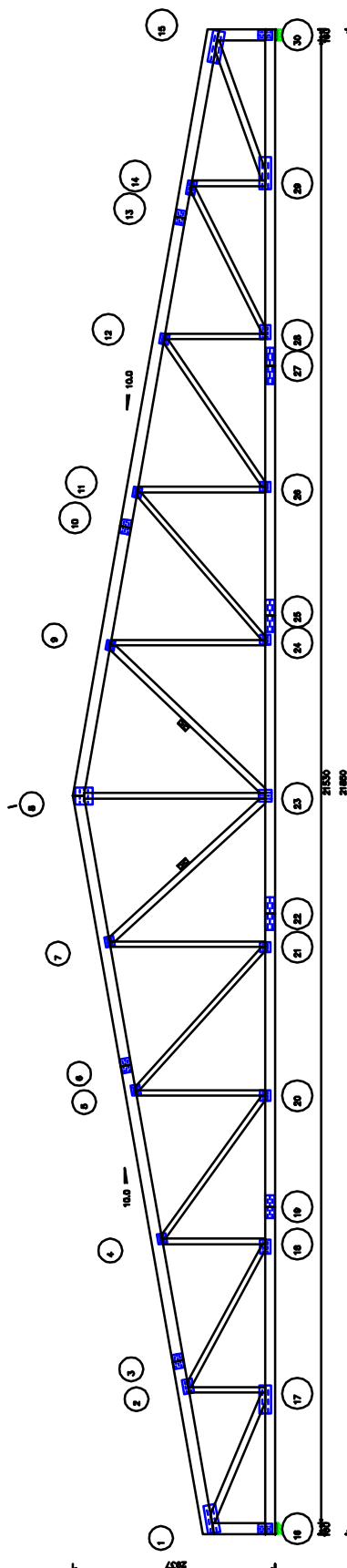
VAZNÍK S1



Zakázka	SPORTOVNÍ HALA U ZŠ ČERNOŠICE	Datum	20.03.14
Výpočet	ZS_CERNOSICE_1.01	Příloha	3
Konstrukce	Dřevěné sbíjené prvky	Strana	5 z 13



VAZNÍK S2



Zakázka	SPORTOVNÍ HALA U ZŠ ČERNOŠICE	Datum	20.03.14
Výpočet	ZS_CERNOSICE_1.01	Příloha	3
Konstrukce	Dřevěné sbíjené prvky	Strana	6 z 13



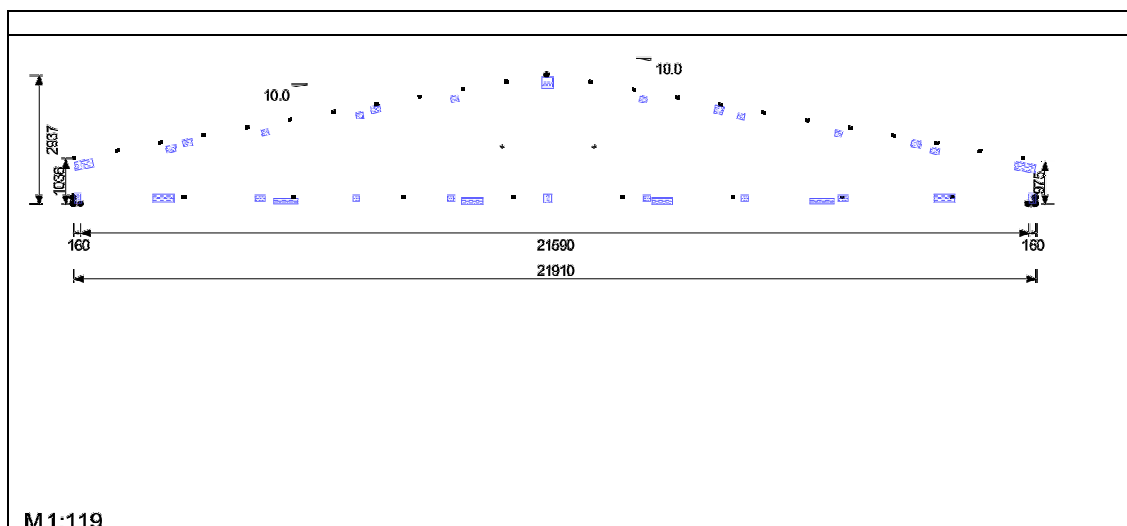
Konstrukce navržena dle:

ČSN EN 1990 Eurokód 0: Zásady navrhování konstrukcí
 ČSN EN 1991-1-1 Eurokód 1: Zatížení konstrukcí - Část 1-1: Obecná zatížení - Objemové tíhy, vlastní tíha a užitná zatížení pozemních staveb
 ČSN EN 1991-1-3 Eurokód 1: Zatížení konstrukcí - Část 1-3: Obecná zatížení - Zatížení sněhem
 ČSN EN 1991-1-4 Eurokód 1: Zatížení konstrukcí - Část 1-4: Obecná zatížení - Zatížení větrem
 ČSN EN 1991-1-6 Eurokód 1: Zatížení konstrukcí - Část 1-6: Obecná zatížení - Zatížení během provádění
 ČSN EN 1991-1-7 Eurokód 1: Zatížení konstrukcí - Část 1-7: Obecná zatížení - Mimořádná zatížení
 ČSN EN 1995-1-1 Eurokód 5: Navrhování dřevěných konstrukcí - Část 1-1: Obecná pravidla - Společná pravidla a pravidla pro pozemní stavby

Certifikáty výrobků:

GNA20 - certifikát c. 204/C5/2008/070-035432
 T150 - certifikát c. 204/C5/2008/070-035432
 A20 - certifikát c. 204/C5/2006/070-029869
 M14 - certifikát c. 204/C5/2008/070-035427
 POSISTRUT - certifikát c. 204/C5/2006/070-029940

Vazník :	S1		
Počet vazníků :	27	Rozpětí :	21910 mm
Počet vrstev :	1	Celková výška :	2937 mm
Váha vazníku :	342 kg	Osová vzdálenost :	1175 mm
Počet styčníků :	30	Stabilizace HP :	1000 mm
		Stabilizace DP :	2500 mm



Základní hodnoty zatížení:

Horní pas	Dolní pas	Klimatické zatížení
Vlastní váha : 0,077 kN/m ² Střešní plášť : 0,500 kN/m ²	Vlastní váha : 0,077 kN/m ² Podhled : 0,400 kN/m ² Užitné na DP : 0,000 kN/m ²	Sníh : 0,700 kN/m ² Tlak větru : 0,625 kN/m ² Návrh. rychlost větru : 25,0 m/s Třída terénu : III

Výpis zatěžovacích kombinací:

1.	Kom.1	Stálé STR	I. mezní stav
2.	Kom.3	Bežný sníh nenavátý STR	I. mezní stav

Zakázka	SPORTOVNÍ HALA U ZŠ ČERNOŠICE	Datum	20.03.14
Výpočet	ZS_CERNOSICE_1.01	Příloha	3
Konstrukce	Dřevěné sbíjené prvky	Strana	7 z 13



3.	Kom.5	Bežný sníh navátý zleva STR	1. mezní stav
4.	Kom.7	Bežný sníh navátý zprava STR	1. mezní stav
5.	Kom.9	Vítr zleva (1) EQU	1. mezní stav
6.	Kom.11	Vítr zleva (1) STR	1. mezní stav
7.	Kom.13	Vítr zleva (2) EQU	1. mezní stav
8.	Kom.15	Vítr zleva (2) STR	1. mezní stav
9.	Kom.17	Vítr zleva (3) EQU	1. mezní stav
10.	Kom.19	Vítr zleva (3) STR	1. mezní stav
11.	Kom.21	Vítr zleva (4) EQU	1. mezní stav
12.	Kom.23	Vítr zleva (4) STR	1. mezní stav
13.	Kom.25	Vítr zprava (1) EQU	1. mezní stav
14.	Kom.27	Vítr zprava (1) STR	1. mezní stav
15.	Kom.29	Vítr zprava (2) EQU	1. mezní stav
16.	Kom.31	Vítr zprava (2) STR	1. mezní stav
17.	Kom.33	Vítr zprava (3) EQU	1. mezní stav
18.	Kom.35	Vítr zprava (3) STR	1. mezní stav
19.	Kom.37	Vítr zprava (4) EQU	1. mezní stav
20.	Kom.39	Vítr zprava (4) STR	1. mezní stav
21.	Kom.41	Vítr podél (1) EQU	1. mezní stav
22.	Kom.43	Vítr podél (1) STR	1. mezní stav
23.	Kom.45	Vítr zleva + Bežný sníh nenavátý (1) STR	1. mezní stav
24.	Kom.47	Vítr zleva + Bežný sníh nenavátý (2) STR	1. mezní stav
25.	Kom.49	Vítr zleva + Bežný sníh nenavátý (3) STR	1. mezní stav
26.	Kom.51	Vítr zleva + Bežný sníh nenavátý (4) STR	1. mezní stav
27.	Kom.53	Vítr zleva + Bežný sníh navátý zleva (1) STR	1. mezní stav
28.	Kom.55	Vítr zleva + Bežný sníh navátý zleva (2) STR	1. mezní stav
29.	Kom.57	Vítr zleva + Bežný sníh navátý zleva (3) STR	1. mezní stav
30.	Kom.59	Vítr zleva + Bežný sníh navátý zleva (4) STR	1. mezní stav
31.	Kom.61	Vítr zprava + Bežný sníh nenavátý (1) STR	1. mezní stav
32.	Kom.63	Vítr zprava + Bežný sníh nenavátý (2) STR	1. mezní stav
33.	Kom.65	Vítr zprava + Bežný sníh nenavátý (3) STR	1. mezní stav
34.	Kom.67	Vítr zprava + Bežný sníh nenavátý (4) STR	1. mezní stav
35.	Kom.69	Vítr zprava + Bežný sníh navátý zprava (1) STR	1. mezní stav
36.	Kom.71	Vítr zprava + Bežný sníh navátý zprava (2) STR	1. mezní stav
37.	Kom.73	Vítr zprava + Bežný sníh navátý zprava (3) STR	1. mezní stav
38.	Kom.75	Vítr zprava + Bežný sníh navátý zprava (4) STR	1. mezní stav
39.	Kom.77	Bežný sníh nenavátý + Montážní horní Okamžitý 1 STR	1. mezní stav
40.	Kom.80	Bežný sníh nenavátý + Montážní horní Okamžitý 2 STR	1. mezní stav
41.	Kom.83	Bežný sníh nenavátý + Montážní horní Okamžitý 3 STR	1. mezní stav
42.	Kom.86	Bežný sníh nenavátý + Montážní horní Okamžitý 4 STR	1. mezní stav
43.	Kom.89	Bežný sníh nenavátý + Montážní horní Okamžitý 5 STR	1. mezní stav
44.	Kom.92	Bežný sníh nenavátý + Montážní horní Okamžitý 6 STR	1. mezní stav
45.	Kom.95	Bežný sníh nenavátý + Montážní horní Okamžitý 7 STR	1. mezní stav
46.	Kom.98	Bežný sníh nenavátý + Montážní horní Okamžitý 8 STR	1. mezní stav
47.	Kom.101	Bežný sníh nenavátý + Montážní horní Okamžitý 9 STR	1. mezní stav
48.	Kom.104	Bežný sníh nenavátý + Montážní horní Okamžitý 10 STR	1. mezní stav
49.	Kom.107	Bežný sníh nenavátý + Montážní horní Okamžitý 11 STR	1. mezní stav
50.	Kom.110	Bežný sníh nenavátý + Montážní horní Okamžitý 12 STR	1. mezní stav
51.	Kom.113	Bežný sníh nenavátý + Montážní horní Okamžitý 13 STR	1. mezní stav
52.	Kom.116	Bežný sníh nenavátý + Montážní horní Okamžitý 14 STR	1. mezní stav
53.	Kom.119	Bežný sníh nenavátý + Montážní dolní Okamžitý 1 STR	1. mezní stav
54.	Kom.122	Bežný sníh nenavátý + Montážní dolní Okamžitý 2 STR	1. mezní stav
55.	Kom.125	Bežný sníh nenavátý + Montážní dolní Okamžitý 3 STR	1. mezní stav
56.	Kom.128	Bežný sníh nenavátý + Montážní dolní Okamžitý 4 STR	1. mezní stav
57.	Kom.131	Bežný sníh nenavátý + Montážní dolní Okamžitý 5 STR	1. mezní stav
58.	Kom.134	Bežný sníh nenavátý + Montážní dolní Okamžitý 6 STR	1. mezní stav
59.	Kom.137	Bežný sníh nenavátý + Montážní dolní Okamžitý 7 STR	1. mezní stav
60.	Kom.140	Bežný sníh nenavátý + Montážní dolní Okamžitý 8 STR	1. mezní stav
61.	Kom.143	Bežný sníh nenavátý + Montážní dolní Okamžitý 9 STR	1. mezní stav
62.	Kom.146	Bežný sníh nenavátý + Montážní dolní Okamžitý 10 STR	1. mezní stav
63.	Kom.149	Bežný sníh nenavátý + Montážní dolní Okamžitý 11 STR	1. mezní stav
64.	Kom.152	Bežný sníh nenavátý + Montážní dolní Okamžitý 12 STR	1. mezní stav
65.	Kom.155	Stálé SER	2. mezní stav
66.	Kom.156	Bežný sníh nenavátý SER	2. mezní stav
67.	Kom.157	Bežný sníh navátý zleva SER	2. mezní stav
68.	Kom.158	Bežný sníh navátý zprava SER	2. mezní stav
69.	Kom.159	Vítr zleva + Bežný sníh nenavátý (1) SER	2. mezní stav
70.	Kom.160	Vítr zleva + Bežný sníh nenavátý (2) SER	2. mezní stav

Zakázka	SPORTOVNÍ HALA U ZŠ ČERNOŠICE	Datum	20.03.14
Výpočet	ZS_CERNOSICE_1.01	Příloha	3
Konstrukce	Dřevěné sbíjené prvky	Strana	8 z 13



71.	Kom.161	Vitr zleva + Bežný sníh nenavátý (3) SER		2. mezní stav
72.	Kom.162	Vitr zleva + Bežný sníh nenavátý (4) SER		2. mezní stav
73.	Kom.163	Vitr zleva + Bežný sníh navátý zleva (1) SER		2. mezní stav
74.	Kom.164	Vitr zleva + Bežný sníh navátý zleva (2) SER		2. mezní stav
75.	Kom.165	Vitr zleva + Bežný sníh navátý zleva (3) SER		2. mezní stav
76.	Kom.166	Vitr zleva + Bežný sníh navátý zleva (4) SER		2. mezní stav
77.	Kom.167	Vitr zprava + Bežný sníh nenavátý (1) SER		2. mezní stav
78.	Kom.168	Vitr zprava + Bežný sníh nenavátý (2) SER		2. mezní stav
79.	Kom.169	Vitr zprava + Bežný sníh nenavátý (3) SER		2. mezní stav
80.	Kom.170	Vitr zprava + Bežný sníh nenavátý (4) SER		2. mezní stav
81.	Kom.171	Vitr zprava + Bežný sníh navátý zprava (1) SER		2. mezní stav
82.	Kom.172	Vitr zprava + Bežný sníh navátý zprava (2) SER		2. mezní stav
83.	Kom.173	Vitr zprava + Bežný sníh navátý zprava (3) SER		2. mezní stav
84.	Kom.174	Vitr zprava + Bežný sníh navátý zprava (4) SER		2. mezní stav

Charakteristiky materiálu:	
Třída dřeva	C24
Pevnost v ohybu $f_{m,k}$	24,0 N/mm ²
Pevnost v tahu rov. $f_{t,0,k}$	14,0 N/mm ²
Pevnost v tahu kol. $f_{t,90,k}$	0,4 N/mm ²
Pevnost v tlaku rov. $f_{c,0,k}$	21,0 N/mm ²
Pevnost v tlaku kol. $f_{c,90,k}$	2,5 N/mm ²
Smyk $f_{v,k}$	4,0 N/mm ²
E _{0,mean}	11000 N/mm ²
E _{0,05}	7400 N/mm ²
E _{90,mean}	367 N/mm ²
G _{mean}	688 N/mm ²
Hustota	350 kg/m ³
Průměrná hustota	420 kg/m ³
Třída provozu	II
Gamma _m	1,3

Souřadnice stěnic statického schématu:					
Stěník	X [mm]	Y [mm]	Posun X	Posun Y	Natočení
1	80	887	Volný	Volný	Volný
2	2157	1254	Volný	Volný	Volný
3	2577	1409	Volný	Volný	Volný
4	4313	1634	Volný	Volný	Volný
5	6470	2014	Volný	Volný	Volný
6	6866	2165	Volný	Volný	Volný
7	8627	2394	Volný	Volný	Volný
8	10784	2856	Volný	Volný	Volný
9	12967	2390	Volný	Volný	Volný
10	14689	2167	Volný	Volný	Volný
11	15190	1998	Volný	Volný	Volný
12	17413	1606	Volný	Volný	Volný
13	19180	1375	Volný	Volný	Volný
14	19637	1214	Volný	Volný	Volný
15	21830	827	Volný	Volný	Volný
16	80	70	Pevný	Pevný	Volný
17	2109	140	Volný	Volný	Volný
18	4273	140	Volný	Volný	Volný
19	4816	70	Volný	Volný	Volný
20	6430	140	Volný	Volný	Volný
21	8587	140	Volný	Volný	Volný
22	9073	70	Volný	Volný	Volný
23	10744	140	Volný	Volný	Volný
24	13007	140	Volný	Volný	Volný
25	13400	70	Volný	Volný	Volný
26	15230	140	Volný	Volný	Volný
27	17026	70	Volný	Volný	Volný
28	17453	140	Volný	Volný	Volný
29	19677	140	Volný	Volný	Volný
30	21830	70	Volný	Pevný	Volný
31	10784	2856	Volný	Volný	Volný
32	10784	2775	Volný	Volný	Volný
39	10784	2744	Volný	Volný	Volný

Zakázka	SPORTOVNÍ HALA U ZŠ ČERNOŠICE	Datum	20.03.14
Výpočet	ZS_CERNOSICE_1.01	Příloha	3
Konstrukce	Dřevěné sbíjené prvky	Strana	10 z 13



Prut	Délka [mm]	Sklon [°]	Počátek	Konec	Podélná výztuha á	
T1 1-2	2109	10	Tuhý	Tuhý	1000	
T1 2-3	417	10	Tuhý	Tuhý	1000	
T2 3-4	1805	10	Tuhý	Tuhý	1000	
T2 4-5	2223	10	Tuhý	Tuhý	1000	
T2 5-6	395	10	Tuhý	Tuhý	1000	
T3 6-7	1830	10	Tuhý	Tuhý	1000	
T3 7-8	2191	10	Tuhý	Tuhý	1000	
T4 8-9	2260	-10	Tuhý	Tuhý	1000	
T4 9-10	1750	-10	Tuhý	Tuhý	1000	
T5 10-11	545	-10	Tuhý	Tuhý	1000	
T5 11-12	2291	-10	Tuhý	Tuhý	1000	
T5 12-13	1795	-10	Tuhý	Tuhý	1000	
T6 13-14	496	-10	Tuhý	Tuhý	1000	
T6 14-15	2187	-10	Tuhý	Tuhý	1000	
W20 16-1	0	90	Tuhý	Tuhý		
W21 30-15	0	90	Tuhý	Tuhý		
B1 16-17	2021	0	Tuhý	Tuhý	2500	
B1 17-18	2171	0	Tuhý	Tuhý	2500	
B1 18-19	544	0	Tuhý	Tuhý	2500	
B2 19-20	1617	0	Tuhý	Tuhý	2500	
B2 20-21	2159	0	Tuhý	Tuhý	2500	
B2 21-22	481	0	Tuhý	Tuhý	2500	
B3 22-23	1711	0	Tuhý	Tuhý	2500	
B3 23-24	2258	0	Tuhý	Tuhý	2500	
B3 24-25	358	0	Tuhý	Tuhý	2500	
B4 25-26	1868	0	Tuhý	Tuhý	2500	
B4 26-27	1758	0	Tuhý	Tuhý	2500	
B5 27-28	472	0	Tuhý	Tuhý	2500	
B5 28-29	2238	0	Tuhý	Tuhý	2500	
B5 29-30	2094	0	Tuhý	Tuhý	2500	
W16 17-2	0	90	Tuhý	Tuhý		
W13 2-18	2583	-28,4	Tuhý	Tuhý		
W12 18-4	0	90	Tuhý	Tuhý		
W9 4-20	3065	-35,9	Tuhý	Tuhý		
W8 20-5	0	90	Tuhý	Tuhý		
W6 5-21	3678	-42,2	Tuhý	Tuhý		
W4 21-7	0	90	Tuhý	Tuhý		
W2 7-23	4398	-47,4	Tuhý	Tuhý		
W1 23-8	0	90	Tuhý	Tuhý		
W3 23-9	4366	46,4	Tuhý	Tuhý		
W5 24-9	0	90	Tuhý	Tuhý		
W7 24-11	3653	40,9	Tuhý	Tuhý		
W10 26-11	0	90	Tuhý	Tuhý		
W11 26-12	3050	34,4	Tuhý	Tuhý		
W14 28-12	0	90	Tuhý	Tuhý		
W15 28-14	2581	26,6	Tuhý	Tuhý		
W18 29-14	0	90	Tuhý	Tuhý		
W17 1-17	2094	-21,9	Tuhý	Tuhý		
W19 29-15	2104	19,7	Tuhý	Tuhý		

Shrnutí statického výpočtu:

Hor.pas	60x160 C24 SM-JD
Dolní pas	60x140 C24 SM-JD
Diagonály	60x100 C24 SM-JD
Diagonály	60x80 C24 SM-JD

Maximální využití materiálu-Max. CSI:

HP : 0.777	DP : 0.882	Diag. : 0.896
------------	------------	---------------

Výpis reakcí v podporách:

Uzel. č. 16	Šířka podpory : 160 mm	Požad. šířka podpory : 157 mm
-------------	------------------------	-------------------------------

Kombinace	Rx [kN]	Ry [kN]	Ry nahoru [kN]
Maximum	2,181 (61.1. Kom.)	29,974 (45.1. Kom.)	0 (. Kom.)

Uzel. č. 30	Šířka podpory : 160 mm	Požad. šířka podpory : 157 mm
-------------	------------------------	-------------------------------

Zakázka	SPORTOVNÍ HALA U ZŠ ČERNOŠICE	Datum	20.03.14
Výpočet	ZS_CERNOSICE_1.01	Příloha	3
Konstrukce	Dřevěné sbíjené prvky	Strana	11 z 13



Kombinace	Rx [kN]	Ry [kN]	Ry nahoru [kN]
Maximum	0 (32.1. Kom.)	29,921 (55.1. Kom.)	0 (. Kom.)

Posouzení dřevěných prvků:

Prvek	Typ	Průřez	Komb.	Os.síla [kN]	Moment [kNm]	Smyk [kN]	CSI	SSI	Lambda rel.y	Kc,y	Lambda rel.z	Kc,z
202-224	HP	60x160 C24	52	-43,933	-1,256	2,636	67 %	22 %	0,763	0,846	0,979	0,705
224-45	HP	60x160 C24	52	-43,424	0,498	-1,373	52 %	12 %	0,763	0,846	0,979	0,705
45-3	HP	60x160 C24	52	-60,177	-0,8	2,315	74 %	19 %	0,803	0,823	0,979	0,705
3-72	HP	60x160 C24	52	-60,046	0,589	-1,907	70 %	16 %	0,803	0,823	0,979	0,705
72-90	HP	60x160 C24	52	-64,153	0,612	-2,132	75 %	18 %	0,804	0,823	0,979	0,705
90-6	HP	60x160 C24	52	-61,615	-0,423	1,946	70 %	16 %	0,805	0,822	0,979	0,705
6-225	HP	60x160 C24	52	-61,49	0,559	1,195	71 %	10 %	0,805	0,822	0,979	0,705
225-108	HP	60x160 C24	52	-61,264	-0,793	-2,284	75 %	19 %	0,805	0,822	0,979	0,705
108-226	HP	60x160 C24	4	-56,284	-0,463	2,039	65 %	17 %	0,792	0,83	0,979	0,705
226-33	HP	60x160 C24	4	-56,136	0,68	-1,888	68 %	16 %	0,792	0,83	0,979	0,705
36-227	HP	60x160 C24	4	-56,13	0,722	1,931	69 %	16 %	0,817	0,815	0,979	0,705
227-129	HP	60x160 C24	4	-56,3	-0,509	-2,117	66 %	18 %	0,817	0,815	0,979	0,705
129-228	HP	60x160 C24	68	-62,403	-0,891	2,381	78 %	20 %	0,83	0,808	0,979	0,705
228-10	HP	60x160 C24	68	-62,594	0,579	-0,943	73 %	8 %	0,83	0,808	0,979	0,705
10-147	HP	60x160 C24	68	-62,766	-0,435	-1,978	71 %	17 %	0,83	0,808	0,979	0,705
147-165	HP	60x160 C24	68	-66,288	0,645	2,216	78 %	19 %	0,828	0,808	0,979	0,705
165-13	HP	60x160 C24	68	-63,019	0,64	2,014	74 %	17 %	0,828	0,808	0,979	0,705
13-183	HP	60x160 C24	68	-63,175	-0,774	-2,336	77 %	20 %	0,828	0,808	0,979	0,705
183-229	HP	60x160 C24	68	-46,675	0,555	1,371	57 %	12 %	0,791	0,831	0,979	0,705
229-215	HP	60x160 C24	68	-47,182	-1,434	-2,783	74 %	23 %	0,791	0,831	0,979	0,705
16-54	DP	60x140 C24	52	3,503	-1,073	1,7	37 %	16 %				
54-63	DP	60x140 C24	52	43,811	-0,949	1,412	82 %	14 %				
63-19	DP	60x140 C24	52	59,813	-0,343	0,94	83 %	9 %				
19-81	DP	60x140 C24	52	59,813	0,279	-0,595	81 %	6 %				
81-99	DP	60x140 C24	52	63,708	0,271	0,788	85 %	8 %				
99-22	DP	60x140 C24	52	61,183	0,161	0,613	79 %	6 %				
22-118	DP	60x140 C24	52	61,183	-0,415	-0,944	87 %	9 %				
118-230	DP	60x140 C24	4	61,936	-0,435	0,967	88 %	9 %				
230-138	DP	60x140 C24	4	61,936	0,223	-0,637	82 %	6 %				
138-25	DP	60x140 C24	4	64,92	-0,148	0,777	83 %	7 %				
25-156	DP	60x140 C24	4	64,92	0,277	-0,804	87 %	8 %				
156-27	DP	60x140 C24	4	61,461	0,291	0,638	83 %	6 %				
27-174	DP	60x140 C24	4	61,461	-0,339	-0,946	85 %	9 %				
174-192	DP	60x140 C24	4	45,449	-1,005	-1,454	85 %	14 %				
192-30	DP	60x140 C24	4	2,543	-1,182	-1,779	39 %	17 %				
59-48	Dia.	60x80 C24	52	-15,198	-0,042	-0,025	37 %	0 %	0,785	0,834	1,09	0,622
50-66	Dia.	60x80 C24	4	18,457	0,035	0,003	38 %	0 %				
68-75	Dia.	60x80 C24	4	-7,689	-0,02	-0,014	29 %	0 %	1,065	0,641	1,462	0,396
77-84	Dia.	60x80 C24	68	5,936	0,026	-0,006	13 %	0 %				
86-93	Dia.	60x80 C24	68	-2,081	-0,004	0,002	12 %	0 %	1,341	0,458	1,835	0,264
95-102	Dia.	60x80 C24	56	-4,785	0,015	0,005	56 %	0 %	2,002	0,225	2,743	0,124
104-111	Dia.	60x80 C24	56	4,557	0,016	0,015	10 %	0 %				
113-121	Dia.	60x100 C24	56	-10,779	-0,007	0,005	43 %	0 %	1,747	0,289	1,503	0,378
123-39	Dia.	60x80 C24	4	15,481	-0,004	-0,002	30 %	0 %				
125-132	Dia.	60x100 C24	72	-11,917	-0,008	-0,005	49 %	0 %	1,769	0,283	1,521	0,37
141-134	Dia.	60x80 C24	72	5,243	-0,017	-0,015	11 %	0 %				
143-150	Dia.	60x80 C24	72	-5,869	0,016	-0,005	70 %	0 %	2,027	0,22	2,777	0,121
159-152	Dia.	60x80 C24	60	-1,34	0,006	-0,004	7 %	0 %	1,324	0,468	1,812	0,271
161-168	Dia.	60x80 C24	52	4,864	0,024	0,005	11 %	0 %				
177-170	Dia.	60x80 C24	4	-6,935	0,017	0,01	25 %	0 %	1,039	0,66	1,428	0,413
179-186	Dia.	60x80 C24	4	17,897	0,036	0	37 %	0 %				
195-188	Dia.	60x80 C24	68	-14,451	0,029	0,006	33 %	0 %	0,751	0,852	1,044	0,656
43-205	HP	60x160 C24	52	-27,414	0,936	-2,497	41 %	21 %	0,262	1,008	0,732	0,862
207-57	Dia.	60x100 C24	52	43,472	0,229	0,12	82 %	2 %				
212-218	HP	60x160 C24	68	-27,345	-1,015	2,842	43 %	24 %	0,24	1,013	0,672	0,889
197-220	Dia.	60x100 C24	68	45,851	0,305	-0,197	90 %	3 %				

Posouzení stěnníkových desek:

Uzel	Typ	Kód	Komb.	Prvek	A.pož	A.akt	CSI	Komb.	L.pož	L.akt	CSI Ocel
------	-----	-----	-------	-------	-------	-------	-----	-------	-------	-------	----------

Zakázka	SPORTOVNÍ HALA U ZŠ ČERNOŠICE	Datum	20.03.14
Výpočet	ZS_CERNOSICE_1.01	Příloha	3
Konstrukce	Dřevěné sbíjené prvky	Strana	12 z 13



			Trny		[mm2]	[mm2]	Trny	Ocel	[mm]	[mm]	
1	T150	1740	17.1	T1	13577	27797	49 %	33.1	394	410	96 %
			17.1	W20	6649	10049	66 %	32.1	130	140	93 %
			17.1	W17	13541	14346	94 %	33.1	29	31	94 %
2	T150	1520	2.1	T1	7001	12812	55 %	34.1	173	205	84 %
			17.1	W16	2390	4010	60 %	33.1	47	81	58 %
			2.1	W13	5438	5473	99 %	34.1	34	45	75 %
3	T150	1520	17.1	T1	8991	12469	72 %	34.1	132	145	91 %
			17.1	T2	8991	12469	72 %	34.1	132	145	91 %
4	T150	1315	25.1	T2	2435	7592	32 %	30.1	58	146	40 %
			-	W12	1296	2689	48 %	34.1	24	73	32 %
			25.1	W9	1676	3152	53 %	30.1	17	49	34 %
5	T150	1315	19.1	T2	1832	7592	24 %	19.1	41	146	28 %
			-	W8	1296	2689	48 %	-	0		17 %
			-	W6	1296	3049	43 %	-	0		21 %
6	T150	1520	2.1	T2	8802	12469	71 %	30.1	141	145	97 %
			2.1	T3	8802	12469	71 %	30.1	141	145	97 %
7	T150	1315	19.1	T3	3247	7592	43 %	19.1	74	146	50 %
			19.1	W4	1531	2689	57 %	19.1	14	73	19 %
			19.1	W2	2310	3183	73 %	19.1	26	63	41 %
8	T150	2525	2.1	T3	9135	13473	68 %	50.1	99	124	80 %
			2.1	T4	9133	13473	68 %	37.1	122	124	98 %
			2.1	W1	6156	7414	83 %	44.1	37	41	91 %
			-	-	0		0 %	-	244	248	98 %
9	T150	1315	27.1	T4	3677	7592	48 %	27.1	83	146	57 %
			27.1	W5	1757	2689	65 %	44.2	17	73	24 %
			27.1	W3	2609	3196	82 %	27.1	27	60	45 %
10	T150	1718	2.1	T4	8549	11455	75 %	31.1	145	155	94 %
			2.1	T5	8549	11455	75 %	31.1	145	155	94 %
11	T150	1315	27.1	T5	2273	7592	30 %	27.1	50	146	34 %
			-	W10	1296	2689	48 %	-	0		17 %
			27.1	W7	1429	3075	46 %	27.1	12	52	24 %
12	T150	1315	17.1	T5	2094	7592	28 %	31.1	50	146	35 %
			-	W14	1296	2689	48 %	41.1	24	73	32 %
			21.1	W11	1419	3166	45 %	21.1	19	57	32 %
13	T150	1520	25.1	T5	9084	12469	73 %	53.1	140	145	97 %
			25.1	T6	9084	12469	73 %	53.1	140	145	97 %
14	T150	1320	2.1	T6	7051	9635	73 %	41.1	171	205	83 %
			25.1	W18	2258	2925	77 %	42.1	47	72	65 %
			2.1	W15	5359	5367	100 %	41.1	51	67	76 %
15	T150	1746	25.1	T6	14540	30940	47 %	42.1	422	465	91 %
			25.1	W21	6838	10257	67 %	43.1	125	143	88 %
			25.1	W19	14569	15415	95 %	54.1	144	155	93 %
16	T150	1520	2.1	B1	9084	12488	73 %	46.1	128	145	88 %
			17.1	W20	7509	12469	60 %	46.1	118	145	82 %
17	T150	1746	17.1	B1	14157	36270	39 %	46.1	412	465	89 %
			17.1	W16	3316	5110	65 %	33.1	51	80	63 %
			17.1	W17	14940	16266	92 %	46.1	14	14	99 %
18	T150	1520	2.1	B1	7140	12812	56 %	47.1	196	205	95 %
			2.1	W12	1675	3306	51 %	34.1	25	68	37 %
			2.1	W13	6429	6580	98 %	47.1	10	13	76 %
19	M14	1153	17.1	B1	19087	28671	67 %	34.1	108	114	95 %
			17.1	B2	19087	28671	67 %	34.1	108	114	95 %
20	T150	1515	29.1	B2	2552	9125	28 %	48.1	71	146	49 %
			-	W8	1426	3622	39 %	6.1	14	73	20 %
			25.1	W9	1971	3456	57 %	30.1	5	14	33 %
21	T150	1515	19.1	B2	1603	9125	18 %	19.1	42	146	29 %
			19.1	W4	1999	3622	55 %	19.1	21	73	28 %
			-	W6	1426	3549	40 %	19.1	3	12	26 %
22	M14	1346	17.1	B2	19487	26876	73 %	36.1	116	133	88 %
			17.1	B3	19487	26876	73 %	36.1	116	133	88 %
23	T150	1718	27.1	B3	2462	14784	17 %	27.1	66	176	38 %
			2.1	W1	5034	5530	91 %	44.1	29	72	40 %
			27.1	W3	2817	2822	100 %	27.1	31	48	65 %
			19.1	W2	2497	2853	88 %	19.1	9	15	58 %
24	T150	1515	27.1	B3	1989	9125	22 %	27.1	52	146	36 %
			27.1	W5	2297	3622	63 %	27.1	17	53	33 %
			27.1	W7	1753	3539	50 %	27.1	3	9	32 %

Zakázka	SPORTOVNÍ HALA U ZŠ ČERNOŠICE	Datum	20.03.14
Výpočet	ZS_CERNOSICE_1.01	Příloha	3
Konstrukce	Dřevěné sbíjené prvky	Strana	13 z 13



25	M14	1346	2.1	B3	20705	26876	77 %	51.1	121	133	91 %
			2.1	B4	20705	26876	77 %	51.1	121	133	91 %
26	T150	1515	21.1	B4	2281	9125	25 %	52.1	62	146	43 %
			-	W10	1426	3622	39 %	52.2	10	48	21 %
			21.1	W11	1679	3419	49 %	21.1	1	2	28 %
27	M14	1153	2.1	B4	19619	28671	68 %	41.1	111	114	98 %
			2.1	B5	19619	28671	68 %	41.1	111	114	98 %
28	T150	1520	2.1	B5	7129	12812	56 %	53.1	195	205	95 %
			2.1	W14	1512	3881	39 %	41.1	14	45	31 %
			2.1	W15	6209	6233	100 %	53.1	27	34	80 %
29	T150	1746	25.1	B5	15143	36270	42 %	54.1	440	465	95 %
			25.1	W18	3170	5110	62 %	42.1	31	50	62 %
			25.1	W19	15693	18059	87 %	54.1	156	156	99 %
30	T150	1520	25.1	B5	9611	12487	77 %	54.1	134	145	92 %
			25.1	W21	7967	12469	64 %	54.1	123	145	85 %

Deformace:

Max. konečný průhyb vazníku $w(fin)$ je 46,6 mm.

Vazníky vyhovují ve všech parametrech!